



UNIVERSIDAD DE CHILE
FACULTAD DE CIENCIAS FÍSICAS Y MATEMÁTICAS
DEPARTAMENTO DE INGENIERÍA DE MINAS

**GENERACIÓN DE CASERONES DE PRODUCCIÓN
CONSIDERANDO EL PRECIO DEL COBRE COMO UNA
VARIABLE ESTOCASTICA**

TESIS PARA OPTAR AL GRADO DE MAGISTER EN MINERIA

JOSÉ LUIS PÉREZ ZAMORA

**PROFESOR GUÍA:
NELSON MORALES VARELA**

**MIEMBROS DE LA COMISIÓN:
EDUARDO LATORRE NANJARI
JOSÉ MUNIZAGA ROSAS**

**SANTIAGO DE CHILE
2023**

RESUMEN

Hoy en día los planes mineros se ejecutan bajo parámetros fijos tales como el precio de los metales, costos, ley de corte, etc. Los cuales generan un plan minero determinista, por tanto, se corre el peligro de obtener un plan con baja adherencia lo que genera un no cumplimiento. A pesar de la anterior este plan minero es presentado y es aceptado sabiendo que en el futuro cambiarán tanto los precios como los costos utilizados para la generación del plan ya oficializado.

Dentro de las principales fuentes de incertidumbre en minería, es sin lugar a dudas la incertidumbre de los mercados. Ya que al considerar un precio menor al de mercado, al momento de generar la extracción de él o los caserones planificados estos pueden generar enormes pérdidas al proyecto minero, debido a dejar caserones que pagan su extracción, pero por el hecho de haber tomado una decisión de precio menor esto genera menor cantidad de caserones para ser ingresado al plan minero.

Es por eso que esta tesis de magister tiene por objetivo utilizar el precio del cobre como una variable estocástica, vale decir que pueda ser modelada con probabilidades y cuya variable es aleatoria en el transcurso del tiempo.

Para esto ya no se trabajará solo con el plan minero base, sino más bien se tendrá una matriz de escenarios que conlleva a diferentes valorizaciones de planes mineros.

En lo específico se realizan varios diferentes planes mineros considerando varias posibilidades de precios del cobre futuro, la metodología de trabajo empleada para seleccionar los diferentes precios, fue mediante el método movimiento geométrico browniano.

Con los planes mineros se determina su valor económico VAN (\$) y así determinar con la matriz de resultados económicos cual es el plan óptimo que presenta el mayor valor económico.

Esta metodología de trabajo de pasar de generar un solo plan caso base con un precio del cobre fijo entregado por el grupo corporativo de Lundinmining en el informe de parámetros comerciales para generación de planes LOM (Life of mine) a generar una matriz de planes mineros está siendo utilizada y revisada por el equipo de planificación minera de minera Candelaria.

Cabe mencionar que esta metodología de trabajo de planes mineros ha sido preparada en esta tesis solo para planes mineros subterráneos y un tema relevante es que se utiliza netamente herramientas de software comerciales.

Finalmente, el poseer la capacidad de inclusión de valores estocásticos al plan minero otorga un mayor valor a los mismos y estos son más robustos, esto se puede ver reflejado, en que aumentan las probabilidades de obtener valores altos de rentabilidad y con estimaciones más asertivas de precios.

ABSTRACT

Today mining plans are executed under fixed parameters such as the price of metals, costs, cut-off grade, etc. Which generate a deterministic mining plan, with a low probability of compliance. Despite the above, this mining plan is presented and accepted knowing that in the future both the prices and the costs used for the generation of the already official plan will change.

One of the main sources of uncertainty in mining is, without a doubt, the uncertainty of the markets. That is why this master's thesis aims to use the price of copper as a stochastic variable, that is to say that it can be modeled with probabilities and whose variable is random over time.

For this, work will no longer be done only with the base mining plan, but rather there will be a matrix of scenarios that leads to different valuations of mining plans.

Specifically, 10 different mining plans are carried out considering 10 possibilities of future copper prices, the work methodology used to select the 10 different prices, was through the Brownian geometric movement method.

With these 10 mining plans, their economic value VAN (\$) is determined and thus, with the matrix of economic results, determine which is the optimal plan that presents the greatest economic value.

This work methodology of going from generating a single base case plan with a fixed copper price delivered by the lundinmining corporate group in the commercial parameters report for the generation of LOM (life of mine) plans to generating a matrix of mining plans is being used and reviewed by the mining planning team of Minera Candelaria.

It is worth mentioning that this mining plan work methodology has been prepared in this thesis only for underground mining plans.

Finally, having the ability to include stochastic values in the mining plan gives them greater value and they are more robust, this can be seen reflected in the fact that the probabilities of obtaining high profitability values increase and with more assertive estimates of price

Agradecimientos

Primero que todo quiero agradecer a mi familia por estar siempre apoyándome y acompañarme en este proceso a mi esposa Karen y a mis hijos Benjamín y Nicolas, especialmente en tiempos de pandemia donde en algunas ocasiones se hacía bastante complejo poder concentrarme y avanzar en este proceso de investigación.

También agradecer por su ayuda y consejos a los profesores que guiaron mi tesis de magister, especialmente al profesor Nelson Morales por su siempre buena disposición y ayuda para terminar este trabajo.

Además, agradecer a los profesores Co guía José Charango Munizaga por sus consejos y recomendaciones técnicas para abordar el tema de la estimación de precios del cobre. y al profesor y director del departamento de Minas de la Universidad de Atacama, Eduardo Latorre por su confianza y apoyo en el desarrollo de este trabajo.

Finalmente, y no menos importante agradecer a Carol Tapia coordinadora ejecutiva de postgrado departamento ingeniería de minas Universidad de Chile por su gestión, ayuda y coordinaciones realizadas en el programa de magister.

Tabla de contenido

1.	Introducción	- 1 -
1.1.	Objetivo General	- 2 -
1.2.	Objetivos Específicos	- 2 -
1.3.	Alcances	- 3 -
2.	Estado del Arte.....	- 4 -
2.1.	Minería Subterránea.....	- 4 -
2.2.	Métodos de explotación Sublevel Stoping (SLOS)	- 5 -
2.3.	Planificación Minera	- 8 -
2.3.1	Planificación Subterránea	- 9 -
2.3.2	Plan de Producción Subterráneo	- 10 -
2.3.3	Softwares Para Obtención de Planes de Producción Subterráneos	- 11 -
2.4.	Diseño en Minería Subterránea	- 12 -
2.4.1	Optimización del Diseño de Caserones	- 12 -
2.4.1.2	Diseño de Caserones – Stope Shape Optimizer (Alford,2011)	- 16 -
2.5	Estimación del Precio del Cobre	- 20 -
2.5.1	Movimiento Geométrico Browniano (GBM).....	- 20 -
2.5.2	Implementación del Modelo Geométrico Browniano	- 22 -
2.6.	Determinación de Ley de Corte para Minería Subterránea.	- 24 -
3.	Marco Teórico	- 25 -
3.1	Planteamiento del problema	- 25 -
3.2	Planificación Minera Subterránea Típica en la Industria	- 25 -
3.3	Planificación Minera Subterránea Estocástica	- 26 -
3.4	Justificación de la Investigación	- 28 -
4.	Metodología	- 29 -
4.1	Definición de Movimiento Geométrico Browniano (GBM).....	- 30 -
4.1.1	Determinación de Precios del Cobre (GBM).....	- 30 -
4.2	Determinación de Leyes de Corte (COG%)	- 31 -
4.3	Generación de Caserones	- 34 -
5.	Resultados y Análisis.....	- 34 -
5.1	Resultados de Precios de Cobre	- 34 -
5.2	Resultados de Leyes de Corte.....	- 35 -
5.3	Resultados Diseño de Caserones	- 36 -

5.4	Resultados Evaluación Económica.....	- 38 -
6.	Conclusiones	- 41 -
7.	Recomendaciones.....	- 42 -
8.	Bibliografía.....	- 43 -

Anexos

Anexo A:	Determinación de Precios	- 44 -
Anexo B:	Determinación de Leyes de Corte	- 47 -
Anexo C:	Determinación de Caserones Con Deswik.SO	- 48 -
Anexo D:	Detalle por Corridas Con Deswik.SO	- 50 -
Anexo E:	Curvas Tonelaje -LeyCorrida N°1	- 56 -
Anexos F:	Planillas Valorización Económica.....	- 66 -

Índice de figuras

Figura 1. Categorización Métodos Subterráneos	- 4 -
Figura 2. Vista isométrica del método Sublevel Stoping (Bullock & Hustrulid, 2001) ..	- 5 -
Figura 3. Vista isométrica de los niveles característicos del método Sublevel Stoping (Elaboración propia, 2020).	- 7 -
Figura 4. Ejemplo de bloques vecinos para un caserón (Erdogan & Yavuz, 2017).....	- 13 -
Figura 5. Comparación de 2 posibles soluciones (no necesariamente optimas) en vista XZ.	- 15 -
Figura 6. (a) caserón actual y perfil de galería. (b) grupo de bloques patrón aproximación a caserón (c) vista isométrica de un caserón.....	- 16 -
Figura 7. Deswik SO, herramienta utilizada para la determinación de caserones en proyecto tesis.....	- 19 -
Figura 8. Comparación de los datos del precio del cobre y una simulación por medio de un Movimiento Geométrico Browniano.	23
Figura 9. Ciclo típico de planificación minera subterránea.....	- 26 -
Figura 10. Ciclo Propuesto estocástico de planificación minera subterránea.....	- 27 -
Figura 11. Interfaz de usuario cálculo de COG (%)	- 33 -
Figura 12. Gráfico proyección de precios	- 35 -
Figura 13. Grafica de superficie considerando (Cu, COG y Cash Flow)	- 39 -
Figura 14. Grafica Evaluación Económica de Casos.....	- 40 -
Figura 15. Interfaz de usuario estimar Precios	- 44 -
Figura 16. Gráfico proyección de precios	- 44 -
Figura 17. Interfaz de usuario estimar COG	- 47 -
Figura 18. Interfaz de usuario Deswik SO.....	- 48 -
Figura 19. Interfaz de usuario Deswik SO (Geometry)	- 49 -
Figura 20. Interfaz de usuario Deswik SO (Cutoff)	- 49 -
Figura 21. Curva tonnes – grade (Corrida N°1)	- 56 -
Figura 22. Curva tonnes – grade (Corrida N°2)	- 57 -
Figura 23. Curva tonnes – grade (Corrida N°3).....	- 58 -
Figura 24. Curva tonnes – grade (Corrida N°4)	- 59 -
Figura 25. Curva tonnes – grade (Corrida N°5)	- 60 -
Figura 26. Curva tonnes – grade (Corrida N°6)	- 61 -
Figura 27. Curva tonnes – grade (Corrida N°7)	- 62 -
Figura 28. Curva tonnes – grade (Corrida N°8)	- 63 -
Figura 29. Curva tonnes – grade (Corrida N°9)	- 64 -
Figura 30. Curva tonnes – grade (Corrida N°10)	- 65 -

Índice de tablas

Tabla 1. Parámetros de entrada determinación de precios.....	- 30 -
Tabla 2. Resultados de leyes de corte con menor incertidumbre.....	- 35 -
Tabla 3. Resultados Deswik SO (Generación de Caserones)	- 37 -
Tabla 4. Parámetros de entrada usados en la evaluación económica	- 38 -
Tabla 5. Resumen de Resultados Cash Flow (K\$)	- 38 -
Tabla 6. Matriz Precio de Corridas	- 40 -
Tabla 7. Resultados de precio futuros de Cobre	- 45 -
Tabla 8. Resultados de precio futuros con menor incertidumbre.....	- 46 -
Tabla 9. Resultados de leyes de corte con menor incertidumbre.....	- 47 -
Tabla 10. Curva tonnes – grade (Corrida N°1).....	- 56 -
Tabla 11. Curva tonnes – grade (Corrida N°2).....	- 57 -
Tabla 12. Curva tonnes – grade (Corrida N°3)	- 58 -
Tabla 13. Tabla 13. Curva tonnes – grade (Corrida N°4)	- 59 -
Tabla 14. Curva tonnes – grade (Corrida N°5)	- 60 -
Tabla 15. Curva tonnes – grade (Corrida N°6)	- 61 -
Tabla 16. Curva tonnes – grade (Corrida N°7).....	- 62 -
Tabla 17. Curva tonnes – grade (Corrida N°8)	- 63 -
Tabla 18. Curva tonnes – grade (Corrida N°9)	- 64 -
Tabla 19. Curva tonnes – grade (Corrida N°10)	- 65 -
Tabla 20. Planilla evaluación económica (Caso Base)	- 68 -
Tabla 21. Planilla evaluación económica (Corrida N°1)	- 71 -
Tabla 22. Planilla evaluación económica (Corrida N°2)	- 73 -
Tabla 23. Planilla evaluación económica (Corrida N°3)	- 75 -
Tabla 24. Planilla evaluación económica (Corrida N°4)	- 78 -
Tabla 25. Planilla evaluación económica (Corrida N°5)	- 81 -
Tabla 26. Planilla evaluación económica (Corrida N°6)	- 84 -
Tabla 27. Planilla evaluación económica (Corrida N°7)	- 87 -
Tabla 28. Planilla evaluación económica (Corrida N°8)	- 90 -
Tabla 29. Planilla evaluación económica (Corrida N°9)	- 92 -
Tabla 30. Planilla evaluación económica (Corrida N°10)	- 95 -

1. Introducción

La actividad minera está sujeta a distintos tipos de incertidumbre: mercado, geológica y operacional (Rendu,2002). Las incertidumbres antes mencionadas provocan diferencias entre los resultados del plan minero real y el plan esperado (planificado). Esta incertidumbre es reconocida como un factor clave de la inviabilidad de muchos proyectos mineros (Baker & Giacomo,1998). La correcta evaluación del impacto de cada una de ellas en los resultados del plan minero podría permitir identificar aquellas variables que impactan de manera significativa y lograr gestionarlas mediante planes de acción o estrategias alternativas al plan minero oficial.

En función de lo anterior, el presente estudio de tesis tiene por objetivo analizar la incertidumbre de precios, específicamente el precio del cobre en la generación de planes mineros de producción para minería subterránea, utilizando el método de explotación Sub- Level Open Stoping (SLOS).

Diferentes precios del cobre generan como resultados diferentes leyes de cortes (COG%) (Goovaerts,1997) por consiguiente diferentes diseños mineros (generación de caserones).

Este commodity tiene un comportamiento de difícil predicción producto de factores tales como la oferta, la demanda, precio del dólar, tasa de crecimiento de los países, etc.

Los mercados internacionales y economías mundiales presentan una alta volatilidad e incertidumbre, específicamente los precios de los metales están sufriendo importantes variaciones tanto positivas como negativas, importante mencionar la variación positiva

que está experimentando el precio del oro y el precio del fierro, eso sin duda alguna impacta de manera favorable al cálculo de ley de corte equivalente (COGE%), cuando se considera el beneficio de la extracción de oro y fierro dentro del cálculo como subproducto.

Por lo anteriormente descrito es de real importancia considerar, analizar, estudiar y determinar el factor de la incertidumbre del precio del cobre dentro de la determinación de la ley de corte y por consiguiente de la elaboración de los planes mineros de producción subterránea.

Debido a lo anterior, en la presente tesis se propone una metodología de trabajo estándar que permita la incorporación de la incertidumbre de precios del cobre en minas explotadas de manera subterráneas, específicamente para métodos de explotación Sub-Level Open Stoping (SLOS).

1.1. Objetivo General

Reducir la varianza en los planes mineros de producción en minería subterránea (SLOS). Considerando la incertidumbre del precio del cobre en la estimación, generación y diseño de los caserones que serán explotados en etapas futuras.

1.2. Objetivos Específicos

Los objetivos específicos corresponden a:

- Seleccionar un modelo matemático que permita obtener una metodología para el modelamiento de la incertidumbre de precios del cobre.
- Diseñar una metodología para la generación de diseños y planes de producción enfocada y consideración de la variabilidad de los precios del cobre.
- Validar el modelo y la metodología desarrollados en este trabajo de tesis, basado en la utilización de software existentes y aplicarlos a planes mineros reales de largo plazo cuyo método de explotación corresponde a Sub-Level Stoping (SLOS), para así seleccionar aquellos casos que presenten el mayor valor presente neto (VAN).

1.3. Alcances

Se abordará en esta tesis solamente la incertidumbre de precios, y no está en el alcance de este trabajo de tesis la incertidumbre geológica y operacional.

El modelo de precios seleccionado corresponde al modelo geométrico browniano y no corresponde a un desarrollo propio.

Esta metodología de trabajo de tesis se aplica para planes estratégicos de largo plazo y el diseño de las galerías no serán consideradas, se tomará como índice de preparación para este trabajo de 500 ton/mts.

Los caserones diseñados corresponden a diseños rectangulares y no presentan un nivel de detalle cómo se utiliza en planes de corto plazo.

Finalmente, la aplicación de la metodología de trabajo en esta tesis se realizará con software comerciales existentes en el mercado minero.

2. Estado del Arte

2.1. Minería Subterránea

La minería subterránea se refiere a la explotación realizada bajo tierra de la zona mineralizada y es usada principalmente cuando estos depósitos de interés económico están ubicados a una profundidad suficientemente tal que a cielo abierto no es viable o cuando existen restricciones exógenas para la minería superficial (King; Goycoolea; & Newman, 2017).

Los métodos subterráneos son comúnmente categorizados según su estabilidad y soporte, como métodos auto soportados, soportados artificialmente y de hundimiento (Hamrin, 2001). Esta división se puede ver en la Figura 1.

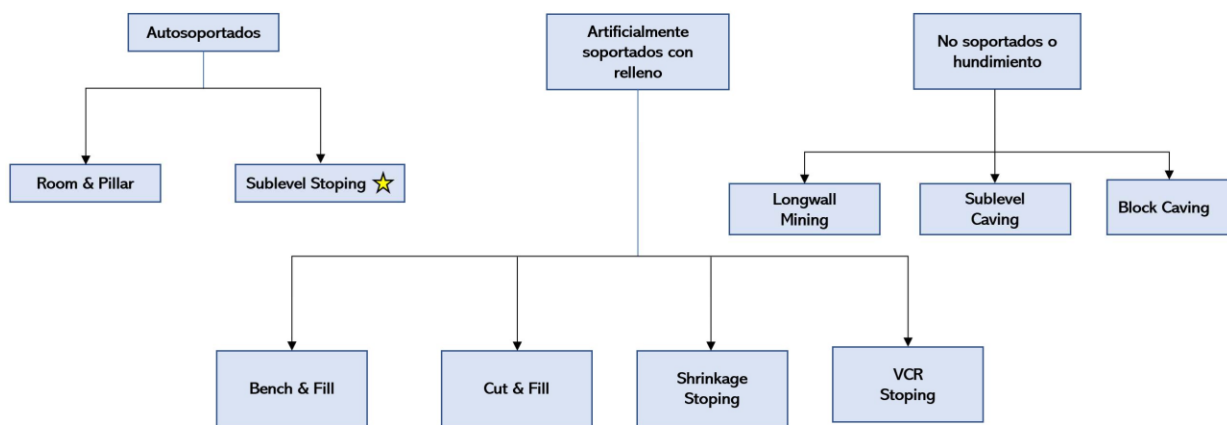


Figura 1. Categorización Métodos Subterráneos.

- **Métodos auto soportados**: consiste en métodos en los cuales la roca es esencialmente soportada por sí misma y no requieren mayor sistema de soporte artificial (ya sea pilares artificiales o relleno). Generalmente se trata de una minería medianamente selectiva y de baja recuperación, ya que se dejan pilares para dar estabilidad a los caserones ya extraídos.
- **Métodos artificialmente soportados**: corresponde a métodos que requieren algún tipo de relleno para proporcionar importante soporte a la excavación y así mantener su estabilidad y control de la dilución. Este método es aplicado cuando la roca no es lo suficientemente competente para mantenerse estable durante la explotación y/o aumentar la recuperación minera del yacimiento. En adición, permite una explotación selectiva de la zona mineralizada.
- **Métodos de Hundimiento**: corresponde a métodos que no tienen soporte alguno. Se basa en hacer un corte basal horizontal en el macizo rocoso (socavación) con el fin de que colapse y se aproveche la energía gravitacional para propagar el hundimiento en altura. Estos son métodos poco selectivos del mineral, pero de alta recuperación.

2.2. Métodos de explotación Sublevel Stoping (SLOS)

Sublevel Stoping es un método de explotación en el cual el cuerpo mineralizado es dividido en diferentes caserones de grandes dimensiones, separados por pilares que posteriormente se pueden recuperar. Se aplica preferentemente a yacimientos tabulares de forma vertical o sub vertical de gran espesor (mayor a 10 metros), en donde la inclinación del cuerpo mineralizado excede el ángulo de reposo del mineral (preferiblemente mayor a 50°), y posee paredes regulares. Tanto la roca de caja como mineral deben presentar buenas condiciones de estabilidad, es decir, ser lo suficientemente competentes (Hamrin, 2001).

El principio de este método consta de extraer el mineral mediante caserones, excavados por tajadas verticales, dejando posteriormente el caserón vacío. La tronadura del caserón se puede realizar mediante varios niveles de perforación que se encontrarán a distintas alturas en el bloque, por lo que la explotación de un caserón podrá lograrse por múltiples niveles de perforación, de ahí que viene el nombre Sublevel Stoping. Una vez que el mineral es tronado, este caerá al fondo del bloque y será recolectado por embudos o zanjas que se encuentran emplazadas en la base del caserón. Luego, este mineral será removido usando equipos de carguío como el LHD (Bullock & Hustrulid, 2001). Todo esto se puede apreciar en la Figura 2.

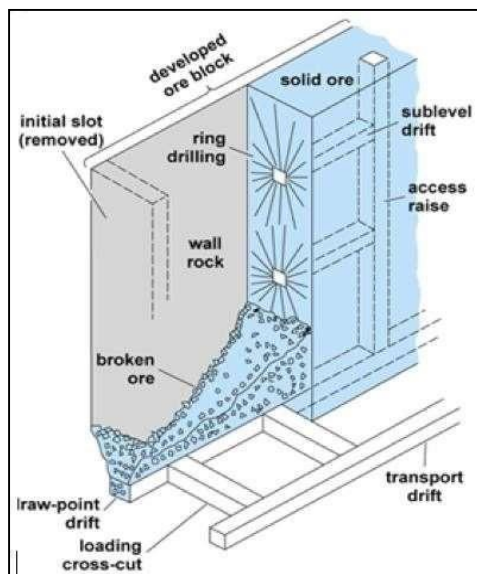


Figura 2. Vista isométrica del método Sublevel Stoping (Bullock & Hustrulid, 2001).

La productividad, dilución y estabilidad de un caserón individual tiene principal relación al tamaño, siendo un caserón con dimensiones reducidas SMU (25Width*25High*25-50Depth) genera una baja productividad, baja dilución y alta estabilidad.

Por el contrario, un caserón de grandes dimensiones SMU (30Width*70High*50-100Depth) genera una alta productividad, alta dilución y baja estabilidad (Minera Candelaria,2001).

El método de Sublevel Stoping con relleno permite una alta recuperación (mayor a 75%) debido a la menor cantidad de pilares de roca que son necesarios o dejados en el lugar.

El mineral es recuperado por caserones, que luego son llenados generalmente con estéril mezclado con cemento (CRF) y extrayendo posteriormente los pilares, una vez que se han curado los caserones llenos. El material de relleno debe ser seleccionado para evitar fallas de este en el tiempo que puedan conducir a la dilución de mineral (Zaka & Mitri, 2013).

La productividad general del método es severamente limitada por los tiempos de ciclos de caserones individuales, ya que los caserones deben ser explotados, llenados y curados antes que un caserón adyacente pueda ser extraído. Por lo tanto, se requerirá también que el relleno tenga un tiempo de curado mínimo (Villaescusa, 2003). Otra variante es el sublevel stoping con relleno basado en roca (Rockfill), lo cual permite de la misma forma disminuir el tamaño de los pilares y aumentar la recuperación.

Por otro lado, el sublevel stoping en ausencia de relleno consolidado emplea pilares para separar los caserones individuales y así reducir el potencial de un desprendimiento de roca. El mineral es extraído del caserón, dejando éste completamente vacío. Este método no tiene posibilidad de recuperar mineralización en los pilares por lo que hay menor recuperación (Pakalnis & Hughes, 2011). La productividad, dilución y estabilidad dependerá solo de su tamaño y de las características de la roca circundante y mineralizada. En general, el método sublevel stoping alcanza grandes productividades y es uno de los métodos subterráneos de más bajo costo (12 – 25 (US\$/t)), aunque es intensivo en desarrollos. Los desarrollos más necesarios para la explotación de la zona mineralizada de interés económico por medio del método sublevel stoping son:

- Nivel de producción: este nivel está compuesto por las galerías de transporte y estocadas de extracción, las cuales permiten habilitar los puntos de carguío de la zanja recolectora de mineral que abarcan toda la extensión del nivel de producción. Estas galerías tienen una configuración tal que las operaciones desarrolladas en este nivel se realizan de manera eficiente y continua, sin interrupciones.
- Subnivel de perforación: corresponde a varias galerías de perforación dispuestos a distintas alturas en el caserón, las cuales están bajo diferentes configuraciones conforme a la geometría del cuerpo mineralizado. El número de galerías necesarias para la explotación de un caserón dependerá

principalmente de la altura de este, altura que vendrá dada por las características geomecánicas del mineral.

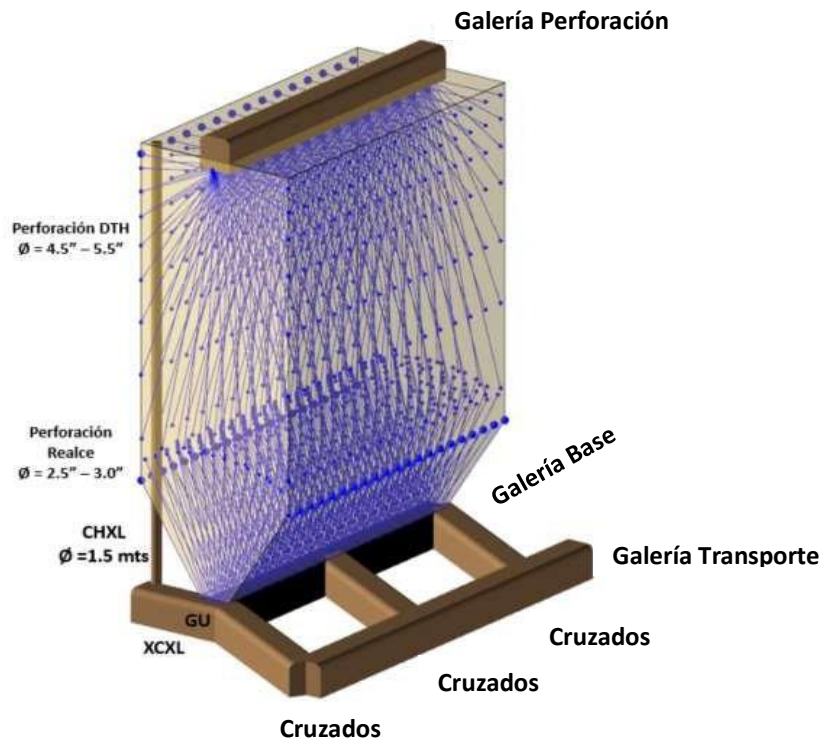


Figura 3. Vista isométrica de los niveles característicos del método Sublevel Stoping (Elaboración propia, 2020).

2.3. Planificación Minera

La planificación minera consiste en definir fuentes, destinos y tiempos de extracción de cada unidad de recurso mineral durante toda la vida de la mina, uniendo los objetivos estratégicos de la empresa a la operación minera, y así obtener el mayor retorno económico del proyecto (Rubio, 2006).

La planificación minera toma como base el mejor conocimiento que se tenga del recurso minero, de la tecnología disponible para explotar el yacimiento y procesar el mineral, de la recuperación metalúrgica esperada, de la infraestructura disponible, del nivel de inversión y costos de operación, del comportamiento esperado del mercado y del marco legal y regulatorio que concierne al proyecto (SONAMI, 2016).

Debido a los riesgos asociados al conocimiento de esta información, se requiere un análisis detallado para múltiples escenarios con el fin de encontrar el plan óptimo de extracción. En otras palabras, la planificación minera es una herramienta que permite definir la mejor secuencia espacio/temporal de la extracción de mineral, con el objetivo de maximizar el valor presente del negocio minero, teniendo como resultado un plan, tanto de preparación como producción, de mayor valor económico y que además sea robusto ante cambios de escenarios (Amaya, Nancel-Penard & Morales, junio 2010).

Los enfoques de optimización para la planificación minera pueden clasificarse en modelos para minería de superficie y de subterránea. De acuerdo con el tipo de decisiones que deben tomarse y del nivel de detalle que involucra en cada método, se pueden distinguir la planificación estratégica, táctica y operacional (Newman; Yano & Rubio, 2012).

La *planificación estratégica* está relacionada con determinar el mayor valor de la operación en el largo plazo, integrado y alineado con los objetivos estratégicos de la empresa (Fuykschot, 2009). En esta planificación se determinan los objetivos para obtener el mejor valor económico. Se identifican recursos y reservas, método de explotación, diseño adecuado, secuencia de explotación y ritmo de producción, se determinan limitaciones y restricciones como capacidades de mina y planta. Con lo anteriormente determinado, se hacen coincidir componentes para maximizar el objetivo (máximo valor actualizado neto, tasa interna de retorno, etc.), se identifican variaciones de estas variables estratégicas para probar el efecto de varios escenarios en los planes mineros y así obtener un plan de preparación y producción más robusto (Kear, 2006).

En la *planificación táctica* se implementan las actividades que deben realizarse en el mediano plazo y que son necesarias para lograr un objetivo estratégico. Se definen y fijan variables con mayor precisión y se especifican los procesos a realizar a lo largo de la vida de la mina. En esta planificación se identifican recursos para lograr el plan, como capital y mano de obra, y se asignan estos recursos a tareas particulares. Se definen los presupuestos de las operaciones a realizar, mediante la estimación de costos de operación e inversión que permitirán alcanzar los objetivos definidos (Kear, 2006).

La *planificación operativa* tiene un nivel temporal de mediano y corto plazo en donde se analizan los recursos utilizados en la operación de la mina con una frecuencia diaria o mensual. Se establecen planes de producción mensuales, se detallan los equipos y su asignación dentro de la mina, se definen las rutas óptimas de extracción y destino, junto con los indicadores operacionales. En esta planificación se recopila información para así producir una retroalimentación hacia la planificación de mediano y largo plazo, de modo de redefinir algunos conceptos y generar planes que permitan minimizar desviaciones con respecto al objetivo final del negocio.

2.3.1 Planificación Subterránea

En general, al igual que la planificación de largo plazo en minería a cielo abierto, la planificación en minería subterránea también busca maximizar el valor actualizado neto (VAN) del proyecto, teniendo como principal resultado un plan de producción. La planificación subterránea comienza con el diseño de la mina, luego se determinan las actividades y con esto se obtiene la secuencia de explotación y agendamiento. La secuencia de planificación es la siguiente: (Beniscelli, noviembre 2015 taller de planificación estratégicas de minas).

- Valorización del modelo de bloques: Esto se realiza en base a leyes y parámetros económicos de interés determinados previamente. Se determina la factibilidad económica de extracción del mineral desde el depósito.
- Diseño minero: Se determinan las posibles ubicaciones desde las cuales se puede extraer el mineral, como las posibles ubicaciones de caserones. También se diseñan los desarrollos que se requerirán para acceder al mineral, proveer rutas de acarreo y mantener una ventilación apropiada dentro de la mina.
- Determinación de actividades que se requieren para la explotación: Antes de que comience la extracción de un caserón, se necesitan que se completen un específico set de actividades de desarrollo. Entonces, las restricciones de secuencia de una mina subterránea se determinan después del diseño y proporcionan reglas para el orden en el que se extraen los caserones y desarrollos.
- Plan de producción: Una vez que se tiene el diseño fijo y la secuencia del método, se pueden agendar las actividades con el fin de maximizar el VAN. Análisis y renovación del diseño y plan para asegurar que su continuidad sea económicamente óptima.

2.3.2 Plan de Producción Subterráneo

La obtención de un plan de producción para minería subterránea es una tarea de alta complejidad, en donde los modelos que se plantean para resolver el problema de optimización responden a funciones objetivo de carácter económico, junto a restricciones basadas en precedencias y disponibilidad de recursos. Esto se suma a la amplia variedad de arquitecturas subterráneas y métodos de explotación disponibles.

Algunos autores han desarrollado modelos mediante distintas técnicas de programación con el objetivo de obtener planes de producción optimizados.

Trout utiliza programación entera mixta, siendo éste el primer intento de optimizar el plan de producción de una mina subterránea. Su modelo consideró un horizonte de 17 períodos incorporando un secuenciamiento para el relleno de caserones, limitaciones en capacidad de extracción y relleno de caserones y requerimiento de leyes de mineral (Trout, 1995).

No obstante, los resultados del estudio no son comparables a los obtenidos hasta la fecha, por lo que el modelo no asegura un resultado óptimo.

Posteriormente (Carlyle & Eaves, 2001), utilizaron programación entera mixta que maximiza el beneficio de una mina explotada mediante sublevel stoping (SLOS) de paladio y platino, considerando actividades de construcción, perforación y la cantidad de caserones a ser preparados y extraídos como principales componentes del modelo. Sin embargo, esto se limita un caso de estudio en particular, sin ser una metodología generalizada.

Smith emplea el tiempo utilizado en la extracción como variable de decisión para resolver un problema de maximización del VAN en minas de cobre y zinc (Smith; Sheppard & Karunatillake, 2003). Por su parte, Rahal plantea un modelo matemático para agendar operaciones de block caving de tal forma de minimizar las desviaciones, considerando una tasa de extracción máxima y otra mínima, el contenido máximo de estéril por punto de extracción y relaciones de precedencia (Rahal; Smith; Van Hout & Von Johannides, 2003). Finalmente, Newman y Kuchta formulan un modelo entero mixto para la mina Kiruna, explotada por sub level caving, desde donde obtienen la secuencia operacional que minimiza las desviaciones para una demanda planificada, respetando la disponibilidad de equipos y geotécnica (Newman & Kuchta, 2007).

Dentro de la Universidad de Chile también se desarrolló un modelo de optimización para soportar la planificación minera subterránea. El modelo de optimización propuesto por (Rocher & Morales, 2012) maximiza el VAN de la operación, considerando un set de períodos de trabajo y un set de actividades que deben ser cumplidas para la ejecución exitosa del proyecto. Las actividades pueden ser físicas o conceptuales, productivas o preparativas y a gran o pequeña escala. Además, cada actividad posee al menos los siguientes atributos: máxima tasa de avance, mínima tasa de avance, largo total de la actividad, costo o beneficio, recursos requeridos y precedencias, las cuales pueden ser físicas u operacionales (Rocher, 2012).

2.3.3 Softwares Para Obtención de Planes de Producción Subterráneos

- MineMax: MineMax corresponde a un software que entrega soluciones a problemas de planificación minera. Este software considera restricciones asociadas con el desarrollo, minería, manejo de materiales y la elaboración para maximizar el VAN, pero no es capaz de trabajar con problemas de gran tamaño. (Minemax tutorial iGantt Optimizer for UG, 1998-2003).
- Mine2-4D de CAE: herramientas que proporciona un flujo de trabajo para diseñar un programa de actividades. Su entorno de trabajo (diseño 3D tipo CAD, programación de Carta Gantt, animaciones 3D y 2D) lo convierte en una herramienta amigable de resultados fáciles de comunicar. Su principal defecto es no ser capaz de optimizar el plan de producción, por lo que los resultados están supeditados a lo que el planificador desee. En este sentido, requiere la secuencia de actividades y luego el software nivelará de acuerdo con los recursos y restricciones disponibles. (Manual Mine 24D-Esp, SCRIBD uploaded by mochazo, 2013).
- Deswik: software que utiliza gráficos interactivos mediante diagramas de red, de tal forma de resolver el problema de planificación incorporando la producción y una serie de actividades auxiliares. Su configuración no detalla la optimalidad de los resultados, pero dentro de sus ventajas se encuentra la posibilidad de trabajar grandes bases de datos sin límites de temporalidad. (www.deswik.com).
- UDESS: el trabajo desarrollado por Rocher y Morales expuesto previamente fue incorporado en el software *Underground Development Sequencer and Scheduler* (UDESS). Además del set de períodos y de actividades, para maximizar el VAN se consideran restricciones de precedencia, restricciones de recursos disponibles, restricciones de capacidad de mina y de planta, restricciones de inicio de actividades y restricciones de camiones disponibles junto a modificaciones de las precedencias. Una desventaja que presenta este software es el gran tiempo de cómputo que se presenta al trabajar con modelos de bloques de gran tamaño. Sin embargo, es importante mencionar y destacar que las últimas versiones este tema del tamaño del modelo de bloques ha sido resuelto (Morales Nelson, 2021)

2.4. Diseño en Minería Subterránea

La optimización juega un papel fundamental en el diseño y la planificación de la mina. Hay varios algoritmos que se han desarrollado para optimizar las minas subterráneas, los cuales se han centrado principalmente en tres áreas generales de planificación (Topal & Sens, 2010; McNeil J, 2015; McNeil & Dimitrakopoulos, 2017):

- Optimización del diseño de caserones (método límite de caserones).
- Optimización de la ubicación del desarrollo y la infraestructura.
- Optimización del plan de producción.

Sin embargo, las técnicas se centran más en la optimización de límites de caserones porque es la primera oportunidad disponible para que los planificadores de minas puedan optimizar el valor de los proyectos de minería subterránea. Los procesos posteriores de diseño y planificación de la mina están subordinados al yacimiento, por lo tanto, la definición óptima de áreas explotables es crucial para garantizar la generación de diseños y cronogramas realistas y óptimos.

2.4.1 Optimización del Diseño de Caserones

La optimización del diseño de caserones (límites del caserón) se puede realizar por algoritmos exactos. Deraisme desarrolló una aproximación llamada *Downstream Geostatistical Approach*, el cual define el diseño de los caserones en base a la geoestadística usando algoritmos exactos (Deraisme; De Fouquet & Fraisse, 1984).

Este algoritmo es aplicado para los métodos de cut & fill y sublevel stoping, y usa la geoestadística para construir modelos numéricos de sección 2D y delinear el mineral que será explotado. La desventaja de este método es que no considera valores económicos.

Por otro lado, esta optimización se puede realizar por métodos heurísticos.

El primero en desarrollar un algoritmo heurístico fue Alford en 1995, el cual es conocido como *Floating Stope Algorithm* (Alford, 1995).

Este método flota un caserón de dimensiones previamente definidas a través del modelo de bloques, calculando el mineral contenido promedio y usando las leyes de corte, decide si el caserón flota o no flota. Las coordenadas de este caserón son guardadas. Una vez que los caserones son flotados por todo el modelo se crea una envolvente indicando el área en donde los caserones factibles son ubicados. La principal ventaja de este algoritmo es la simplicidad. Sin embargo, sus principales desventajas son que solo indica el área en donde los caserones podrían ubicarse, sin producir ningún diseño, y produce caserones superpuestos con bloques compartidos.

En estos casos se debe realizar ajustes manuales (Ataee Pour, 2000; Little, 2012 & Sandanayake, 2014), cambiando el valor económico de los caserones generado por los algoritmos. Por lo tanto, este algoritmo no garantiza una verdadera solución óptima.

En el año 2001 Cawrse desarrolla el algoritmo denominado *Multiple Pass Floating Stoppe Algorithm (MPFSA)* (Cawrse, 2001). Este algoritmo es basado en los mismos principios que el algoritmo del caserón flotante. Sin embargo, también delinea las zonas económicas usando múltiples sets de parámetros como las leyes de cabeza y leyes de corte. El algoritmo genera muchas envolventes diferentes basadas en los parámetros de entrada, las cuales pueden ser usadas para seleccionar y diseñar caserones. Sin embargo, este no elimina las desventajas del algoritmo del caserón flotante. Por lo que no puede garantizar una verdadera optimización de diseño.

(Ataee-Pour, 2001) desarrolla el algoritmo *Maximum Neighbourhood Value (MNV)* basado en el principio del algoritmo del caserón flotante (Ataee-Pour, 2000). Este algoritmo introduce el valor económico del bloque mediante el precio y ley del elemento de interés. Se definen los bloques denominados vecindarios, los cuales se deben extraer en conjunto para satisfacer la restricción mínima de tamaño del caserón. Estos bloques están restringidos por los requisitos geotécnicos y mineros.

El tamaño mínimo del caserón se logra identificando el conjunto de vecindades factibles para cada bloque del modelo, que proporciona el valor neto máximo (ver Figura 4). Durante el proceso de optimización, se realizan comprobaciones para excluir bloques innecesarios, como aquellos con valores económicos negativos, ya marcados o aquellos donde la MNV del bloque es negativa. Su principal desventaja es que el diseño final de caserones es afectado por el punto inicial de la evaluación y el costo de extracción no considera el tamaño de la unidad de explotación, sino sólo bloques individuales (los grandes caserones pueden proporcionar un menor costo por tonelada en comparación con los pequeños caserones), lo que afecta a los vecindarios seleccionados para el diseño final del caserón.

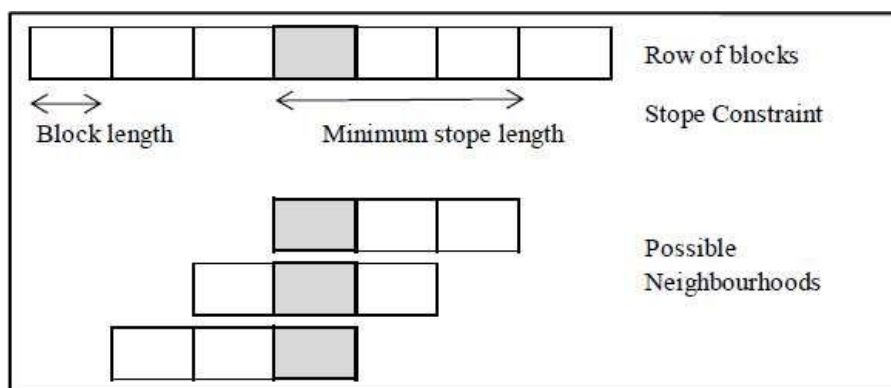


Figura 4. Ejemplo de bloques vecinos para formar un caserón (Erdogan & Yavuz, 2017).

Topal & Sens desarrollaron un algoritmo heurístico el cual convierte el modelo de bloques en un modelo con bloques de dimensiones consistentes denominado modelo de bloque regularizado (Topal & Sens, 2010). En consecuencia, los caserones restringidos por la altura, la longitud y el ancho se generan a partir del modelo de bloque regularizado.

Este algoritmo puede ser implementado en Matlab y visualizado en el software MinePlan de Hexagon Mining. El algoritmo permite generar diseños de caserones con diferentes estrategias de diseño como generar límites óptimos de caserones con un tamaño de caserón fijo, usando un rango de tamaño de caserones, entre otros. Su principal ventaja es que puede dar soluciones de disposición de caserones en 3D. Por el contrario, los caserones incluidos en el diseño final se eligen en orden descendente y rechazan los caserones superpuestos, por lo que no cuenta la probabilidad de combinaciones múltiples de caserones.

Sandanayake también desarrolló un algoritmo heurístico para optimizar los límites del caserón (Sandanayake, 2014). El algoritmo comienza por regularizar un modelo de bloques. Luego, el algoritmo define los tamaños de caserones en términos de número de bloques en la dirección X, Y, Z, y este caserón definido se flota a lo largo de las mismas direcciones en el modelo de bloque económico para identificar todos los caserones posibles. El algoritmo se limita al uso de valores fijos empleados para crear el modelo de bloque económico. Esto significa que existe la posibilidad de que los caserones descartados, es decir aquellos con valores económicos negativos en realidad puedan tener valores económicos positivos si se consideran todos los parámetros geológicos y económicos posibles utilizados en el cálculo de valores económicos de bloques. Por lo tanto, el algoritmo tampoco genera límites fiables de caserones óptimos.

2.4.1.1 Método para Diseño de Caserones Operacionales Óptimos (Morales; Mancilla; Miranda; Vallejos, 2022)

Esta metodología, como otras, primero calcula el conjunto de todos los caserones válidos y luego resuelve un problema de optimización para encontrar el mejor diseño de caserones. No obstante, incorporamos las siguientes aportaciones relevantes respecto a los modelos anteriores descritos.

En este enfoque, los caserones en el diseño subterráneo óptimo tienen un valor económico positivo (como en trabajos anteriores), pero su forma no está restringida a ser rectangular.

Además, antes de admitir un caserón como válido, utilizamos un gráfico de estabilidad (Mawdesley et al., 2001) para filtrar los caserones que son geotécnicamente inestables. Este es un ejemplo del uso de la ventaja del modelo basado en caserones que no se ha explotado antes.

El problema de optimización es nuevo y más flexible, lo que permite varios grados de control sobre la geometría de la solución resultante. Por lo tanto, se proporciona una variación libre en la que las galerías de producción se pueden ubicar “en cualquier lugar”

(siempre que los caserones sigan siendo compatibles)

Finalmente, aunque en este documento presentamos el problema en el contexto de la excavación abierta por subnivel (SLOS), algunas de las ideas podrían aplicarse directamente o adaptarse a otros métodos de minería subterránea. Por ejemplo, esta metodología podría aplicarse directamente a una mina de hundimiento de subnivel. De manera similar, en este trabajo usamos el modelo basado en caserones para asegurar que los caserones sean estables, pero esto también podría usarse para tener una mejor estimación de los costos al vincular el tamaño de los caserones con la productividad del equipo o el valor económico al introducir otros aspectos, como la dilución y la sobre excavación, que no son lineales. Sin embargo, los atributos adicionales de los caserones deben calcularse de manera eficiente para mantener el enfoque práctico.

En el caso del método sub level stoping, así como en otros métodos de minería, los caserones no se pueden ubicar arbitrariamente en el espacio tridimensional. En cambio, siguen el desarrollo de niveles y galerías de producción que se utilizan primero para acceder y extraer los caserones. Por esta razón, imponemos ciertas restricciones geométricas en la selección de galerías, de modo que las geometrías resultantes sean más realistas y adecuadas para el diseño posterior de la mina. En este sentido, consideramos dos aspectos: primero, que los caserones deben estar organizados en galerías, y segundo, que las ubicaciones de las galerías no pueden ser arbitrarias.

Se reconoce que la ubicación de la galería restringida es quizás demasiado restrictiva; sin embargo, enfatizamos que los niveles resultantes son una salida del modelo y no impuestos por el usuario. De hecho, sería fácil ampliar la formulación, por ejemplo, para limitar el número de niveles o limitar la diferencia de alturas entre coordenadas Z de las galerías a construir.

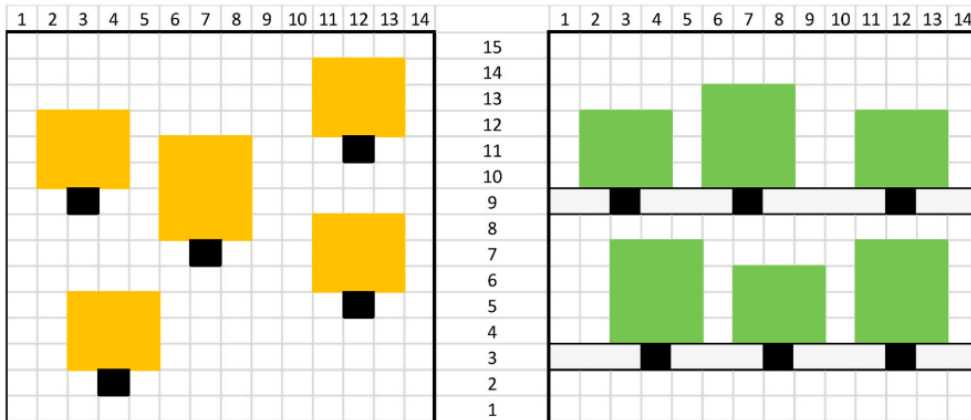


Figura 5. Comparación de 2 posibles soluciones (no necesariamente optimas) en vista XZ.

bloques negros representan galerías y los colores de los bloques corresponden a los caserones. La imagen de la izquierda muestra galerías libres mientras que la imagen de la derecha corresponde a 2 niveles con 6 galerías.

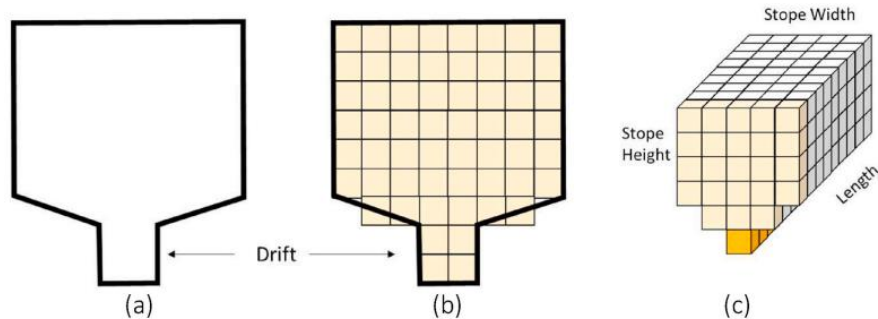


Figura 6. (a) caserón actual y perfil de galería. (b) grupo de bloques patrón aproximación a caserón (c) vista isométrica de un caserón

Para analizar la robustez de los resultados, realizamos un análisis de sensibilidad análisis de los diseños óptimos. Consideraremos perturbaciones de valores económicos de los caserones y se analizó la variabilidad del valor, tonelaje y geometría de los caserones obtenidos por nuestro modelo.

Los resultados demostraron que la variación en valor y tonelaje de las soluciones óptimas es por debajo del 1%. Además, los bloques seleccionados para la extracción siguen siendo en su mayoría igual, como en la mayoría de los escenarios el número de bloques que cambiaron su estado estaba por debajo del 5%.

El trabajo futuro incluirá la aplicación del modelo a más minas y evaluando las variaciones del modelo.

El análisis de sensibilidad también sugiere que sería interesante desarrollar una versión estocástica del modelo en términos de mercado o incertidumbre geológica y aplicar estrategias para resolver el modelo correspondiente.

Es por eso que este trabajo de tesis se ha estudiado y aplicado el impacto del precio del cobre en la generación de caserones y sus respectivos planes mineros de producción subterráneos.

2.4.1.2 Diseño de Caserones – Stope Shape Optimizer (Alford, 2011)

Mineable Stope Optimiser (MSO) es ampliamente reconocido como la herramienta de software estándar de la industria para generar formas de optimización de caserones.

El software se distribuye actualmente a través de los proveedores de software de minería Datamine, Deswik y Maptek.

Sin embargo, sus orígenes se encuentran en el algoritmo Stope Shape Optimiser desarrollado por Alford Mining Systems (AMS), quien comercializó por primera vez el software en 2011. AMS describe MSO como “una herramienta estratégica de planificación minera que automatiza el diseño de formas de los caserones para una variedad de métodos de caserones para minas subterráneas”.

Usando restricciones que detallan el método de minería y los parámetros de diseño,

MSO proporciona el diseño de forma del caserón óptimo para maximizar el valor de un yacimiento”.

MSO ha tenido un impacto impresionante en el proceso de planificación de la mina subterránea al brindar oportunidades significativas para mejorar el valor del proyecto, permitiendo la rentabilidad con proyectos marginales e identificando áreas mineras futuras a las que apuntar para exploración y desarrollo.

Los modelos de bloques de recursos minerales son la principal fuente de datos para utilizar el software MSO; sin embargo, se requieren varios otros parámetros técnicos y económicos y, por lo general, estos requieren un trabajo preliminar para garantizar que sean lo suficientemente confiables para usar en el proceso de optimización.

Las entradas clave se relacionan con la geometría de los caserones que surgen de la caracterización y evaluación geotécnicas, la dilución planificada y las leyes de corte o valores como el rendimiento neto de la fundición (NSR).

La preparación y evaluación de estos parámetros requerirá algo de tiempo y una estrecha interacción con otras disciplinas técnicas, como geólogos estructurales y de recursos, ingenieros geotécnicos y con los equipos financieros y otros equipos corporativos para integrar la información de costos e ingresos y los objetivos estratégicos de la mina en el proceso de optimización.

Diríamos que, aunque es relativamente fácil de configurar y producir resultados rápidos, la experiencia de los ingenieros de minas que trabajan con estas herramientas de planificación nunca ha sido más importante.

Las salidas MSO (tramas alámbricas de los caserones, cadenas de sección e informes) pueden proporcionar información valiosa al ingeniero de minas para ayudarlo a comprender las formas de caserones óptimas y económicas para depósitos individuales en menor tiempo y con más precisión en comparación con los enfoques manuales, si esas son comparables.

Las limitaciones de las salidas de MSO suelen ser el resultado de la calidad de los datos de entrada y la selección de un diseño inadecuado y parámetros restrictivos.

Se debe prestar especial atención a los parámetros del modelo de bloques de recursos minerales, como el tamaño de celda y sub celda, la rotación del eje (si existe) y los métodos de estimación.

Las dimensiones de la celda y sub celda del modelo de bloque deben considerar el espesor variable del yacimiento, el ancho mínimo de extracción y la orientación para proporcionar la resolución adecuada de una forma de caserón operacionalmente minable.

Esto se equilibra con la facilidad de uso y la precisión del proceso de optimización: los tamaños de celda y sub celda más pequeños crean archivos de modelo de bloque muy grandes. Más detalles en modelos de bloques más grandes pueden no proporcionar necesariamente una mayor precisión, y esto puede afectar el nivel de confianza que el estudio pretende lograr.

Los wireframes 3D generados representan los sólidos de caserones explotables que cumplen con todos los criterios de entrada y, fundamentalmente, que están por encima de una ley o valor de corte determinado; y por defecto, mediante la evaluación de escenarios alternativos, se pueden identificar áreas de parada en diferentes grados de corte y su viabilidad económica.

Estas formas de caserones se utilizan como base en todas las fases de la planificación de la mina, desde el nivel de estudio (conceptual hasta la viabilidad) hasta las operaciones, como el diseño detallado de la mina y la programación para la planificación estratégica (alargo plazo), hasta la planificación de la producción a corto plazo.

Otros usos habituales que pueden beneficiarse del análisis mediante el software MSO incluyen demostrar una perspectiva económica razonable para la extracción como criterio para las estimaciones de recursos minerales, establecer modelos de control de leyes, respaldar la debida diligencia y la verificación del inventario minero, y evaluar los impactos de dilución en estudios de casos. De igual manera, se requiere un "ojo experimentado" para revisar los resultados de MSO para garantizar que se proporcionen interpretaciones prácticas y significativas que agreguen valor y precisión a los procesos de planificación y evaluación.

Se ha demostrado que MSO es una valiosa herramienta de planificación que puede ayudar a los ingenieros de minas a crear planes de mina optimizados y contribuir al progreso eficiente de los estudios de minería mediante la definición rápida de formas de caserones explotables.

MSO también se puede utilizar para evaluar rápidamente los impactos potenciales en la producción si las suposiciones cambian en cualquier escenario de planificación de la mina y probar la sensibilidad y solidez de una operación o un proyecto.

Para nuestro estudio de tesis utilizaremos Deswik SO en la generación y diseño de los caserones.

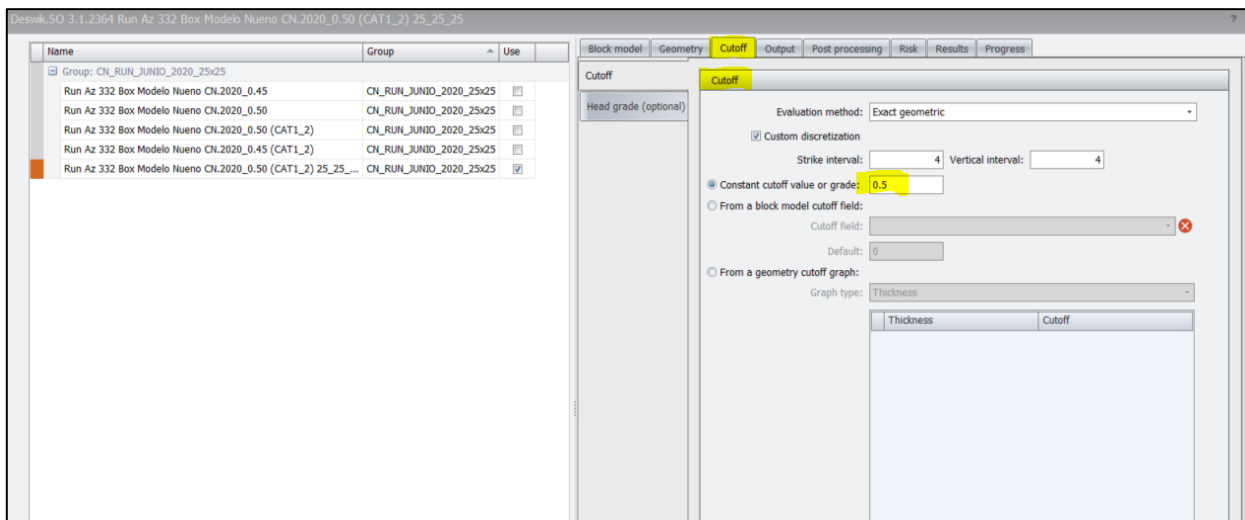


Figura 7. Deswik SO, herramienta utilizada para la determinación de caserones en proyecto tesis.

2.5 Estimación del Precio del Cobre

Un proceso estocástico es una secuencia de variables aleatorias que describen la evolución de un sistema a través del tiempo. Los procesos estocásticos son regularmente usados en los modelos dinámicos de incertidumbre, incluyendo la incertidumbre en los precios de los metales (Sengupta,2004)

En este ítem se presentará de manera general un modelo estocástico usado para la simulación de precios. Los parámetros del modelo son estimados usando los datos del precio del cobre de los últimos 40 años, además se presentarán diferentes gráficos con las simulaciones de precios.

El modelo que se presentará es aquel que será utilizado en este trabajo de tesis para determinar los precios futuros de los próximos 5 años, es decir para 60 periodos mensualizados. El modelo corresponde al Movimiento Geométrico Browniano

2.5.1 Movimiento Geométrico Browniano (GBM)

El movimiento browniano geométrico (GBM) (también conocido como movimiento browniano exponencial) es un modelo de amplio uso en finanzas y sirve para representar el precio de algunos bienes que fluctúan siguiendo los vaivenes de los mercados financieros, en particular, es utilizado en matemáticas financieras para modelar precios en el modelo de Black-Scholes.

El movimiento Geométrico Browniano es definido por la siguiente ecuación estocástica diferencial:

$$dP = \mu P dt + \sigma P dW \quad (1)$$

Donde μ es el parámetro de la tendencia, dt es el cambio en el tiempo, σ es el parámetro de la volatilidad

$$dW = \varepsilon(t) \times \sqrt{dt} \quad (2)$$

corresponde al incremento del proceso de Wiener. Aquí $\varepsilon(t)$ es un proceso de error de ruido que sigue una distribución normal. En tiempo discreto, si el precio P_t sigue una distribución log-normal, ocupando el Lema de Ito, la ecuación (2) puede ser expresa como:

$$P_t = P_{t-1} e^{(\mu - \frac{\sigma^2}{2}) + \sigma \varepsilon_t} \quad (3)$$

Donde $dt = 1$ y $\varepsilon(t) \sim N(0,1)$. el parámetro μ representa el promedio esperado de los retornos logarítmicos del precio sobre un periodo (t) y σ corresponde a la variabilidad del proceso.

El pronóstico del precio condicional es:

$$E[P_{s+t}|P_t] = P_t e^{\mu s} \quad (4)$$

Y la varianza condicional del precio es:

$$Var[P_{s+t}|P_t] = P_t^2 e^{2\mu s} (e^{\sigma^2 s} - 1)$$

Cuando el valor de μ el movimiento geométrico browniano es un proceso de martingala. Notar que la varianza del proceso incrementa sin límite a lo largo del tiempo, es decir:

$$\lim_{s \rightarrow \infty} Var[P_{s+t}|P_t] = \infty \quad (6)$$

Dando como resultado, que el rango de precio esperado crezca a través del tiempo.

2.5.2 Implementación del Modelo Geométrico Browniano

Los modelos fueron estimados para un set de datos de precios de cobre. Los precios spot fueron obtenidos por las fuentes London Metal Exchange (LME) y Cochilco.

El precio spot usado en el análisis es el precio mensual del cobre desde enero de 1973 hasta septiembre de 2013. Hay 489 observaciones en la serie de precios promedio. Esos precios representan el valor de una libra de cobre, y están expresados por centavos de dólar la libra (c/lb). El precio real fue calculado usando el Producer Prices Index (PPI) proporcionado como medida de inflación. El precio real se expresa como:

$$P_t^R = P_t \left[\frac{PPI_T}{PPI_t} \right] \quad (7)$$

La normalización de los datos se hizo en base al precio de septiembre de 2013. Por lo tanto, PPI_t es el precio de septiembre de 2013 y PPI_t es el precio promedio mensual a principio de cada mes t hacia atrás.

Sea

$$R_t = \ln \left(\frac{P_t}{P_{t-1}} \right) \quad (8)$$

El retorno logarítmico del precio $t-1$ al periodo t . Se puede notar que la expresión puede ser representada como:

$$R_t = \left(\mu - \frac{\sigma^2}{2} \right) + \sigma \varepsilon_t \quad (9)$$

Si se considera a $\alpha = \mu - \frac{\sigma^2}{2}$. La estimación de los parámetros sería, por lo tanto:

$$\hat{\alpha} = E[R_t - \sigma \varepsilon_t] = \bar{R} \quad (10)$$

$$\hat{\sigma} = s_R \quad (11)$$

Donde \bar{R} es la media muestral de R y s_R es la desviación estándar muestral de R . Para los datos del precio del cobre, los parámetros estimados son $\bar{a} = 0.0005487898$ y $\sigma = 0.0657327$. Una simulación de series de precios usando los coeficientes estimados es presentado en la figura 8. La ecuación de simulación es:

$$P_t = P_{t-1} e^{0.0005487898 + 0.0657327 \varepsilon_t} \quad (12)$$

Donde $P_0 = 248.52$ y $\varepsilon(t) \sim N(0,1)$. La propiedad de aumentar la varianza a través del tiempo puede dar valores poco realistas en la simulación de precios de este modelo. (Aracena Juan Luis, marzo 2014)

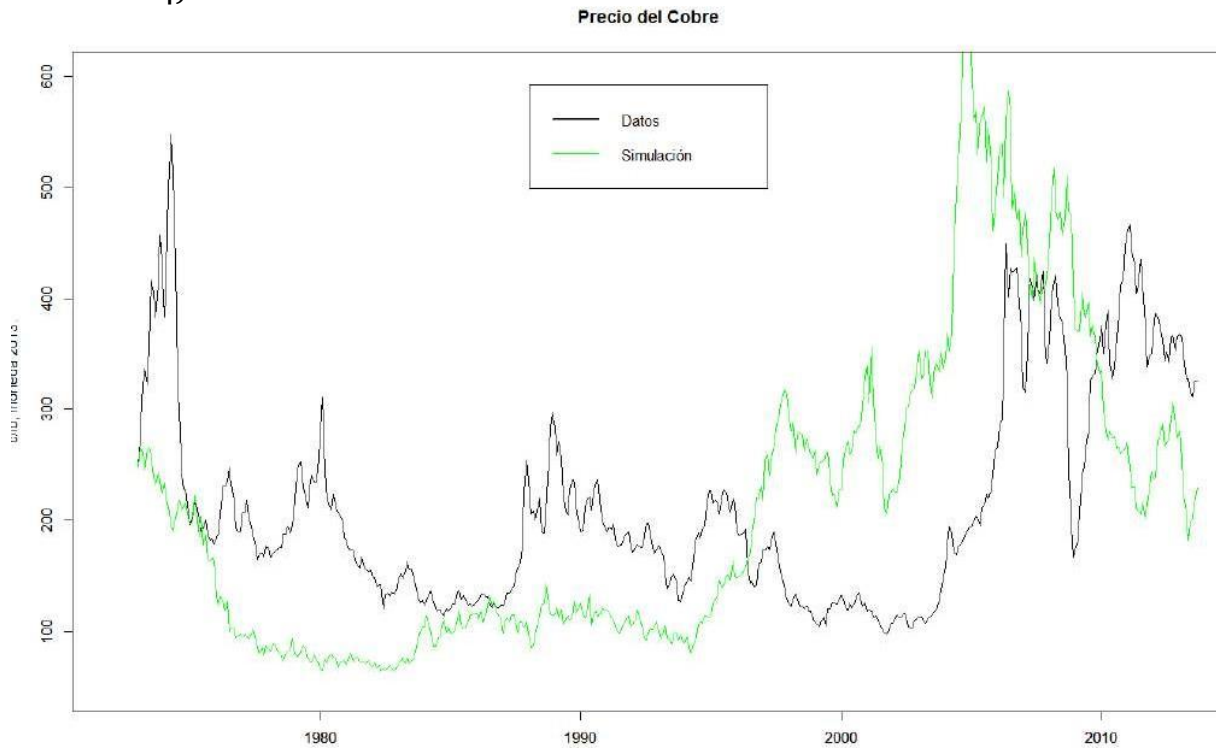


Figura 8. Comparación de los datos del precio del cobre y una simulación por medio de un Movimiento Geométrico Browniano.

2.6. Determinación de Ley de Corte para Minería Subterránea.

Las limitaciones de capacidades son comunes en las minas cielo abierto y minas subterráneas. Estas pueden ser originadas por restricciones impuestas por la geometría del cuerpo mineralizado, condiciones geotécnicas, capacidades de túneles y transporte, requisitos de ventilación, método de extracción, tamaño y tipo de equipo de minería, regulaciones de salud y seguridad y otras restricciones que limitan la producción desde un caserón, una sección de mina, o la mina en su conjunto.

Ocasionalmente se cita una ley mínima cuando se hace referencia a la ley promedio que debe superar un caserón antes de que se considere para la producción minería (Rendú,2008).

Estrictamente hablando, esta no es una ley de corte sino una ley promedio, que debe estar vinculada a un tonelaje. La ley promedio mínima del caserón depende del tamaño del caserón, su ubicación con respecto a las instalaciones existentes, la facilidad de acceso y otras características específicas del caserón.

Esta ley promedio es aquella para la cual se espera que el costo de desarrollar el caserón y extraerlo sea menor que la ganancia obtenida al procesar el mineral y vender el producto final.

Este cálculo debe realizarse con descuento. Teniendo en cuenta todas las limitaciones físicas. Al diseñar un caserón, se deben tener en cuenta las limitaciones impuestas por el método de extracción y las condiciones geotécnicas. También se debe determinar si el material de menor grado ubicado a lo largo del límite del caserón debe incluirse en el mismo. Dicho material debe extraerse solo si el valor esperado del producto recuperable que contiene excede todos los costos incrementales. Incluyendo minería, transporte, procesamiento, relleno y otros costos.

La ley de corte mínima que define el material límite que debe extraerse es la ley de corte de la mina y se estima utilizando una fórmula similar a la del material en el fondo de una mina a cielo abierto:

$$X_c = (M_o + P_o + O_o) / (r * (V - R)) \quad (13)$$

Un ejemplo considerando una mina de cobre subterránea donde el costo incremental es 10 \$/ton, el costo de proceso es de 20 \$/ton y la recuperación metalúrgica es de un 97%. Dado un precio del cobre de 2.75 \$/lb y un costo de refinación de 0.20 \$/lb.

La mínima ley de corte a ser considerada en el diseño de caserones sería la siguiente:

$$X_c = [10 + 20] / [0.97 * (2.75 - 0.20)] * 2204.6226$$

$$X_C = 0.55\%$$

3. Marco Teórico

3.1 Planteamiento del problema

Existen varios estudios e investigaciones que abordan la problemática del precio del cobre como un factor importante en la generación de incertidumbre en los planes mineros de producción, sin embargo, en este estudio se desarrollará una metodología que involucra y aplica ciertos softwares comerciales de planificación minera como es el caso de Deswik y aplicaciones propias con programación en visual basic for application (VBA) macros en planilla de cálculos en Excel. Que nos permitan determinar tanto el perfil de precios incluyendo la incertidumbre bajo la metodología Movimiento Geométrico Browniano (GBM) y el perfil de leyes de corte (COG%) bajo el formulismo planteado por Jean-Michel (Rendu,2008).

3.2 Planificación Minera Subterránea Típica en la Industria

El ciclo del proceso típico de planificación minera subterránea comienza con la determinación de una ley de corte, estimada con parámetros determinísticos de costos y precio del cobre. Posteriormente se determinan los “target” de producción estimados para su explotación (determinación de caserones). Junto con ello se diseñan la infraestructura necesaria para acceder a los diferentes caserones de producción. Un punto relevante en esta etapa es el diseño de chimeneas de ventilación, drenajes e infraestructura minera.

Una vez obtenidos los diseños tanto de caserones como accesos e infraestructura se inicia el agendamiento de las reservas mineras con la elaboración del plan minero, para este caso de estudio de tesis consideraremos planes de largo plazo LOM (Life of mine).

Finalmente se valoriza el plan con la confección del plan económico y la determinación del VAN. (Strategic Mine planning Symposium, Perth 2014) figura N°9.

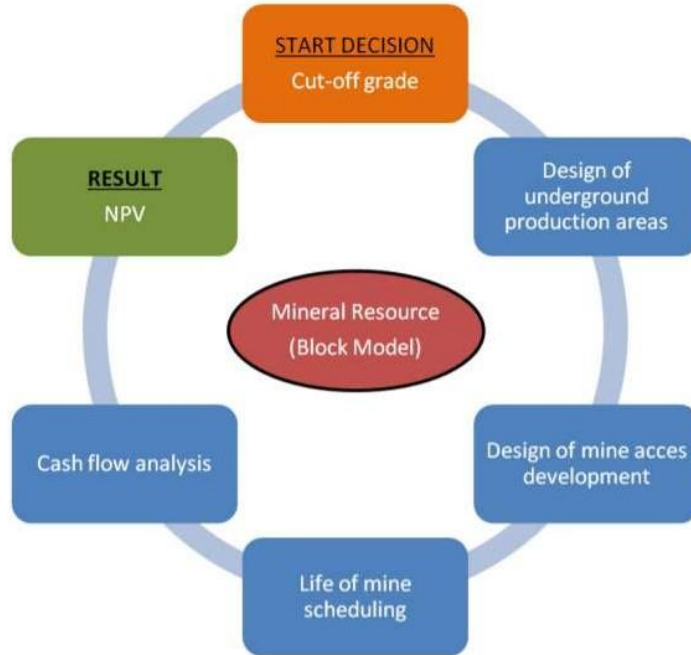


Figura 9. Ciclo típico de planificación minera subterránea.

3.3 Planificación Minera Subterránea Estocástica

El ciclo del proceso propuesto de planificación minera subterránea estocástica comienza con la determinación de diferentes leyes de corte, estimada con parámetros fijos de costos y precio del cobre variable en función del método GBM (Movimiento Geométrico Browniano). Posteriormente se determinan los “target” de producción estimados para su explotación (determinación de caserones). Junto con ello se diseñan la infraestructura necesaria para acceder a los diferentes caserones de producción (para este trabajo de investigación se considera como alcance un índice de preparación de 500 ton/mts para no estar diseñando la infraestructura de los 10 ejercicios analizados).

Posteriormente se inicia el agendamiento de las reservas mineras con la elaboración del plan minero, para este caso de estudio consideraremos planes de largo plazo LOM (Life of mine).

Finalmente se valorizan los planes con la confección del plan económico y la determinación de los diferentes VAN como resultados.



Figura 10. Ciclo Propuesto estocástico de planificación minera subterránea.

En base a lo comentado y visualizado en la figura 10, esta metodología permitirá entregar planes más robustos con una mayor adherencia y considerando una matriz de resultados posibles teniendo incorporada la incertidumbre del precio del cobre en los planes mineros subterráneos.

3.4 Justificación de la Investigación

Actualmente dentro de las etapas de planificación minera subterránea no está completamente considerado el efecto de la incertidumbre de precios de los metales en la determinación y generación de las áreas de producción, específicamente en la determinación de los caserones, estos se generan considerando el valor V como una variable determinística, vale decir que no considera el efecto del “azar” en los valores de precios futuros.

$$Xc = [Mo + Po + Oo] / [r * (V - R)] \quad (14)$$

Donde,

Xc = Ley de Corte (%)

Mo = Costo mina (\$/ton metric)

Po = Costo planta (\$/ton metric)

Oo = Costo Overall (\$/ton metric)

r = Recuperación planta

V = valor precio cobre (\$/ton metric)

R = Costo de Refinación (\$/ton metric)

Debido a lo anteriormente señalado es que la fórmula para la determinación de ley de corte (14), el valor V será aplicado como una variable estocástica o aleatoria, siendo modelada por la fórmula de determinación de precios GBM.

4. Metodología

La metodología de trabajo se divide principalmente en cuatro etapas.

La primera de ellas corresponde al proceso de determinación de un perfil de precios del cobre, para un horizonte futuro de 5 años, que corresponde a 60 periodos mensualizado aplicando la metodología de cálculo movimiento geométrico browniano (GBM).

Se considera un precio inicial base de 2.75 \$/Lb, una vez determinado el perfil de precios futuros se seleccionará 10 diferentes precios para posteriormente determinar 10 diferentes leyes de corte (COG%).

La segunda etapa se basa en la determinación del perfil de leyes de corte (%COG) considerando para el cálculo variables de entrada tales como:

- Precios del cobre (\$/Lb), estimados con metodología GBM
- Recuperación metalúrgica (%)
- Costos mina (\$/ton)
- Costos procesos (\$/ton)
- Costos de sostenimiento Capital (\$/ton), Administración, G&A
- Créditos por subproductos (en caso de aplicar leyes de Au y Ag en el cálculo de ley de corte).

La tercera etapa corresponde en generar los diferentes escenarios para la generación de caserones utilizando el software Deswik, específicamente el módulo *Stope Optimizer*, estos 10 escenarios serán configurados con 10 diferentes leyes de corte, producto de 10 diferentes estimaciones de precios de cobre.

Por último, la etapa final corresponde a una evaluación económica y matriz de decisión de los caserones encontrados por el algoritmo optimizante.

Una vez determinado el valor económico para cada escenario se generará un ranking para obtener el caso que presente mayor valor económico, así como también el menor valor de incertidumbre en el precio del cobre (Matriz de decisión).

4.1 Definición de Movimiento Geométrico Browniano (GBM)

Un proceso aleatorio que describe el comportamiento de ciertas variables aleatorias a medida que se desplazan en el tiempo. Este proceso se utiliza frecuentemente en los modelos financieros para describir la evolución de los precios a lo largo del tiempo. Cuando se aplica a los precios, el movimiento browniano da por supuesto que el cambio de un período de tiempo al siguiente no está relacionado ni con el nivel de precios ni con las series pasadas de cambios de precio. Es decir, cada cambio de precio es independiente de los cambios de precio anteriores y la volatilidad de los cambios de precio es constante.

4.1.1 Determinación de Precios del Cobre (GBM)

Al aplicar la metodología se construye la fórmula de cálculo en Microsoft Excel la cual se genera una proyección de precios de cobre para 5 años, lo que representa 60 meses de valores de proyecciones futuro.

Parámetro de Entrada		
Copper Price	S_0	2.75
Volatility	σ	0.07
Drift	μ	0.1
Time Step	Δt	0.01

Tabla 1. Parámetros de entrada determinación de precios.

Las fórmulas para estimar los precios futuros son las siguientes:

$$\text{Drift } \mu = \text{Drift } \mu (\text{base}) + \Delta t (\text{base}) \quad (15)$$

Donde,

$$\text{Drift } \mu (\text{base}) = 0.1$$

$$\Delta t (\text{base}) = 0.0$$

La incertidumbre es determinada por la siguiente formula:

NORM.INV (RAND (),0,1) *SQRT (Δt (base)* σ (base) *precio (base)) (16)

Donde,

σ (base) = a la volatilidad y corresponde a 0.07

Change es determinado por la ecuación 17:

$$\text{Change} = \text{Drift} * \text{Incertidumbre} \quad (17)$$

4.2 Determinación de Leyes de Corte (COG%)

La ley de corte mínima que define el material límite que debe extraerse es la ley de corte de la mina y se estima utilizando una fórmula similar a la del material en el fondo de una mina a cielo abierto:

$$X_c = (M_o + P_o + O_o) / (r * (V - R)) \quad (18)$$

Un ejemplo considerando una mina de cobre subterránea donde el costo incremental es 10 \$/ton, el costo de proceso es de 20 \$/ton y la recuperación metalúrgica es de un 97%. Dado un precio del cobre de 2.75 \$/lb y un costo de refinación de 0.20 \$/lb.

La mínima ley de corte a ser considerada en el diseño de caserones sería la siguiente:

$$X_c = [10 + 20] / [0.97 * (2.75 - 0.20)] * 2204.6226$$

$$X_c = 0.55\%$$

Esta ley de corte se aplica no solo al material de ley inferior que rodea un núcleo de alta ley, sino también al material diluido (mezcla de mineral y material de desecho), que podría tener que extraerse para diseñar límites de caserones físicamente alcanzables. Se debe tener en cuenta tanto la dilución planificada como la no planificada. Se deben tener en cuenta los costos de oportunidad, como los impuestos por la capacidad de transporte, lo que aumentará la ley de corte.

Si se debe extraer material de baja ley porque está ubicado dentro de un caserón o dentro de otras aberturas planificadas como túneles, galerías, cortes transversales, etc., se debe usar una ley de corte más baja para determinar si este material debe desperdiciarse o debe ser procesado.

Para dicho material, se deben incurrir costos de tronadura y transporte, ya sea que el material se trate como mineral o lastre.

Al aplicar la metodología para la determinación de las leyes de corte se utiliza como variable de entrada los precios de cobre seleccionados en la tabla 2.

Estos precios son ingresados a la interfaz propia desarrollada con programación VBA la cual junto con otras variables (fijas) permiten obtener el resultado de ley de corte (COG%).

A continuación, se describe cada una de esas variables de entradas al interfaz de usuario.

- Conversión tonnes/libras = 2204.6226 (fijo)
- Precio de cobre \$/lb = 2.75 (variable estocástica)
- Perdida de transporte de concentrado (%) = 99.8 (fijo)
- Recuperación metalúrgica (%) = 96.6 (fijo)
- Costos mina (\$/ton) = 16.7 (fijo)
- Costos procesos (\$/ton) = 5.92 (fijo)
- Costos G&A (\$/ton) = 8.05 (fijo)
- Costos Downstream “aguas abajo” (\$/lb) = 0.339 (fijo)

- Costos Downstream considera los siguientes ítems.
 - Fundición
 - Refinación

- Transporte de concentrado (mina-puerto)
- Transporte de concentrado (puerto-fundición)

Todas estas variables se ingresan a la interfaz de usuario tal como se visualiza en la siguiente figura 11.

***** Formulario Determinacion Ley de Corte *****

Variables de Entradas	
tonnes metricas/ libras imperial	2204.62
Precio de cobre (\$/lb)	2.75
Perdida Transporte Concentrado (%)	99.8
Recuperación Metalurgica (%)	96.6
Costos Mina (\$/ton)	16.7
Costos Procesos (\$/ton)	5.92
Costos G&A ; Sustaining ; Administración (\$/ton)	8.05
Costos Aguas Abejo "Downstream"(\$/lb) (*)	0.339
Costos Aguas Abejo "Downstream" - Creditos (\$/lb) (*)	0.330
(*) Downstream considera el costo de :	
<input type="checkbox"/> Fundición <input type="checkbox"/> Refinación <input type="checkbox"/> Transporte concentrado (mina-puerto) <input type="checkbox"/> Transporte concentrado (puerto-fundición)	
Considerán en el Cálculo Creditos por Sub-Productos ?	
<input type="checkbox"/> SI	<input type="checkbox"/> NO
Ingrese Creditos (\$/lb)	0.311
Cut off Grade % (COG)	0.50

Departamento de Minas
Universidad de Chile
Magíster en Minería

Estimador Precios (GMB)

Ver Formula COG(%)

Ver Formula GBM

Cerrar Formulario

Figura 11. Interfaz de usuario cálculo de COG (%)

4.3 Generación de Caserones

El proceso para generar los caserones se realiza en el software Deswik, específicamente en el módulo Stope Optimizer donde se ingresan los valores de 10 diferentes leyes de corte, que fueron obtenidos y seleccionados en la planilla programada especialmente para este trabajo de tesis (figura 11) interfaz cálculo de COG (%).

Además, se ingresan variables complementarias, pero no menos importante tales como:

- Dimensiones de los caserones resultantes (ancho, alto, largo)
- % de dilución (máx. waste into Stope)
- Orientación de los caserones resultantes
- Exclusión de materiales (uso para categorías de recursos)

Para profundizar y analizar las diferentes pantallas de configuración del software Deswik SO revisar anexo A.

5. Resultados y Análisis

5.1 Resultados de Precios de Cobre

Para la determinación de precios se utilizó el método (GMB), la cual se corrieron 60 diferentes escenarios de precios lo que equivale a una proyección futura de 5 años.

A estos resultados se seleccionaron los 10 mejores precios aquellos que presentaron la menor incertidumbre, para posteriormente con los precios seleccionados determinar las leyes de cortes asociadas.

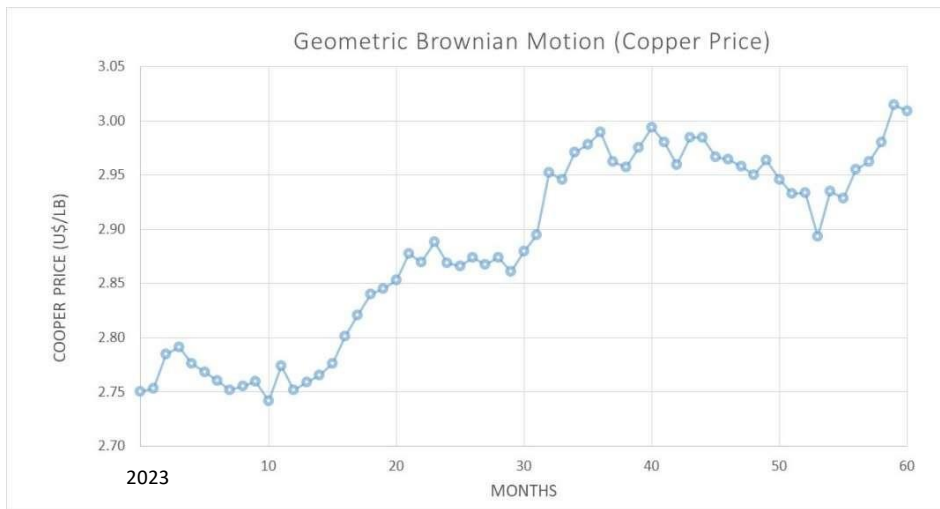


Figura 12. Gráfico proyección de precios

Los resultados obtenidos se muestran en detalle en el ANEXO A.

5.2 Resultados de Leyes de Corte

Para la determinación de las leyes de corte, se ingresan los valores de precios a la aplicación desarrollada con macros en Excel y se obtienen 10 diferentes COG (%), esto con la finalidad de ingresarlos al software Deswik.SO y correr 10 diferentes escenarios de determinación de caserones.

Time/ Month	Drift	Uncertainty	Change	Copper Price	COG (%)
Caso Base *				2.75	0.5
1	0.00275	0.00016129	0.002911	2.753	0.597
8	0.002752	0.000544126	0.003296	2.755	0.598
9	0.002755	0.001913359	0.004668	2.760	0.596
19	0.00284	0.001984552	0.004825	2.845	0.575
3	0.002785	0.003564343	0.006349	2.791	0.588
28	0.002867	0.003720883	0.006588	2.874	0.569
14	0.002759	0.003935797	0.006695	2.766	0.594
35	0.002971	0.004383058	0.007354	2.978	0.546
57	0.002955	0.004402288	0.007358	2.963	0.549
13	0.002752	0.004523991	0.007276	2.759	0.596

Tabla 2. Resultados de leyes de corte con menor incertidumbre

Los resultados obtenidos se muestran en detalle en el ANEXO B.

5.3 Resultados Diseño de Caserones

Al ingresar los valores al software Deswik.SO se obtiene los siguientes valores por cada una de las 10 corridas realizadas.

Importante destacar que la geometría mínima de búsqueda (SMU) es de 30*30*30 y el eje de optimización corresponde al eje Z y varía desde 30 -100 mts en la corrida.

Además, por un tema de tiempo y de alcance del estudio los desarrollos de labores para acceder a cada uno de los caserones generados no serán diseñado, por tal motivo para la estimación de costos de desarrollos (OPEX) será estimado con un índice de preparación acorde en la industria y método de explotación utilizado de 500 ton/mts.

Corri das Deswik SO	Azim ut	X (mts)	Y (mts)	Z (mts)	COG (%)	Copper Price (\$/lb)	Nº Caserones	Mts Desarr ollos (teóric os*)	Ktonnes	Grad e (%)	Cu Conte nido
Caso Base	N-S	30	30	30-100	0.5	2.75	176	53,214	26,607	0.879	23,388
Run 01		30	30	30-100	0.595	2.753	158	45,562	22,781	0.935	21,292
Runo 2		30	30	30-100	0.598	2.755	158	45,422	22,711	0.936	21,249
Runo3		30	30	30-100	0.597	2.76	159	45,622	22,811	0.934	21,310
Runo 4		30	30	30-100	0.575	2.845	163	47,656	23,828	0.920	21,928
Runo5		30	30	30-100	0.588	2.791	161	46,606	23,303	0.927	21,609
Runo 6		30	30	30-100	0.569	2.874	164	48,386	24,193	0.915	22,139
Runo7		30	30	30-100	0.594	2.766	160	45,960	22,980	0.932	21,413
Runo 8		30	30	30-100	0.546	2.978	168	49,900	24,950	0.905	22,581
Runo 9		30	30	30-100	0.549	2.963	166	49,634	24,817	0.907	22,508
Run10		30	30	30-100	0.596	2.759	159	45,706	22,853	0.934	21,334

Tabla 3. Resultados Deswik SO (Generación de Caserones)

(*) Considerando un índice de preparación teórico de 500 ton/mts.

Los resultados obtenidos se muestran en detalle en el ANEXO C

5.4 Resultados Evaluación Económica

Al obtener los resultados de cada corrida de caserones se procede a realizar el análisis económico y matriz de decisión de cada resultado por corrida, considerando los metros de desarrollo y costos asociados tanto Opex como Capex.

Tal como se muestra en la Tabla 5 resumen de resultados Cash flow.

Ítem	Unidades	Valor
Recovery	%	94
Concentrate	%	30.2
Payable	%	96.6
Transportation Lost	%	99.8
Refining Cost	\$/ton	0.1
Mill to Port	\$/ton	9.2
Process Cost	\$/ton	8.11
Mining Cost	\$/ton	36.04
Conversion	ton/lbs	2204.6226

Tabla 4. Parámetros de entrada usados en la evaluación económica

Corrida SO	Nº Stope's	Cu Price (\$/Lb)	COG (%)	Ktonnes	Ley Media (%)	Mts Dellos	Dellos (K\$)	Cash Flow (K\$)
C Base	176	2.75	0.5	26,607	0.879	53,214	205,566	162,634
Run 01	158	2.753	0.595	22,781	0.934	45,563	176,008	200,917
Run 02	158	2.755	0.598	22,711	0.935	45,423	175,469	202,221
Run 03	159	2.76	0.597	22,811	0.934	45,623	176,286	203,648
Run 04	163	2.845	0.575	23,828	0.92	47,656	184,097	234,028
Run 05	161	2.791	0.588	23,303	0.927	46,606	180,039	213,720
Run 06	164	2.874	0.569	24,193	0.915	48,388	186,923	244,208
Run 07	160	2.766	0.594	22,980	0.931	45,962	177,550	205,130
Run 08	168	2.978	0.546	24,950	0.905	49,900	192,764	286,107
Run 09	166	2.963	0.549	24,817	0.906	49,635	191,742	280,338
Run 10	159	2.759	0.596	22,853	0.933	45,708	176,569	202,910

Tabla 5. Resumen de Resultados Cash Flow (K\$)

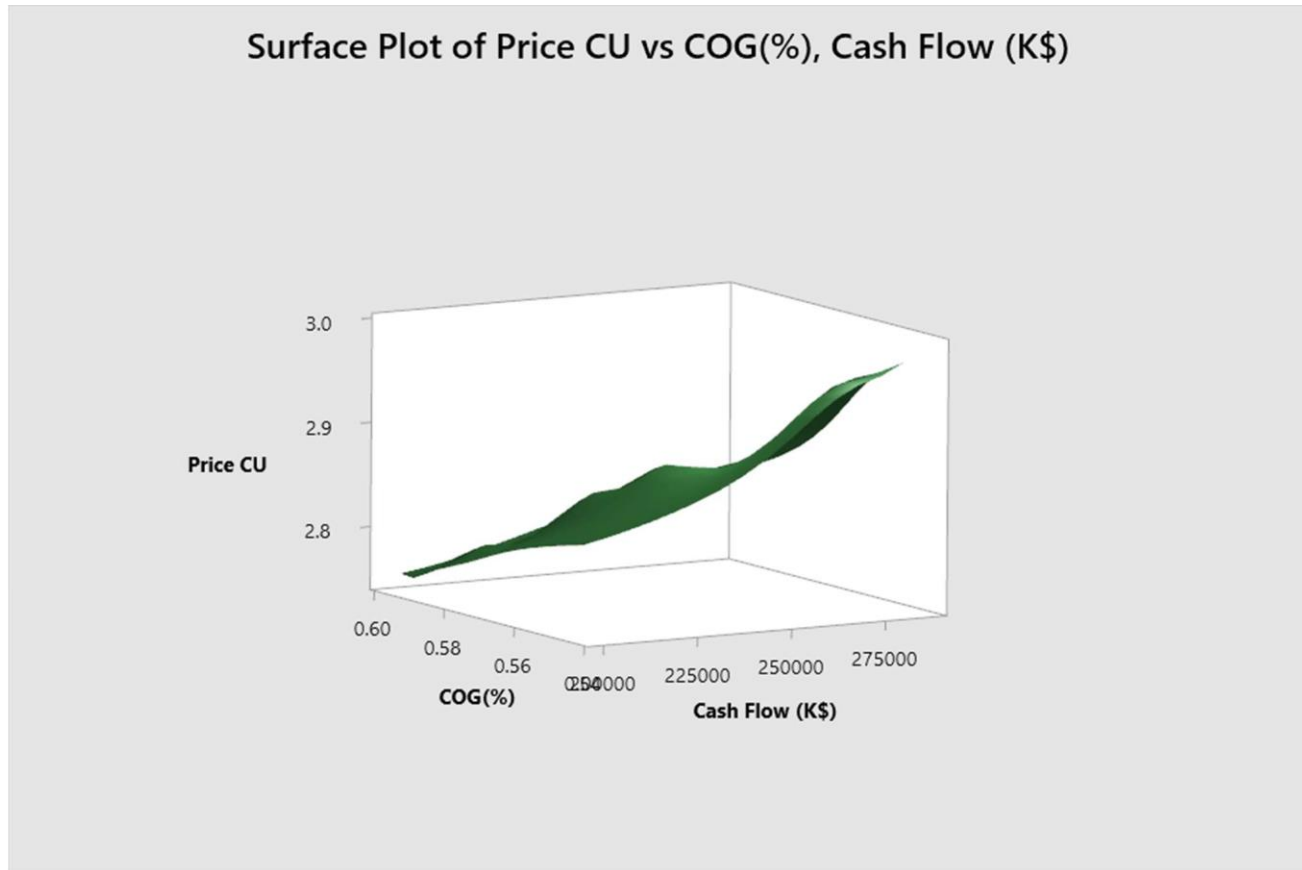


Figura 13. Grafica de superficie considerando (Cu, COG y Cash Flow)

De acuerdo con los análisis obtenidos considerando los ingresos por concepto de tonelaje y leyes de cada caserón, así como el descuento de los respectivos costos (incluyendo un costo de desarrollo, referente a un índice de preparación de 500 ton/mts.

Es que podemos decir que por definición y concepto que a un mayor precio de cobre menor será la ley de corte y por ende se obtendrá una mayor cantidad de caserones y de cobre fino (tabla N°3) bajo esta primera óptica de resultados el **caso Base** de precio de 2.75 \$/ton sería el mejor escenario desde punto de vista de los ingresos por Cobre fino, sin embargo a una menor ley de corte se genera una mayor cantidad de caserones y por ende una mayor distancia en kilómetros de desarrollos (accesos, chimeneas, servicios, etc.). Es por eso que considerando los costos Opex de cada alternativa evaluada podemos determinar que la **corrida N°8** presenta el mejor beneficio económico (ingreso-costos) tal como se muestra en la tabla 5 y gráficamente en la figura 17.

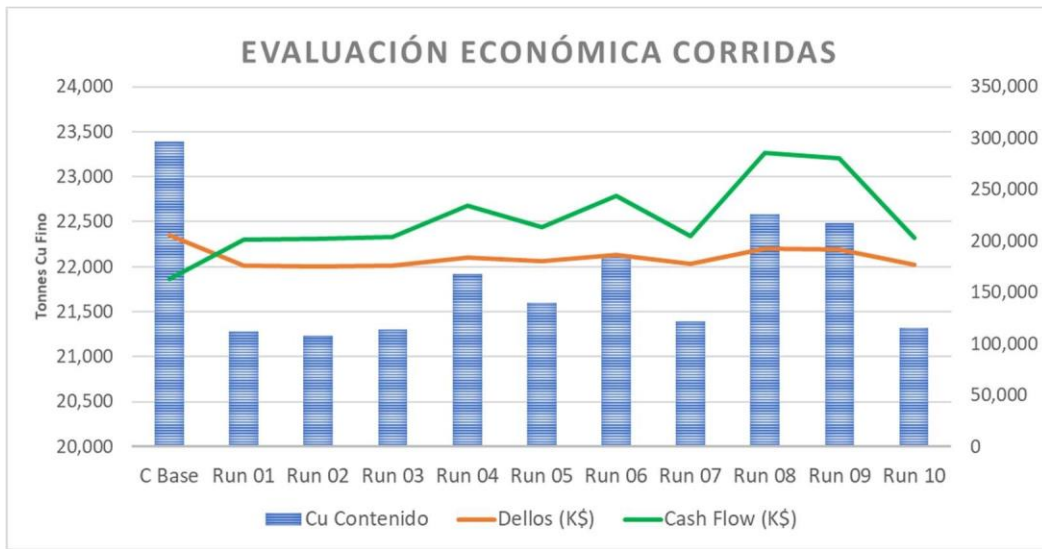


Figura 14. Grafica Evaluación Económica de Casos

Finalmente, y considerando una matriz de decisión de 11*11 donde el eje x corresponde a las simulaciones de precios desde el 2.75 (Caso Base) al 2.978 v/s los valores de NPV de cada diseño, esta matriz entrega resultados bastante interesantes de comentar.

El caso **corrida N°8** ya no es el más atractivo siendo que presenta la corrida con el precio de cobre mayor 2.978 \$/ton, sin embargo, existen otras corridas más atractivas desde el punto de vista económico, como por ejemplo la **corrida N°9** presenta el mejor promedio 249.3 MM\$ y también el mayor valor de los mínimos que equivale a 234.96 MM\$. Otra corrida que entrega valores muy favorables corresponde a la **corrida N°10** presenta el segundo valor promedio más alto seguido de la **corrida N°9**, pero presenta el valor mayor de los máximos de todas las corridas.

Precios															
	C.B	Run 1	Run 2	Run 10	Run 3	Run 7	Run 5	Run 4	Run 6	Run 9	Run 8	Min	Average	Max	
	2.75	2.753	2.755	2.759	2.76	2.766	2.791	2.845	2.874	2.963	2.978	MM\$	MM\$	MM\$	
D	C.B	162,261	163,664	164,599	166,469	166,936	169,741	181,428	206,671	220,228	261,833	268,846	162,261	193,880	268,846
	Run 1	199,641	200,917	201,768	203,469	203,895	206,447	217,082	240,053	252,389	290,249	296,630	199,641	228,413	296,630
	Run 2	201,277	201,843	202,221	202,976	203,165	204,297	209,017	219,212	224,687	241,489	244,321	201,277	214,046	244,321
	Run 10	199,074	200,353	201,205	202,910	203,336	205,894	216,550	239,567	251,928	289,864	296,258	199,074	227,904	296,258
	Run 3	201,749	202,319	202,699	203,458	203,648	204,787	209,534	219,786	225,292	242,190	245,038	201,749	214,591	245,038
	Run 7	198,285	199,568	200,424	202,135	202,563	205,130	215,826	238,928	251,335	289,411	295,829	198,285	227,221	295,829
	Run 5	196,020	197,315	198,178	199,905	200,337	202,927	213,720	237,033	249,553	287,976	294,452	196,020	225,220	294,452
	Run 4	192,408	193,723	194,599	196,351	196,789	199,418	210,371	234,028	246,733	285,724	292,295	192,408	222,040	292,295
	Run 6	189,360	190,687	191,572	193,341	193,783	196,437	207,495	231,381	244,208	283,575	290,210	189,360	219,277	290,210
	Run 9	234,941	235,581	236,007	236,860	237,073	238,352	243,680	255,189	261,369	280,338	283,535	234,941	249,357	283,535
	Run 8	183,248	184,601	185,504	187,308	187,759	190,466	201,744	226,106	239,189	279,340	286,107	183,248	213,761	286,107

Tabla 6. Matriz Precio de Corridas

6. Conclusiones

El presente estudio de tesis de magister se desarrolló considerando y estudiando el efecto del precio del cobre a nivel de incertidumbre de mercado en los planes mineros de producción para minería subterránea específicamente en el método sub level open stoping (SLOS).

Para ello se trabajó en 3 etapas:

En la *primera etapa* se determinó los precios de cobre, mediante la fórmula GBM (método geométrico browniano). Se seleccionaron aquellos 10 precios que presentaron la menor incertidumbre. Tabla N°2

En la *segunda etapa* del proceso, con los 10 precios de cobre seleccionados se calculó las 10 leyes de corte para minería subterránea.

Y en una *tercera etapa* con estas 10 leyes de corte seleccionadas se ingresaron al software Deswik Stope Optimizer para generar los diseños de los caserones.

Con las 10 corridas realizadas se determinó desde el punto de vista económico que la **corrida N°9** es aquella que presentan el mejor beneficio económico que corresponde al precio de cobre estimados de 2.96 \$/ton.

La metodología propuesta en este trabajo de tesis entrega resultados bastante importantes y satisfactorios, comparados con el **caso base** que considera solo una ley de corte igual 0.50% a un precio fijo del cobre de 2.75 \$/ton método determinístico Tabla N°5.

Si bien, el **caso base** es aquel plan de producción que genera la mayor cantidad de mineral 26.6 MMton, mayor cobre fino 23.388 toneladas y por ende una mayor cantidad de caserones a explotar 176 caserones. Este plan genera una mayor cantidad de desarrollos para acceder a cada uno de los 176 caserones, por lo cual el costo de desarrollo para este ejercicio es mayor en comparación a los 10 ejercicios corridos considerando el precio del cobre como una variable estocástica Tabla N°6.

Por lo cual el resultado de este estudio de casos permite dejar una definición clara en función a los números resultantes obtenidos, “*no siempre la mayor cantidad de mineral corresponde al plan minero de producción que presenta las mejores ganancias económicas*”, es importante analizar diferentes valores de precios y leyes de corte que entregarán diferentes diseño minero y todo esto evaluar con sistemas y/o aplicaciones que nos permitan determinar sus respectivos valores económicos de cada plan para determinar en su conjunto cual de todas presenta una mayor confiabilidad y mejor flujo de caja.

7. Recomendaciones

Para trabajos futuros se recomienda:

- Utilizar otras metodologías para estimar precios de cobre y compararlo con los resultados que entregó el método GBM.
- Buscar alguna herramientas rápida y simple de utilizar que permita diseñar de manera sencilla los caserones encontrados en la etapa de stope optimizer, de manera tal de no estar estimando los costos de desarrollo con índices de preparaciones, que para este estudio se consideró 500 ton/mts.
- Realizar un estudio la cual considere el total de incertidumbre en los planes de producción, no tan solo la de mercado (precios), sino también la operacional y geológica, todas estas en un mismo análisis considerando % de relevancia; nivel de sensibilidad e impacto al plan de cada una de ellas.
- Incorporar estos temas de incertidumbre en las herramientas comerciales de optimización de caserones, de tal manera que permita al usuario tener el resultado geométrico de cada caserón, pero con su respectivo nivel de incertidumbre o certeza de lo que el software está entregando como resultado en los caserones.

8. Bibliografía

1. Jean-Michel Rendu (2014). “An introduction to cut-off grade estimation, second Edition”.
2. MT Bootsma, C Alford (2018). “Cut-off grade-based sublevel stope mine optimisation – introduction and evaluation of an optimisation approach and method for grade risk quantification”.
3. Juan Alejandro Quiroz Retamal (septiembre 2013). “Metodología para la generación de planes mineros estratégicos bajo incertidumbre mercado – tesis de magister en minería Universidad de Chile”.
4. Nash Pettingell the University of British Columbia (Vancouver 2017). “Cut-off grade optimization of open pit mines with multiple processing streams by Michael.
5. Alford, C and Hall, B, (2009). “Stope optimisation tools for selection of optimum cut-offgrade in underground mine design, in Proceedings Project Evaluation” (The Australasian Institute of Mining and Metallurgy: Melbourne).
6. Potvin, Y, (1988). “Empirical open stope design in Canada, PhD thesis, University ofBritish Columbia, Vancouver”.
7. Dimitrakopoulos, R., and Kumray, M. (2008). “Mine design selection under uncertainty. Mining Technology”, vol. 117, no. 2. pp. 53–64.
8. Cashin, P., McDermott, C., & Scott, A. (2002). “Booms and slumps in world commodity prices; Journal of Development Economics”.
9. Juan Luis Aracena Araya. (2014). “Riesgo del precio del cobre a largo plazo y su aplicación en las inversiones de Codelco”.
10. Daniela Constanza Henríquez Insulza (2019). “Evaluación del límite óptimo entre minería cielo abierto y sublevel stoping, Tesis Ingeniería Civil Minas.
11. Nelson Morales, Gonzalo Nelis, Juan Quiroz & Winston Rocher (2015). UDESS - A multipurpose scheduling problem for mine planning. En CORS/INFORMS 2015, Montreal, Canada.
12. Nelson Morales, Pierre Nancel-Penard, Nelson Espejo (2021), Development and analysis of a methodology to generate operational open-pit mine ramp designs automatically, Optimization and Engineering.

Anexos

Anexo A: Determinación de Precios

Al ingresar a la aplicación selecciono la ventana estimadora de precios (GBM)

Una vez en la aplicación se generan 60 periodos de precios futuros considerando el caso inicial de precio base es igual a 2.75 \$/lb.

***** Formulario Determinacion Ley de Corte *****

Variables de Entradas:

tonnes metricas/ libras imperial	2204.62
Precio de cobre (\$/lb)	2.75
Perdida Transporte Concentrado (%)	99.8
Recuperación Metalurgica (%)	96.6
Costos Mina (\$/ton)	16.7
Costos Procesos (\$/ton)	5.92
Costos G&A ; Sustaining ; Administración (\$/ton)	8.05
Costos Aguas Abajo "Downstream"(\$/lb) (*)	0.339
Costos Aguas Abajo "Downstream" - Creditos (\$/lb) (*)	0.330

(*) Downstream considera el costo de :

- Fundición
- Refinación
- Transporte concentrado (mine-puerto)
- Transporte concentrado (puerto-fundición)

Considerarán en el Cálculo Creditos por Sub-Productos ?

SI NO

Ingrese Creditos (\$/Lb)

Cut off Grade % (COG)

Estimador Precios (GBM)

Ver Formula COG(%)

Ver Formula GBM

Cerrar Formulario

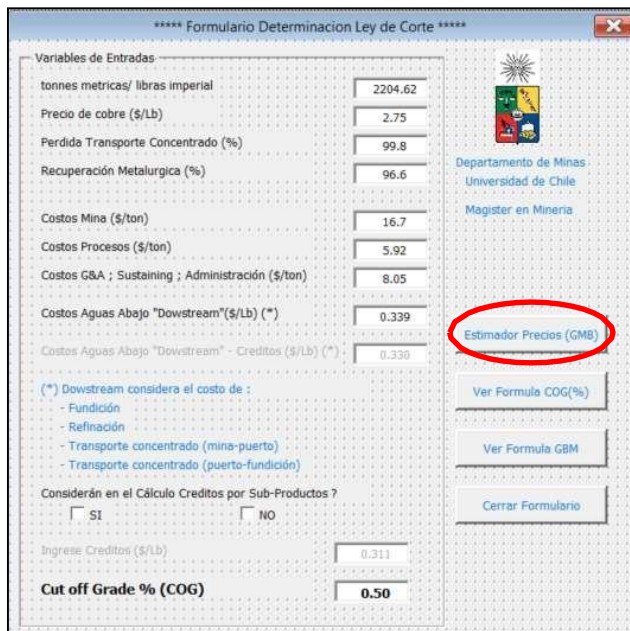


Figura 15. Interfaz de usuario estimar Precios

En la figura 19 y tabla 7 se muestran los resultados de los 60 precios futuros determinados por la fórmula movimiento geométrico browniano (GBM)

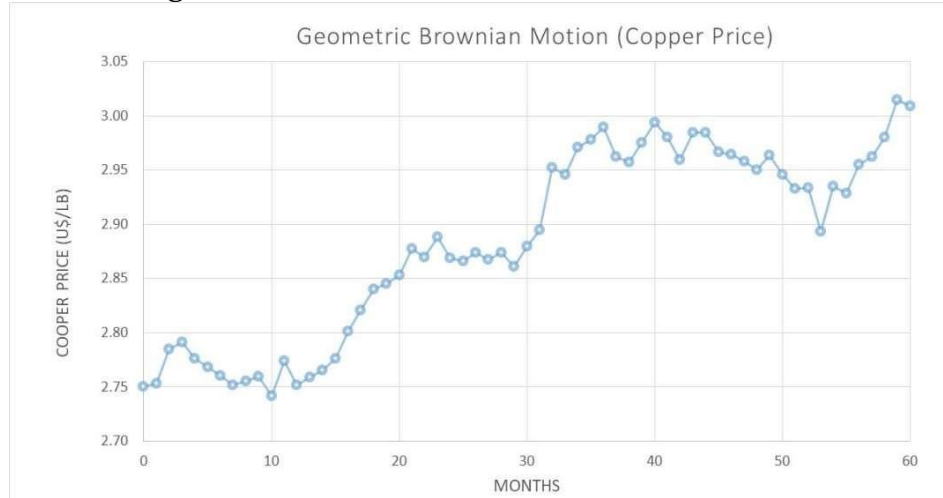


Figura 16. Gráfico proyección de precios

Time/Month	Drift	Uncertainty	Change	Copper Price	Time/Month	Drift	Uncertainty	Change	Copper Price
0				2.750	31	0.003	0.012	0.015	2.895
1	0.003	0.000	0.003	2.753	32	0.003	0.055	0.058	2.952
2	0.003	0.029	0.032	2.785	33	0.003	-0.010	-0.007	2.946
3	0.003	0.004	0.006	2.791	34	0.003	0.023	0.025	2.971
4	0.003	-0.018	-0.015	2.776	35	0.003	0.004	0.007	2.978
5	0.003	-0.011	-0.008	2.768	36	0.003	0.008	0.011	2.990
6	0.003	-0.010	-0.008	2.761	37	0.003	-0.030	-0.027	2.962
7	0.003	-0.012	-0.009	2.752	38	0.003	-0.008	-0.005	2.957
8	0.003	0.001	0.003	2.755	39	0.003	0.015	0.018	2.975
9	0.003	0.002	0.005	2.760	40	0.003	0.016	0.019	2.994
10	0.003	-0.021	-0.018	2.742	41	0.003	-0.017	-0.014	2.980
11	0.003	0.029	0.032	2.774	42	0.003	-0.024	-0.021	2.959
12	0.003	-0.025	-0.022	2.752	43	0.003	0.023	0.025	2.985
13	0.003	0.005	0.007	2.759	44	0.003	-0.003	0.000	2.985
14	0.003	0.004	0.007	2.766	45	0.003	-0.022	-0.019	2.966
15	0.003	0.008	0.011	2.776	46	0.003	-0.005	-0.002	2.964
16	0.003	0.022	0.025	2.801	47	0.003	-0.009	-0.006	2.958
17	0.003	0.016	0.019	2.820	48	0.003	-0.011	-0.008	2.950
18	0.003	0.017	0.020	2.840	49	0.003	0.011	0.014	2.964
19	0.003	0.002	0.005	2.845	50	0.003	-0.021	-0.018	2.946
20	0.003	0.005	0.008	2.853	51	0.003	-0.016	-0.013	2.933
21	0.003	0.021	0.024	2.878	52	0.003	-0.002	0.001	2.934
22	0.003	-0.011	-0.008	2.870	53	0.003	-0.043	-0.040	2.894
23	0.003	0.016	0.018	2.888	54	0.003	0.038	0.041	2.935
24	0.003	-0.022	-0.019	2.869	55	0.003	-0.009	-0.006	2.929
25	0.003	-0.006	-0.003	2.866	56	0.003	0.024	0.027	2.955
26	0.003	0.005	0.008	2.874	57	0.003	0.004	0.007	2.963
27	0.003	-0.010	-0.007	2.867	58	0.003	0.014	0.017	2.980
28	0.003	0.004	0.007	2.874	59	0.003	0.032	0.035	3.015
29	0.003	-0.016	-0.013	2.861	60	0.003	-0.009	-0.006	3.009
30	0.003	0.016	0.019	2.880					

Tabla 7. Resultados de precio futuros de Cobre

Posteriormente se selecciona aquellos precios de cobre que presenten la menor incertidumbre (cercana a cero) estos valores seleccionados corresponden a la tabla 8

Time/Month	Drift	Uncertainty	Change	Copper Price
1	0.00275	0.00016129	0.002911	2.753
8	0.002752	0.000544126	0.003296	2.755
9	0.002755	0.001913359	0.004668	2.760
19	0.00284	0.001984552	0.004825	2.845
3	0.002785	0.003564343	0.006349	2.791
28	0.002867	0.003720883	0.006588	2.874
14	0.002759	0.003935797	0.006695	2.766
35	0.002971	0.004383058	0.007354	2.978
57	0.002955	0.004402288	0.007358	2.963
13	0.002752	0.004523991	0.007276	2.759

Tabla 8. Resultados de precio futuros con menor incertidumbre

Anexo B: Determinación de Leyes de Corte

Al ingresar a la aplicación ingreso los valores “input” para determinar las diferentes leyes de corte (COG) en el segundo recuadro Precio de Cobre (\$/lb) se ingresan los 10 precios futuros determinados en la tabla 8 tal como se indica en la Figura 20. Para obtener como resultados 10 leyes de cortes diferentes considerando la mínima incertidumbre. Tal como se indica en la tabla 8.

Figura 17. Interfaz de usuario estimar COG

Time/Month	Drift	Uncertainty	Change	Copper Price	COG (%)
Caso Base *				2.75	0.5
1	0.00275	0.00016129	0.002911	2.753	0.597
8	0.002752	0.000544126	0.003296	2.755	0.598
9	0.002755	0.001913359	0.004668	2.760	0.596
19	0.00284	0.001984552	0.004825	2.845	0.575
3	0.002785	0.003564343	0.006349	2.791	0.588
28	0.002867	0.003720883	0.006588	2.874	0.569
14	0.002759	0.003935797	0.006695	2.766	0.594
35	0.002971	0.004383058	0.007354	2.978	0.546
57	0.002955	0.004402288	0.007358	2.963	0.549
13	0.002752	0.004523991	0.007276	2.759	0.596

Tabla 9. Resultados de leyes de corte con menor incertidumbre

Anexo C: Determinación de Caserones Con Deswik.SO

La primera ventana de configuración corresponde al modelo de bloque, es ahí donde se selecciona el modelo de bloque.dm y el campo a optimizar, en este caso de estudio el campo a optimizar corresponde a TCU. (figura 21).

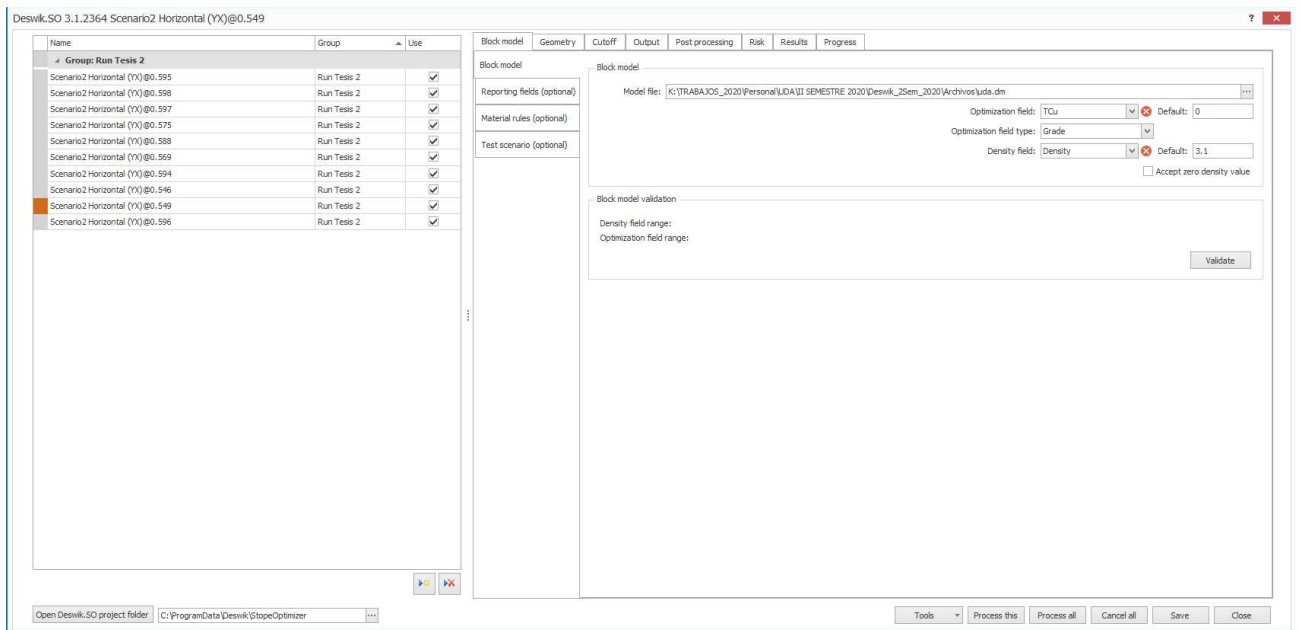


Figura 18. Interfaz de usuario Deswik SO

La segunda ventana de configuración corresponde a geometría, es en esta etapa donde se configura la orientación del caserón a diseñar, rotación del caserón y la región de optimización. Así como también el largo, ancho y altura del caserón y finalmente la dilución

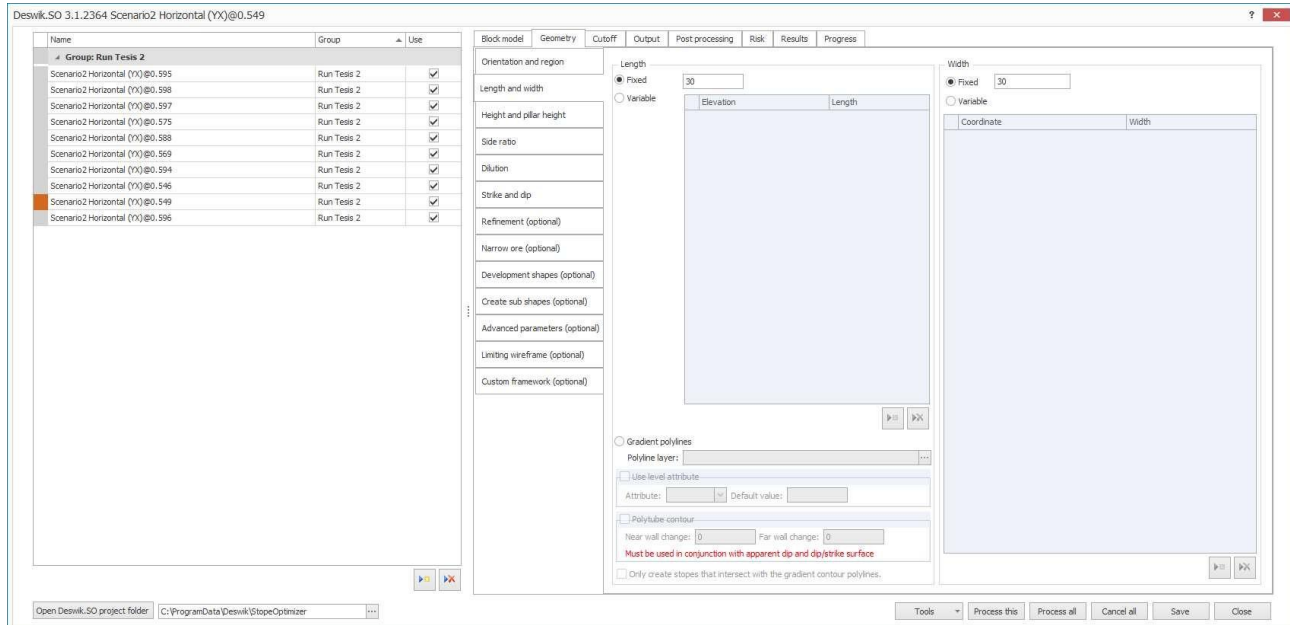


Figura 19. Interfaz de usuario Deswik SO (Geometry)

La siguiente ventana corresponde a la ley de corte como valor constante

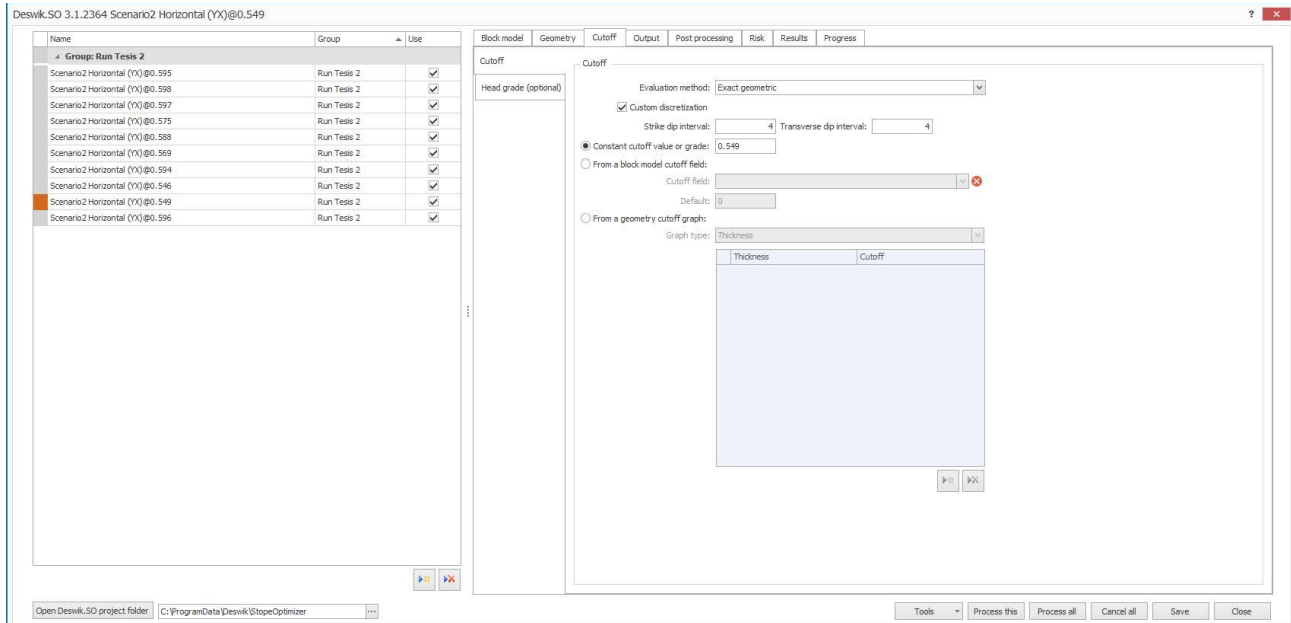


Figura 20. Interfaz de usuario Deswik SO (Cutoff)

El resto de las ventanas son opcionales y para ejercicios más específicos por lo cual con estas 3 ventanas configuradas ya se puede tener resultados de las corridas analizadas.

Anexo D: Detalle por Corridas Con Deswik.SO

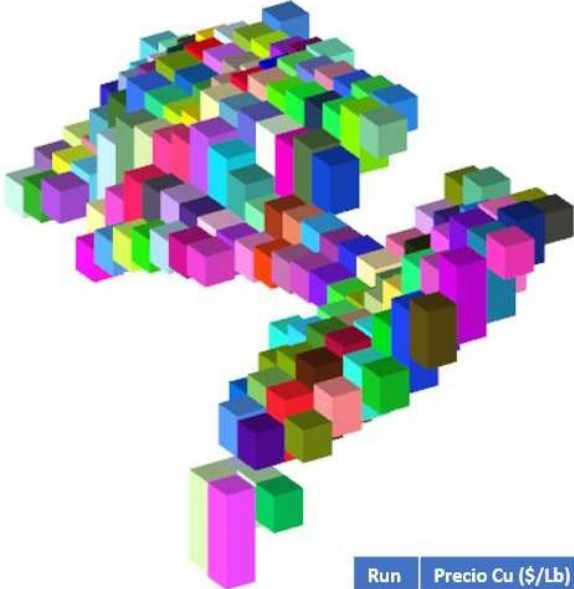
A continuación, se detallan los resultados de cada corrida realizadas en Deswik SO.

Resultados Corrida Caso Base



Run	Precio Cu (\$/Lb)	Nº Caserones	COG(%)	KTonnes	Ley (%)	Cu Fino
CB	2.75	176	0.50	26.607	0.879	23.388

Resultados Corrida N°1



Run	Precio Cu (\$/Lb)	Nº Caserones	COG(%)	KTonnes	Ley (%)	Cu Fino
01	2.753	158	0.593	22.781	0.935	21.292

Resultados Corrida N°2



Run	Precio Cu (\$/Lb)	Nº Caserones	COG(%)	KTonnes	Ley (%)	Cu Fino
02	2.755	158	0.598	22.711	0.936	21.249

Resultados Corrida N°3



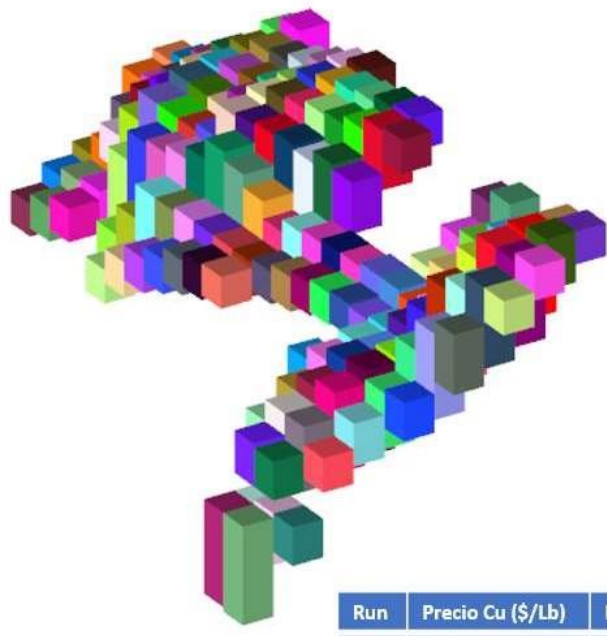
Run	Precio Cu (\$/Lb)	Nº Caserones	COG(%)	KTonnes	Ley (%)	Cu Fino
03	2.760	159	0.597	22.811	0.934	21.310

Resultados Corrida N°4



Run	Precio Cu (\$/Lb)	Nº Caserones	COG(%)	KTonnes	Ley (%)	Cu Fino
04	2.845	163	0.575	23.828	0.920	21.928

Resultados Corrida N°5



Run	Precio Cu (\$/Lb)	Nº Caserones	COG(%)	KTonnes	Ley (%)	Cu Fino
05	2.791	161	0.588	23.303	0.927	21.609

Resultados Corrida N°6



Run	Precio Cu (\$/Lb)	Nº Caserones	COG(%)	KTonnes	Ley (%)	Cu Fino
07	2.766	160	0.594	22.980	0.932	21.413

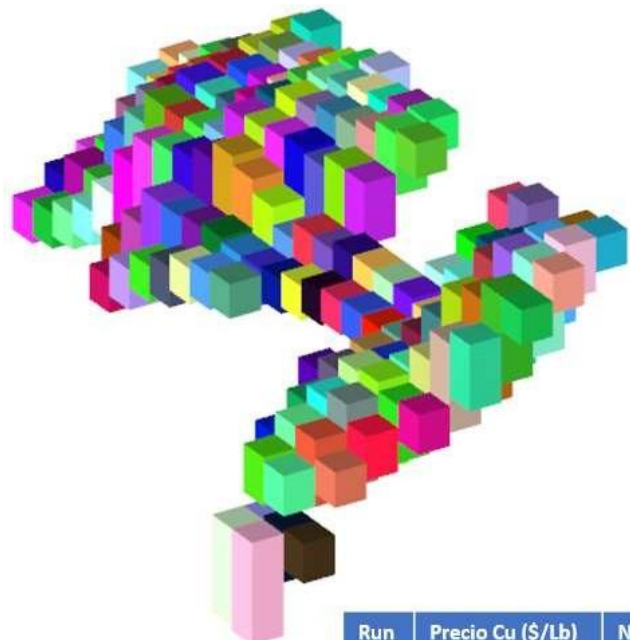
Resultados Corrida N°7

Resultados Corrida N°8



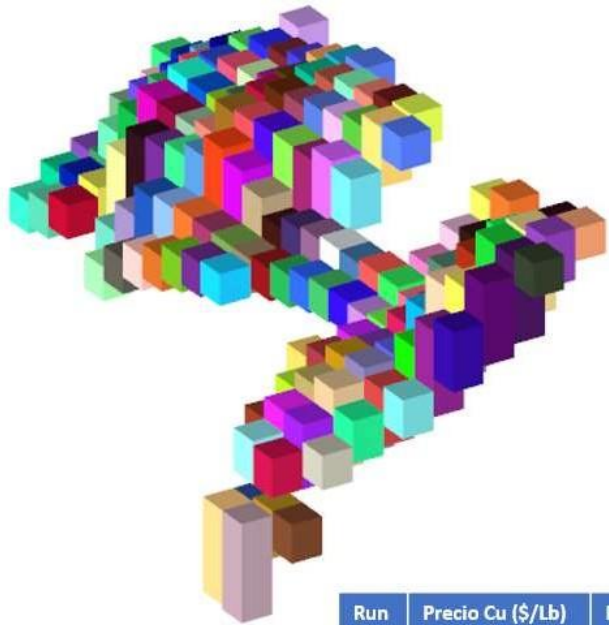
Run	Precio Cu (\$/Lb)	Nº Caserones	COG(%)	KTonnes	Ley (%)	Cu Fino
08	2.978	168	0.546	24.950	0.905	22.581

Resultados Corrida N°9



Run	Precio Cu (\$/Lb)	Nº Caserones	COG(%)	KTonnes	Ley (%)	Cu Fino
09	2.963	166	0.549	24.817	0.907	22.508

Resultados Corrida N°10



Run	Precio Cu (\$/Lb)	Nº Caserones	COG(%)	KTonnes	Ley (%)	Cu Fino
10	2.759	159	0.596	22.853	0.934	21.334

Anexo E: Curvas Tonelaje -Ley

Corrida N°1

COG (%)	Tonnes	Ley Media (%)
total	22,781,305	0.93
0	20,647,944	1.03
0.1	20,647,944	1.03
0.2	20,647,944	1.03
0.3	20,647,634	1.03
0.4	20,613,033	1.03
0.5	20,491,337	1.04
0.6	20,129,700	1.05
0.7	19,313,747	1.07
0.8	17,524,675	1.11
0.9	15,165,065	1.17
1	12,917,600	1.22
2	10,585,833	1.28
3	118,864	2.20
4	465	3.12

Tabla 10. Curva tonnes – grade (Corrida N°1)

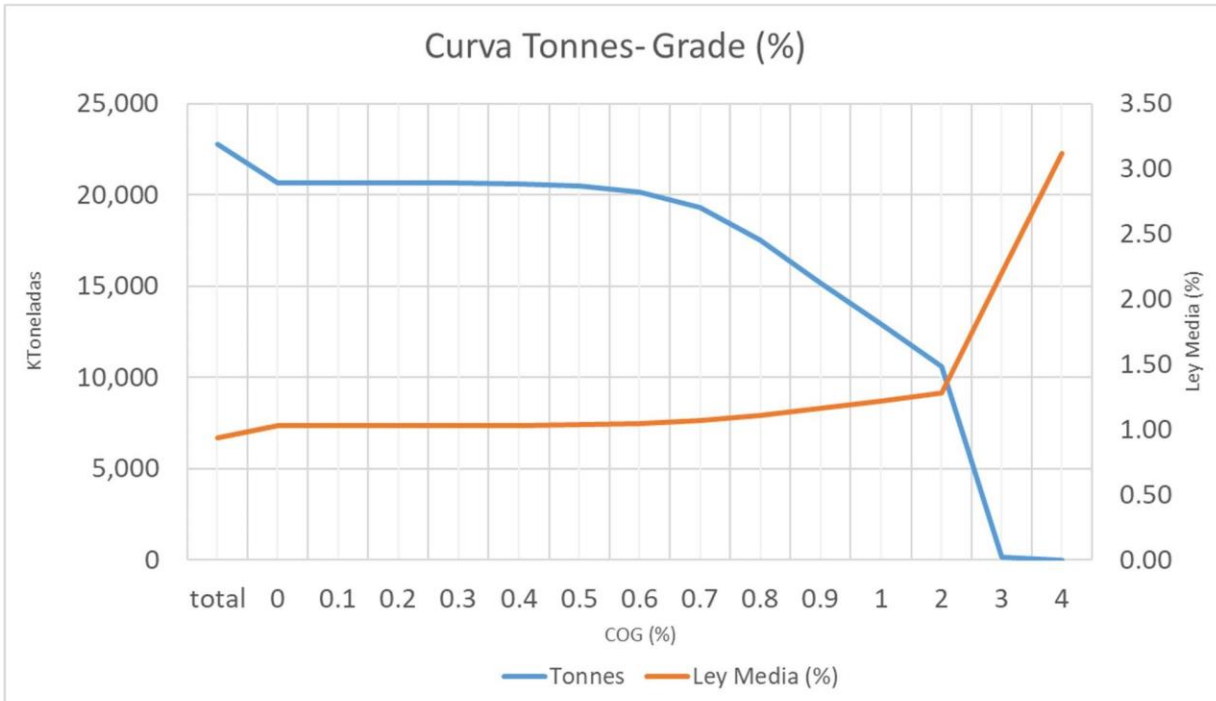


Figura 21. Curva tonnes – grade (Corrida N°1)

Corrida N°2

COG (%)	Tonnes	Ley Media (%)
total	22,711,458	0.94
0	20,594,124	1.03
0.1	20,594,124	1.03
0.2	20,594,124	1.03
0.3	20,593,814	1.03
0.4	20,559,759	1.03
0.5	20,441,702	1.04
0.6	20,082,070	1.05
0.7	19,272,269	1.07
0.8	17,490,301	1.11
0.9	15,139,116	1.17
1	12,897,890	1.22
2	10,577,452	1.28
3	118,870	2.20
4	465	3.12

Tabla 11. Curva tonnes – grade (Corrida N°2)

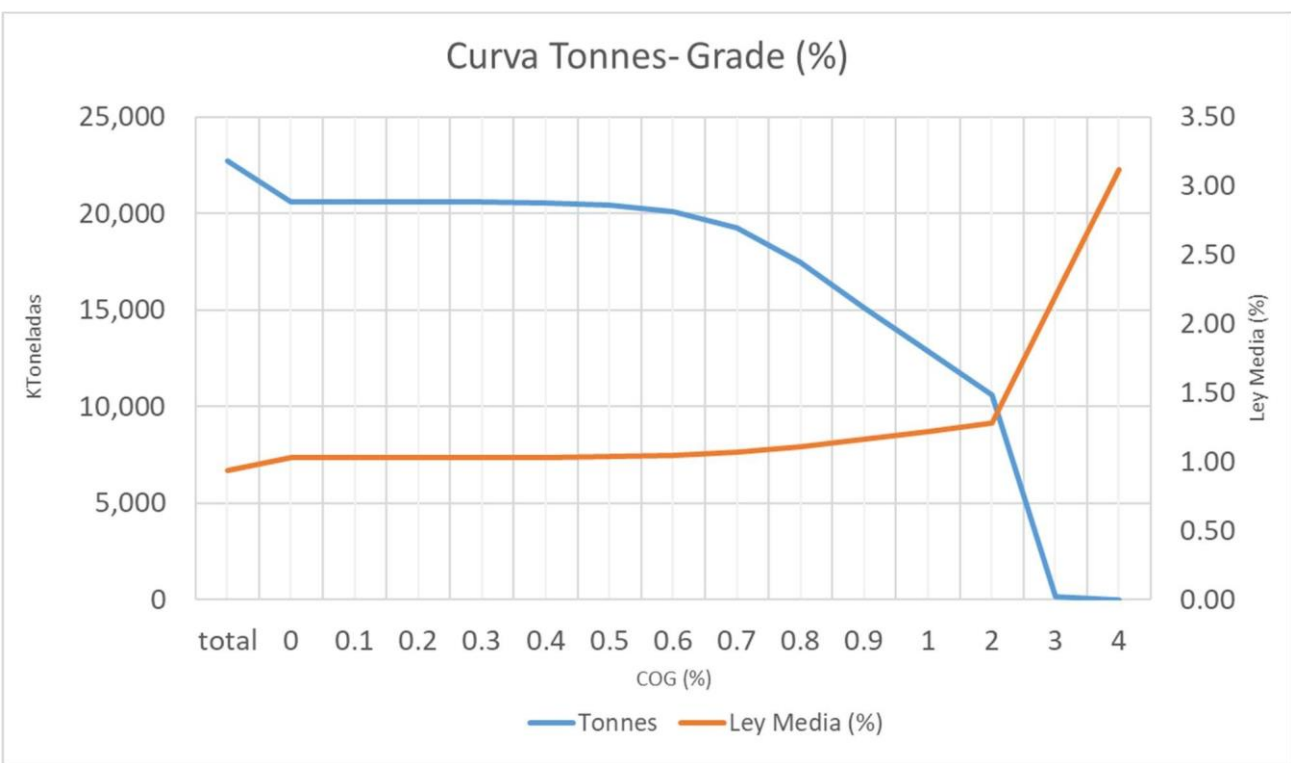


Figura 22. Curva tonnes – grade (Corrida N°2)

Corrida N°3

COG (%)	Tonnes	Ley Media (%)
total	22,811,316	0.93
0	20,668,581	1.03
0.1	20,668,581	1.03
0.2	20,668,581	1.03
0.3	20,668,271	1.03
0.4	20,634,226	1.03
0.5	20,514,845	1.04
0.6	20,154,376	1.05
0.7	19,341,952	1.07
0.8	17,549,222	1.11
0.9	15,188,734	1.17
1	12,906,436	1.22
2	10,580,078	1.28
3	118,864	2.20
4	465	3.12

Tabla 12. Curva tonnes – grade (Corrida N°3)

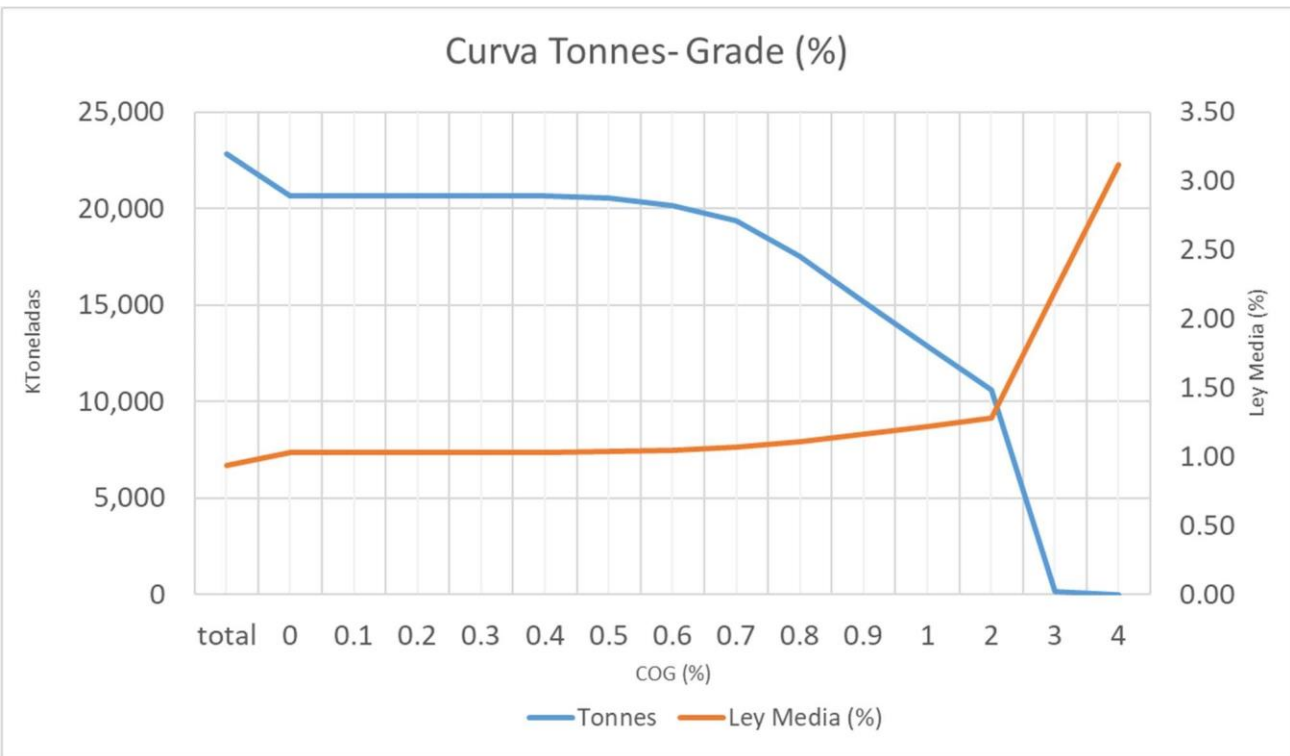


Figura 23. Curva tonnes – grade (Corrida N°3)

Corrida N°4

COG (%)	Tonnes	Ley Media (%)
total	23,828,184	0.92
0	21,479,030	1.02
0.1	21,479,030	1.02
0.2	21,479,030	1.02
0.3	21,478,720	1.02
0.4	21,436,499	1.02
0.5	21,296,154	1.03
0.6	20,891,576	1.04
0.7	19,813,716	1.06
0.8	17,895,697	1.11
0.9	15,443,006	1.16
1	13,107,220	1.22
2	10,720,128	1.28
3	118,873	2.20
4	465	3.12

Tabla 13. Tabla 13. Curva tonnes – grade (Corrida N°4)



Figura 24. Curva tonnes – grade (Corrida N°4)

Corrida N°5

COG (%)	Tonnes	Ley Media (%)
total	23,303,042	0.93
0	21,029,463	1.03
0.1	21,029,463	1.03
0.2	21,029,463	1.03
0.3	21,029,153	1.03
0.4	20,988,520	1.03
0.5	20,857,700	1.03
0.6	20,491,747	1.04
0.7	19,588,250	1.07
0.8	17,761,919	1.11
0.9	15,348,821	1.16
1	13,042,374	1.22
2	10,670,053	1.28
3	118,871	2.20
4	465	3.12

Tabla 14. Curva tonnes – grade (Corrida N°5)

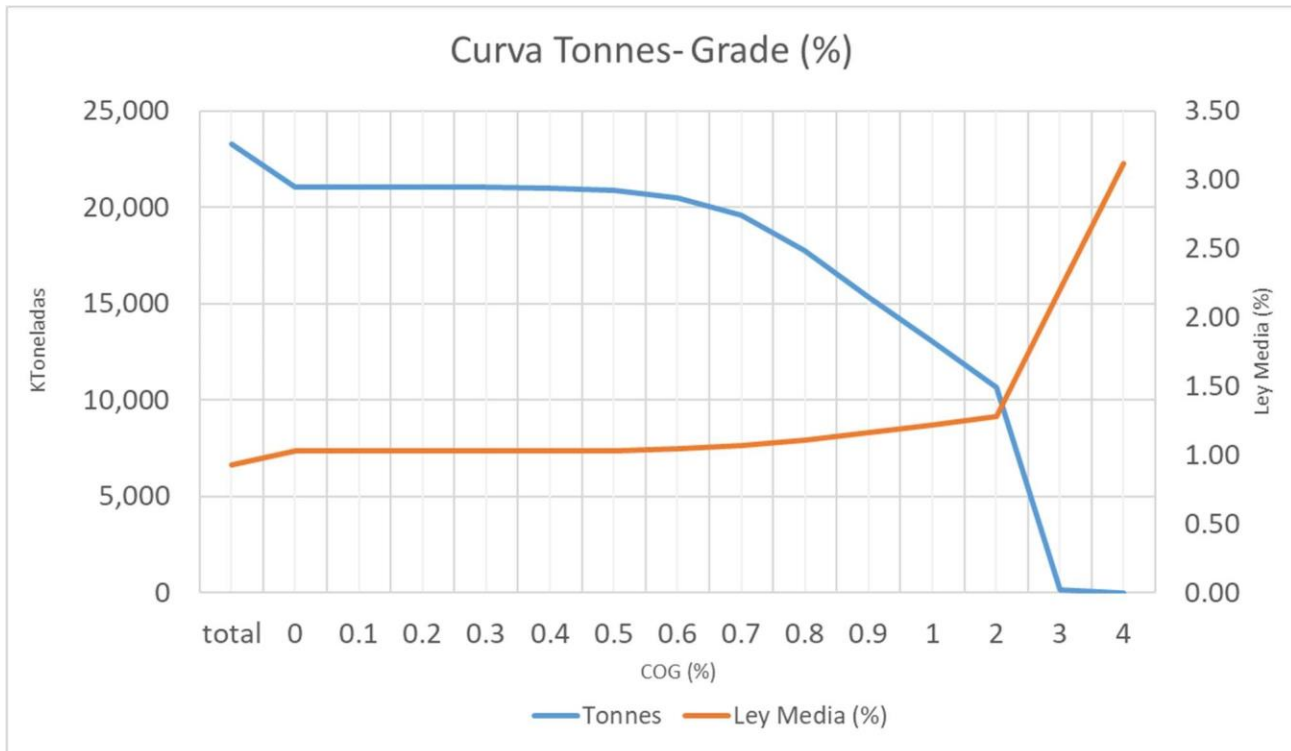


Figura 25. Curva tonnes – grade (Corrida N°5)

Corrida N°6

COG (%)	Tonnes	Ley Media (%)
total	24,193,990	0.92
0	21,806,111	1.02
0.1	21,806,111	1.02
0.2	21,806,111	1.02
0.3	21,805,801	1.02
0.4	21,759,799	1.02
0.5	21,605,709	1.02
0.6	21,167,543	1.03
0.7	19,954,482	1.06
0.8	17,958,193	1.11
0.9	15,496,579	1.16
1	13,142,896	1.22
2	10,745,191	1.28
3	118,873	2.20
4	465	3.12

Tabla 15. Curva tonnes – grade (Corrida N°6)

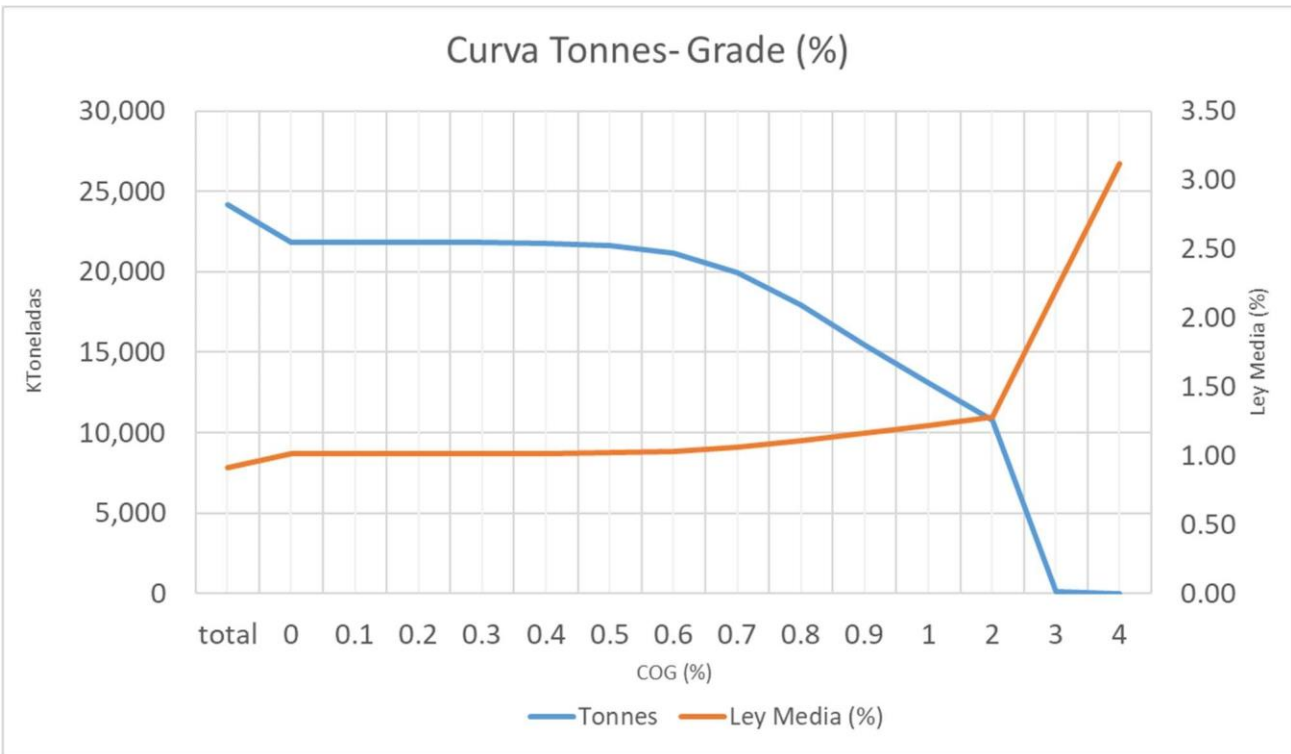


Figura 26. Curva tonnes – grade (Corrida N°6)

Corrida N°7

COG (%)	Tonnes	Ley Media (%)
total	22,980,859	0.93
0	20,793,488	1.03
0.1	20,793,488	1.03
0.2	20,793,488	1.03
0.3	20,793,178	1.03
0.4	20,753,100	1.03
0.5	20,624,823	1.04
0.6	20,262,282	1.05
0.7	19,434,994	1.07
0.8	17,642,818	1.11
0.9	15,239,038	1.16
1	12,983,055	1.22
2	10,626,936	1.28
3	118,957	2.20
4	465	3.12

Tabla 16. Curva tonnes – grade (Corrida N°7)

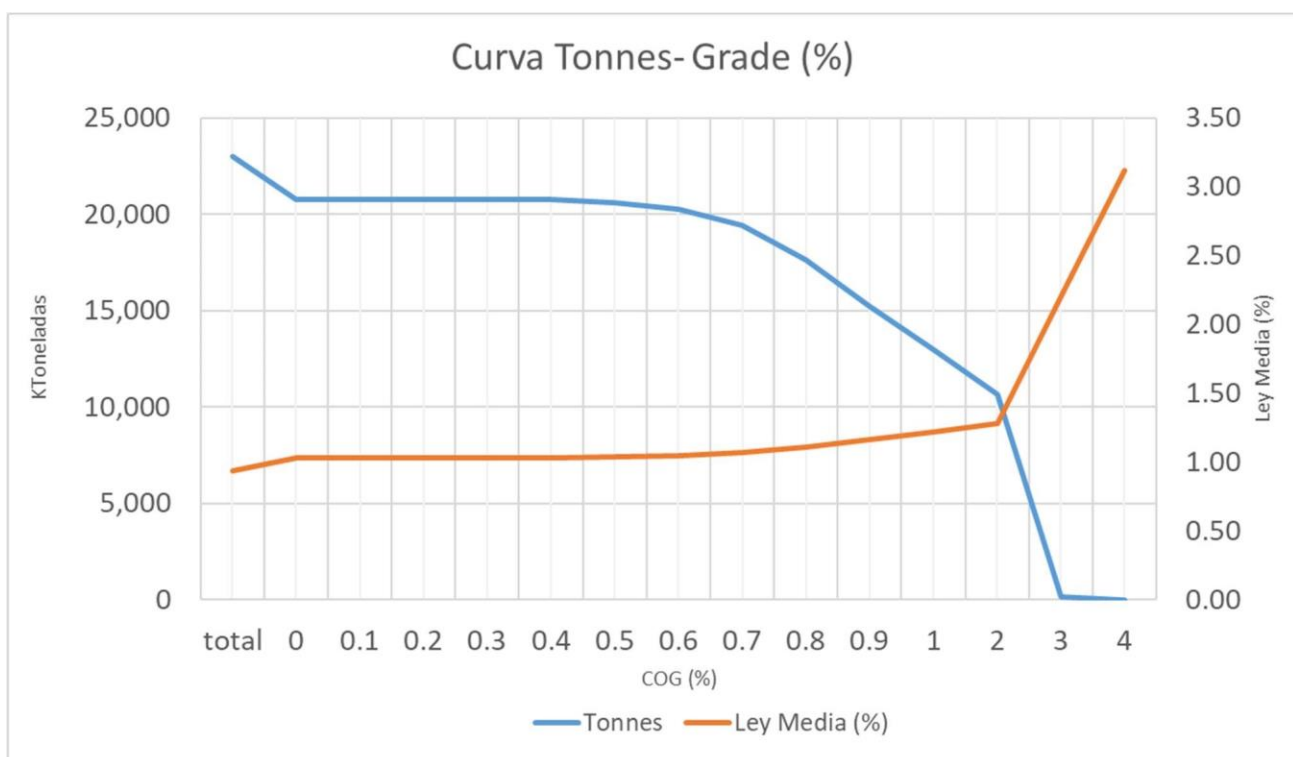


Figura 27. Curva tonnes – grade (Corrida N°7)

Corrida N°8

COG (%)	Tonnes	Ley Media (%)
total	24,950,100	0.91
0	22,370,286	1.01
0.1	22,370,286	1.01
0.2	22,370,286	1.01
0.3	22,369,976	1.01
0.4	22,322,773	1.01
0.5	22,155,512	1.02
0.6	21,683,183	1.03
0.7	20,323,631	1.06
0.8	18,242,698	1.11
0.9	15,711,034	1.16
1	13,296,158	1.22
2	10,856,911	1.28
3	118,875	2.20
4	465	3.12

Tabla 17. Curva tonnes – grade (Corrida N°8)

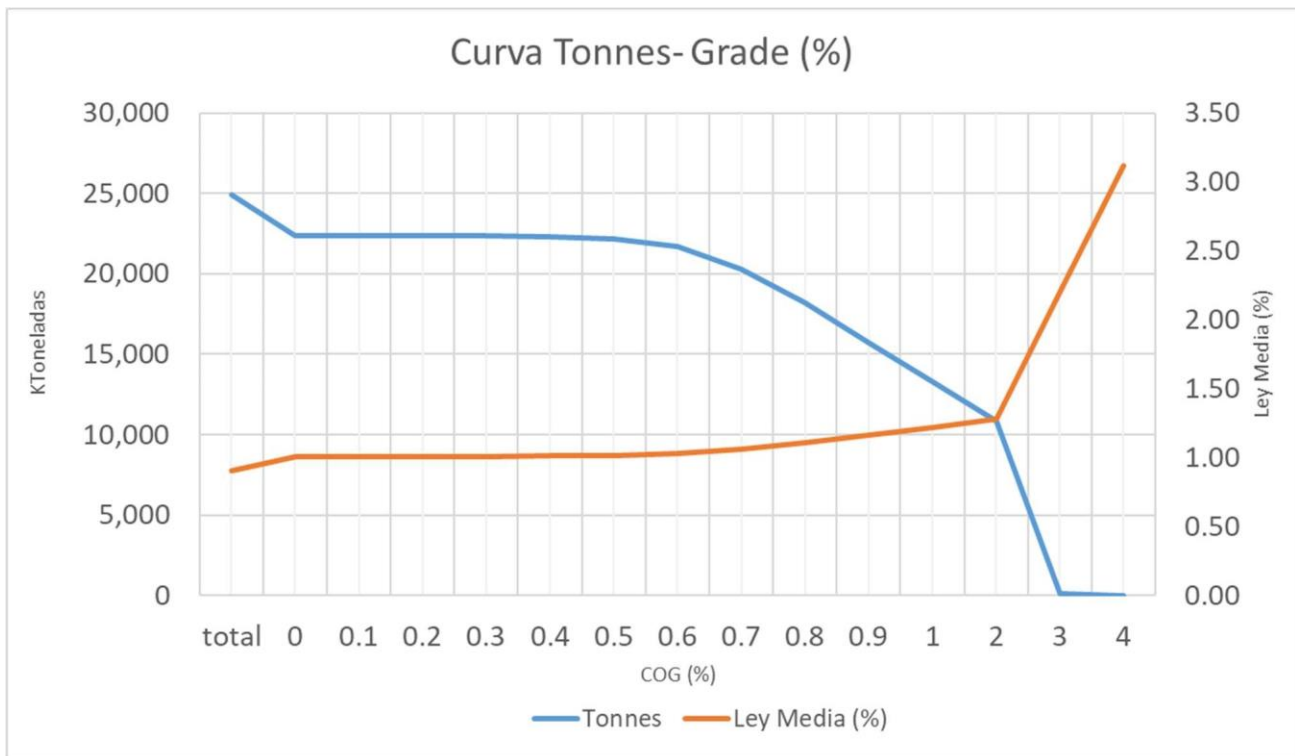


Figura 28. Curva tonnes – grade (Corrida N°8)

Corrida N°9

COG (%)	Tonnes	Ley Media (%)
total	24,817,716	0.91
0	22,281,760	1.01
0.1	22,281,760	1.01
0.2	22,281,760	1.01
0.3	22,281,450	1.01
0.4	22,232,628	1.01
0.5	22,072,381	1.02
0.6	21,604,575	1.03
0.7	20,252,499	1.06
0.8	18,177,224	1.11
0.9	15,648,600	1.16
1	13,260,101	1.22
2	10,845,268	1.28
3	118,881	2.20
4	465	3.12

Tabla 18. Curva tonnes – grade (Corrida N°9)

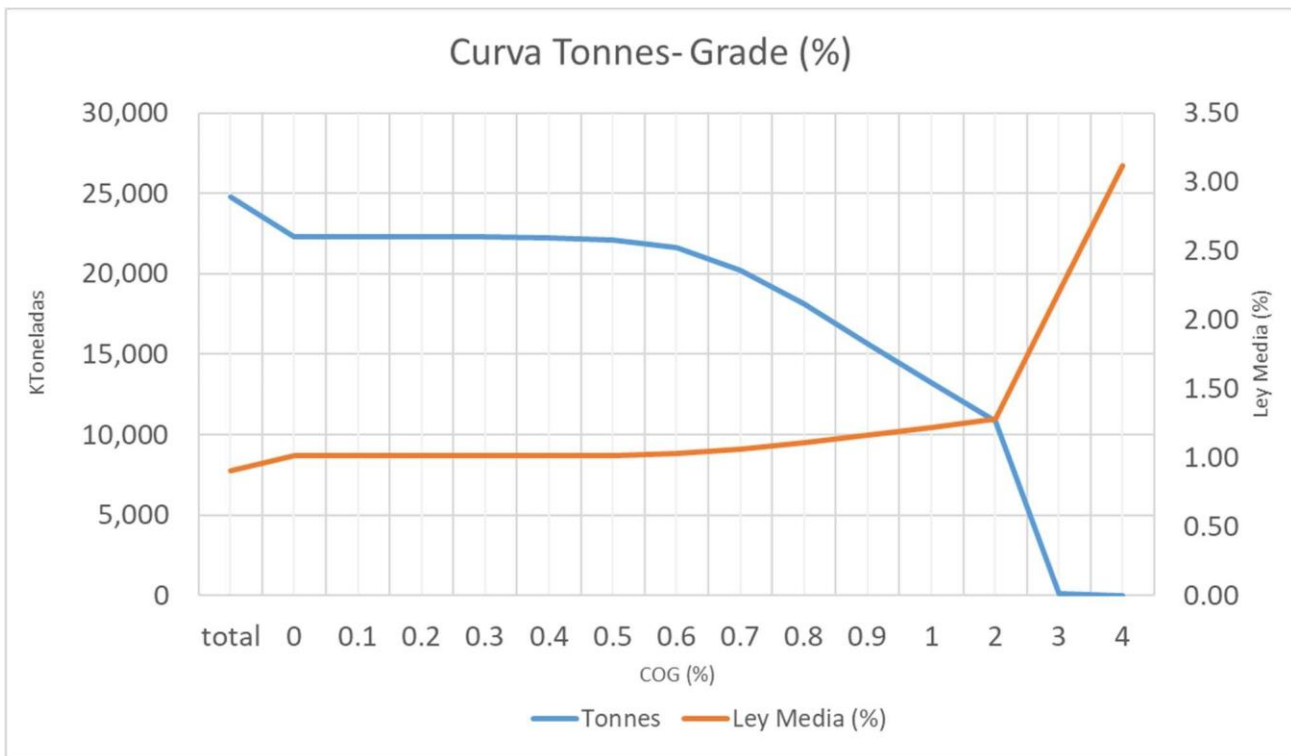


Figura 29. Curva tonnes – grade (Corrida N°9)

Corrida N°10

COG (%)	Tonnes	Ley Media (%)
total	22,853,816	0.93
0	20,697,565	1.03
0.1	20,697,565	1.03
0.2	20,697,565	1.03
0.3	20,697,255	1.03
0.4	20,663,073	1.03
0.5	20,541,362	1.04
0.6	20,180,884	1.05
0.7	19,367,747	1.07
0.8	17,574,200	1.11
0.9	15,209,072	1.16
1	12,922,378	1.22
2	10,586,503	1.28
3	118,864	2.20
4	465	3.12

Tabla 19. Curva tonnes – grade (Corrida N°10)

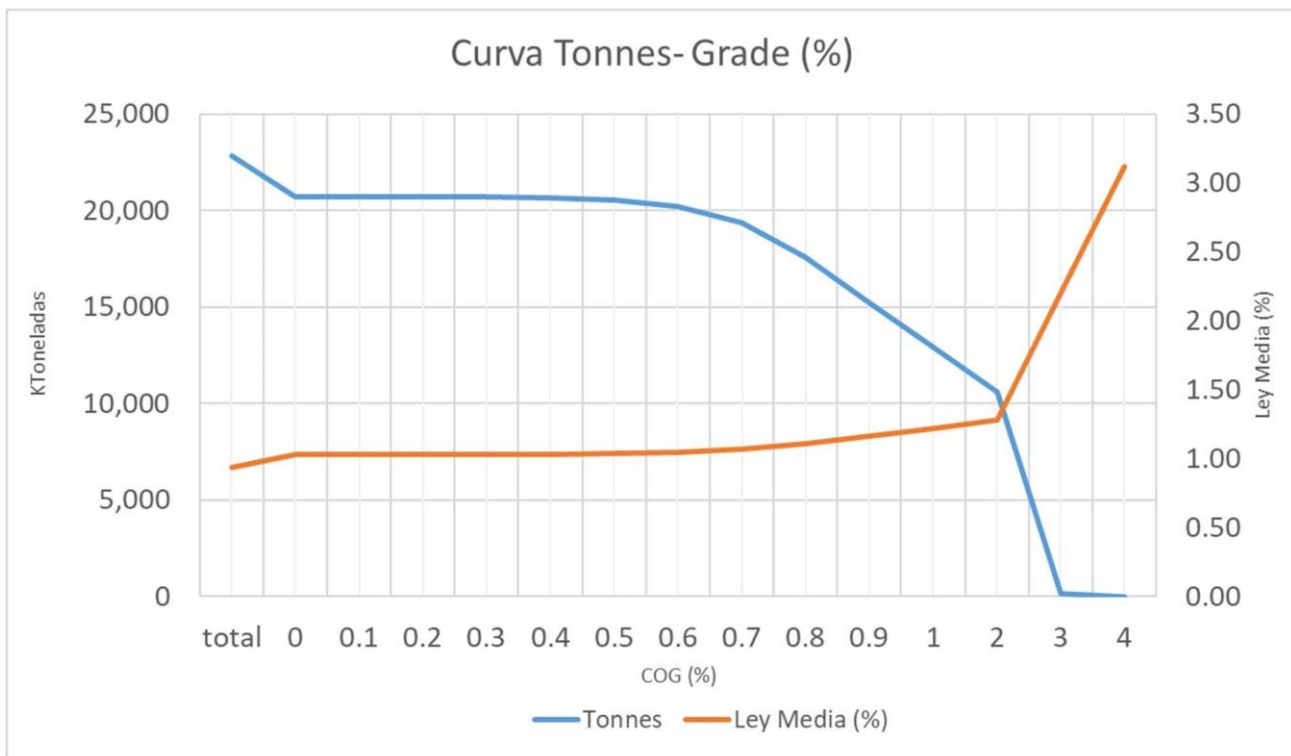


Figura 30. Curva tonnes – grade (Corrida N°10)

30	67.93763	64015.8 Stope_151	1	61143.86	189545.976	3.1	0.907013	94%	30.20%	96.60%	2.75	0.1	48.02	35	9.2	45.6	9.50%	61	1.72	100	2.82	43.48	8.11	36.04	44.15	379.1	3863	1464.4	7.73	1410.1
30	56.15991	64045.8 Stope_152	1	50543.92	156686.1392	3.1	0.911393	94%	30.20%	96.60%	2.75	0.1	48.25	35	9.2	45.6	9.50%	61	1.73	100	2.84	43.69	8.11	36.04	44.15	313.4	3863	1210.6	7.73	1198.6
30	64.14383	64075.8 Stope_153	1	57729.44	178961.2745	3.1	0.983986	94%	30.20%	96.60%	2.75	0.1	52.10	33	9.2	45.6	9.50%	61	1.87	100	3.06	47.16	8.11	36.04	44.15	357.9	3863	1382.7	7.73	1991.7
30	72.00486	64105.8 Stope_154	1	64804.37	200893.5521	3.1	1.073842	94%	30.20%	96.60%	2.75	0.1	56.85	30	9.2	45.6	9.50%	61	2.04	100	3.34	51.47	8.11	36.04	44.15	401.8	3863	1552.1	7.73	3101.0
30	79.73397	64135.8 Stope_155	1	71762.37	222463.3453	3.1	0.933065	94%	30.20%	96.60%	2.75	0.1	49.40	34	9.2	45.6	9.50%	61	1.77	100	2.90	44.72	8.11	36.04	44.15	444.9	3863	1718.8	7.73	1932.8
30	76.10403	64165.8 Stope_156	1	68493.63	212330.2484	3.1	0.835034	94%	30.20%	96.60%	2.75	0.1	44.21	38	9.2	45.6	9.50%	61	1.59	100	2.60	40.03	8.11	36.04	44.15	424.7	3863	1640.5	7.73	847.1
30	51.99558	64195.8 Stope_157	1	46796.02	145067.6623	3.1	0.683412	94%	30.20%	96.60%	2.75	0.1	36.18	47	9.2	45.6	9.50%	61	1.30	100	2.13	32.76	8.11	36.04	44.15	290.1	3863	1120.8	7.73	-475.6
30	39.9925	64225.8 Stope_158	1	35993.25	111579.0801	3.1	0.676888	94%	30.20%	96.60%	2.75	0.1	35.84	47	9.2	45.6	9.50%	61	1.29	100	2.11	32.45	8.11	36.04	44.15	223.2	3863	862.1	7.73	-400.7
30	32.0118	64225.8 Stope_159	1	28810.62	89312.93147	3.1	0.71545	94%	30.20%	96.60%	2.75	0.1	37.88	45	9.2	45.6	9.50%	61	1.36	101	2.25	34.27	9.11	36.04	45.15	178.6	3863	690.0	7.73	-157.6
30	47.99794	64255.8 Stope_160	1	43198.15	133.914	3.1	0.874235	94%	30.20%	96.60%	2.75	0.1	46.29	37	9.2	45.6	9.50%	61	1.66	102	2.78	41.85	10.11	36.04	46.15	267.8	3863	1034.6	7.73	778.6
30	30	64255.8 Stope_161	1	26730.03	82863.10493	3.1	0.616278	94%	30.20%	96.60%	2.75	0.1	32.63	52	9.2	45.6	9.50%	61	1.17	103	1.98	29.48	11.11	36.04	47.15	165.7	3863	640.2	7.73	-543.1
30	40.11484	64285.8 Stope_162	1	36103.36	111.920	3.1	1.087456	94%	30.20%	96.60%	2.75	0.1	57.57	30	9.2	45.6	9.50%	61	2.06	104	3.52	51.99	12.11	36.04	48.15	223.8	3863	864.7	7.73	1785.5
30	30	63925.8 Stope_163	1	26730.05	82863.23305	3.1	0.52613	94%	30.20%	96.60%	2.75	0.1	27.86	61	9.2	45.6	9.50%	61	1.00	105	1.72	25.14	13.11	36.04	49.15	165.7	3863	640.2	7.73	-903.1
30	31.85778	63955.8 Stope_164	1	28672.01	88883.21807	3.1	0.587188	94%	30.20%	96.60%	2.75	0.1	31.09	55	9.2	45.6	9.50%	61	1.11	106	1.94	28.04	14.11	36.04	50.15	177.8	3863	686.7	7.73	-711.1
30	31.99362	63985.8 Stope_165	1	28794.25	89262.188	3.1	0.673608	94%	30.20%	96.60%	2.75	0.1	35.66	48	9.2	45.6	9.50%	61	1.28	107	2.24	32.14	15.11	36.04	51.15	178.5	3863	689.6	7.73	-347.7
30	35.99261	64015.8 Stope_166	1	32393.35	100419.382	3.1	0.64229	94%	30.20%	96.60%	2.75	0.1	34.01	50	9.2	45.6	9.50%	61	1.22	108	2.16	30.63	16.11	36.04	52.15	200.8	3863	775.8	7.73	-543.2
30	43.99109	64045.8 Stope_167	1	39591.97	122735.1073	3.1	0.798006	94%	30.20%	96.60%	2.75	0.1	42.25	40	9.2	45.6	9.50%	61	1.52	109	2.71	38.03	17.11	36.04	53.15	245.5	3863	948.3	7.73	244.4
30	59.991	64075.8 Stope_168	1	53991.9	167374.9019	3.1	0.834471	94%	30.20%	96.60%	2.75	0.1	44.18	39	9.2	45.6	9.50%	61	1.58	110	2.86	39.74	18.11	36.04	54.15	334.7	3863	1293.1	7.73	619.7
30	63.99973	64105.8 Stope_169	1	57599.76	178559.2584	3.1	0.990156	94%	30.20%	96.60%	2.75	0.1	52.42	32	9.2	45.6	9.50%	61	1.88	111	3.42	47.12	19.11	36.04	55.15	357.1	3863	1379.5	7.73	1979.5
30	59.80006	64135.8 Stope_170	1	53820.05	166842.165	3.1	0.983177	94%	30.20%	96.60%	2.75	0.1	52.05	33	9.2	45.6	9.50%	61	1.87	112	3.43	46.76	20.11	36.04	56.15	333.7	3863	1289.0	7.73	1789.1
30	47.62893	64165.8 Stope_171	1	42866.03	132884.7077	3.1	0.859612	94%	30.20%	96.60%	2.75	0.1	45.51	37	9.2	45.6	9.50%	61	1.63	113	3.02	40.86	21.11	36.04	57.15	265.8	3863	1026.7	7.73	640.5
30	51.9779	64195.8 Stope_172	1	46780.11	145018.3497	3.1	0.636607	94%	30.20%	96.60%	2.75	0.1	33.70	50	9.2	45.6	9.50%	61	1.21	114	2.26	30.24	22.11	36.04	58.15	290.0	3863	1120.4	7.73	-841.0
30	36.25635	64225.8 Stope_173	1	32630.72	101155.2201	3.1	0.693394	94%	30.20%	96.60%	2.75	0.1	36.71	46	9.2	45.6	9.50%	61	1.32	115	2.48	32.91	23.11	36.04	59.15	202.3	3863	781.5	7.73	-316.0
30	30.63843	64255.8 Stope_174	1	27574.59	85481.21704	3.1	0.64159	94%	30.20%	96.60%	2.75	0.1	33.97	50	9.2	45.6	9.50%	61	1.22	116	2.32	30.43	24.11	36.04	60.15	171.0	3863	660.4	7.73	-478.9
30	31.99339	64105.8 Stope_175	1	28794.05	89261.54797	3.1	0.68091	94%	30.20%	96.60%	2.75	0.1	36.05	47	9.2	45.6	9.50%	61	1.29	117	2.48	32.28	25.11	36.04	61.15	178.5	3863	689.6	7.73	-335.5
30	31.93225	64135.8 Stope_176	1	28739.02	89090.96625	3.1	0.633546	94%	30.20%	96.60%	2.75	0.1	34.60	49	9.2	45.6	9.50%	61	1.24	118	2.40	30.96	26.11	36.04	62.15	178.2	3863	688.3	7.73	-452.2

53,214.03

3,863.00

205,565.80

162,261.42

Tabla 20. Planilla evaluación económica (Caso Base)

30	30	63955.8 Stope_151	1	26964.52	82878.726	3.073621	0.605728	94%	30.20%	96.60%	2.75	0.1	32.07	53	9.2	45.6	9.50%	61	1.15	100	1.89	29.03	8.11	36.04	44.15	165.8	3863	640.3	7.73	-580.3
30	31.99312	63985.8 Stope_152	1	28793.81	88693.523	3.080299	0.677918	94%	30.20%	96.60%	2.75	0.1	35.89	47	9.2	45.6	9.50%	61	1.29	100	2.11	32.49	8.11	36.04	44.15	177.4	3863	685.2	7.73	-314.1
30	31.99446	64015.8 Stope_153	1	28795.01	88778.59	3.083124	0.663627	94%	30.20%	96.60%	2.75	0.1	35.13	48	9.2	45.6	9.50%	61	1.26	100	2.07	31.81	8.11	36.04	44.15	177.6	3863	685.9	7.73	-375.2
30	39.994	64045.8 Stope_154	1	35994.6	110967.7	3.082898	0.832232	94%	30.20%	96.60%	2.75	0.1	44.06	39	9.2	45.6	9.50%	61	1.58	100	2.59	39.89	8.11	36.04	44.15	221.9	3863	857.3	7.73	427.8
30	55.9934	64075.8 Stope_155	1	50394.06	155287.7	3.081468	0.86186	94%	30.20%	96.60%	2.75	0.1	45.63	37	9.2	45.6	9.50%	61	1.64	100	2.68	41.31	8.11	36.04	44.15	310.6	3863	1199.8	7.73	819.2
30	60.00238	64105.8 Stope_156	1	54002.12	166843.74	3.089578	1.022507	94%	30.20%	96.60%	2.75	0.1	54.14	31	9.2	45.6	9.50%	61	1.94	100	3.18	49.01	8.11	36.04	44.15	333.7	3863	1289.0	7.73	2164.9
30	52.05793	64135.8 Stope_157	1	46852.15	144970.4	3.094211	1.055822	94%	30.20%	96.60%	2.75	0.1	55.90	30	9.2	45.6	9.50%	61	2.00	100	3.29	50.61	8.11	36.04	44.15	289.9	3863	1120.0	7.73	2112.6
30	36.31603	64165.8 Stope_158	1	32684.42	101128.97	3.094103	0.961156	94%	30.20%	96.60%	2.75	0.1	50.89	33	9.2	45.6	9.50%	61	1.82	100	2.99	46.07	8.11	36.04	44.15	202.3	3863	781.3	7.73	1014.8
30	48.01541	64195.8 Stope_159	1	43213.86	13376.76	3.095968	0.644635	94%	30.20%	96.60%	2.75	0.1	34.13	50	9.2	45.6	9.50%	61	1.22	100	2.01	30.90	8.11	36.04	44.15	267.6	3863	1033.7	7.73	-687.3
30	36.23218	64225.8 Stope_160	1	32608.96	101059.24	3.099125	0.693705	94%	30.20%	96.60%	2.75	0.1	36.73	46	9.2	45.6	9.50%	61	1.32	100	2.16	33.25	8.11	36.04	44.15	202.1	3863	780.8	7.73	-281.4
30	30	64255.8 Stope_161	1	26730.03	82618.513	3.09085	0.651091	94%	30.20%	96.60%	2.75	0.1	34.47	49	9.2	45.6	9.50%	61	1.24	100	2.03	31.21	8.11	36.04	44.15	165.2	3863	638.3	7.73	-398.8
30	31.99292	64105.8 Stope_162	1	28793.63	88443.42	3.071631	0.687201	94%	30.20%	96.60%	2.75	0.1	36.38	47	9.2	45.6	9.50%	61	1.30	100	2.14	32.94	8.11	36.04	44.15	176.9	3863	683.3	7.73	-273.9
30	31.85781	64135.8 Stope_163	1	28672.03	87601.53	3.055296	0.663394	94%	30.20%	96.60%	2.75	0.1	35.12	48	9.2	45.6	9.50%	61	1.26	100	2.06	31.80	8.11	36.04	44.15	175.2	3863	676.8	7.73	-371.2
				23,828,184		0.920268																					47,656	3,863	184,097	192,408

Tabla 24. Planilla evaluación económica (Corrida N°4)

30	31.99444	64015.8 Stope_151		1	28795	88778.54	3.083124	0.663627	94%	30.20%	96.60%	2.75	0.1	35.13	48	9.2	45.6	9.50%	61	1.26	100	2.07	31.81	8.11	36.04	44.15	177.6	3863	685.9	7.73	-375.2
30	39.99415	64045.8 Stope_152		1	35994.74	110968.12	3.082898	0.832231	94%	30.20%	96.60%	2.75	0.1	44.06	39	9.2	45.6	9.50%	61	1.58	100	2.59	39.89	8.11	36.04	44.15	221.9	3863	857.3	7.73	427.8
30	51.99343	64075.8 Stope_153		1	46794.09	144334.55	3.084461	0.882176	94%	30.20%	96.60%	2.75	0.1	46.71	36	9.2	45.6	9.50%	61	1.67	100	2.75	42.29	8.11	36.04	44.15	288.7	3863	1115.1	7.73	901.9
30	60.001	64105.8 Stope_154		1	54000.9	166840.03	3.089579	1.022519	94%	30.20%	96.60%	2.75	0.1	54.14	31	9.2	45.6	9.50%	61	1.94	100	3.18	49.01	8.11	36.04	44.15	333.7	3863	1289.0	7.73	2164.9
30	51.99316	64135.8 Stope_155		1	46793.84	144791.24	3.094237	1.056417	94%	30.20%	96.60%	2.75	0.1	55.93	30	9.2	45.6	9.50%	61	2.01	100	3.29	50.64	8.11	36.04	44.15	289.6	3863	1118.7	7.73	2114.1
30	35.99	64165.8 Stope_156		1	32391	10025.37	3.094235	0.964154	94%	30.20%	96.60%	2.75	0.1	51.05	33	9.2	45.6	9.50%	61	1.83	100	3.00	46.21	8.11	36.04	44.15	200.5	3863	774.3	7.73	1020.1
30	48.00131	64195.8 Stope_157		1	43201.18	133749.64	3.095972	0.644619	94%	30.20%	96.60%	2.75	0.1	34.13	50	9.2	45.6	9.50%	61	1.22	100	2.01	30.90	8.11	36.04	44.15	267.5	3863	1033.3	7.73	-687.2
30	36.10358	64225.8 Stope_158		1	32493.23	100700.99	3.099138	0.693948	94%	30.20%	96.60%	2.75	0.1	36.74	46	9.2	45.6	9.50%	61	1.32	100	2.16	33.26	8.11	36.04	44.15	201.4	3863	778.0	7.73	-279.3
30	30	64255.8 Stope_159		1	26730.04	82618.736	3.090857	0.651541	94%	30.20%	96.60%	2.75	0.1	34.50	49	9.2	45.6	9.50%	61	1.24	100	2.03	31.23	8.11	36.04	44.15	165.2	3863	638.3	7.73	-397.1
30	31.99284	64105.8 Stope_160		1	28793.55	88443.176	3.071631	0.687201	94%	30.20%	96.60%	2.75	0.1	36.38	47	9.2	45.6	9.50%	61	1.30	100	2.14	32.94	8.11	36.04	44.15	176.9	3863	683.3	7.73	-273.9
30	31.85781	64135.8 Stope_161		1	28672.03	87601.531	3.055296	0.663394	94%	30.20%	96.60%	2.75	0.1	35.12	48	9.2	45.6	9.50%	61	1.26	100	2.06	31.80	8.11	36.04	44.15	175.2	3863	676.8	7.73	-371.2
						23,303,042		0.927297																		46,606	3,863	180,039		196,020	

Tabla 25. Planilla evaluación económica (Corrida N°5)

Corrida N°8

SWIDTH	SAVGT	WALLID	STOPE	GUID	COLOR	Volume	Tonnes	Density	TCu	Recovery	Concentrate	Payable	Price	Refining Cost	Sales	K	Mill to Port	Port to Smelter	Moisture	Freight	Freight (\$/tonne)	TC	TC (\$/tonne)	NSR (\$/tonne)	Process Cost	Mining Cost	total Cost	Mts Dellos	Costos Dellos (\$/Mts)	K\$	\$/tonnes	Cash Flow (K\$)
30	92.01296	G3625.8	Stope_1	1	28211.67	255197.69	3.081663	0.833343	94%	30.20%	96.60%	2.75	0.1	44.12	39	9.2	45.6	9.50%	61	1.58	100	2.59	39.94	8.11	36.04	44.15	510.4	3863	1971.7	7.73	997.4	
30	88.0008	G3655.8	Stope_2	1	79200.72	243738.27	3.077475	0.926352	94%	30.20%	96.60%	2.75	0.1	49.04	35	9.2	45.6	9.50%	61	1.76	100	2.88	44.40	8.11	36.04	44.15	487.5	3863	1883.1	7.73	2039.2	
30	35.99925	G3595.8	Stope_3	1	32399.33	99863.791	3.08228	0.870312	94%	30.20%	96.60%	2.75	0.1	46.08	37	9.2	45.6	9.50%	61	1.65	100	2.71	41.72	8.11	36.04	44.15	199.7	3863	771.5	7.73	567.3	
30	47.99296	G3625.8	Stope_4	1	43193.66	132784.42	3.074165	0.967666	94%	30.20%	96.60%	2.75	0.1	51.23	33	9.2	45.6	9.50%	61	1.84	100	3.01	46.38	8.11	36.04	44.15	265.6	3863	1025.9	7.73	1373.9	
30	35.9953	G3625.8	Stope_5	1	32395.81	99886.9	3.083327	0.775386	94%	30.20%	96.60%	2.75	0.1	41.05	41	9.2	45.6	9.50%	61	1.47	100	2.41	37.17	8.11	36.04	44.15	199.8	3863	771.7	7.73	112.9	
30	52.00095	G3655.8	Stope_6	1	46800.85	143574.57	3.067777	0.939609	94%	30.20%	96.60%	2.75	0.1	49.75	34	9.2	45.6	9.50%	61	1.78	100	2.92	45.04	8.11	36.04	44.15	287.1	3863	1109.3	7.73	1292.4	
30	43.9855	G3685.8	Stope_7	1	39586.95	122137.23	3.08529	0.835205	94%	30.20%	96.60%	2.75	0.1	44.22	38	9.2	45.6	9.50%	61	1.59	100	2.60	40.03	8.11	36.04	44.15	244.3	3863	943.6	7.73	488.3	
30	31.98832	G3595.8	Stope_8	1	28789.49	88435.25	3.07179	0.71976	94%	30.20%	96.60%	2.75	0.1	38.11	45	9.2	45.6	9.50%	61	1.37	100	2.24	34.50	8.11	36.04	44.15	176.9	3863	683.3	7.73	-135.8	
30	59.9941	G3625.8	Stope_9	1	53994.69	167122.56	3.095166	0.932876	94%	30.20%	96.60%	2.75	0.1	49.39	34	9.2	45.6	9.50%	61	1.77	100	2.90	44.72	8.11	36.04	44.15	334.2	3863	1291.2	7.73	1450.5	
30	59.9969	G3655.8	Stope_10	1	53999.66	167195.61	3.096234	0.973276	94%	30.20%	96.60%	2.75	0.1	51.53	33	9.2	45.6	9.50%	61	1.85	100	3.03	46.65	8.11	36.04	44.15	334.4	3863	1291.8	7.73	1774.9	
30	31.9817	G3685.8	Stope_11	1	28788.3	88402.37	3.070107	0.810518	94%	30.20%	96.60%	2.75	0.1	42.91	40	9.2	45.6	9.50%	61	1.54	100	2.52	38.85	8.11	36.04	44.15	176.8	3863	683.1	7.73	248.8	
30	39.9991	G3595.8	Stope_12	1	35999.92	111269.29	3.09082	0.912983	94%	30.20%	96.60%	2.75	0.1	48.34	35	9.2	45.6	9.50%	61	1.73	100	2.84	43.76	8.11	36.04	44.15	222.5	3863	859.7	7.73	859.6	
30	76.01533	G3625.8	Stope_13	1	68413.8	211819.9	3.096155	0.969014	94%	30.20%	96.60%	2.75	0.1	50.87	33	9.2	45.6	9.50%	61	1.82	100	2.99	46.06	8.11	36.04	44.15	423.6	3863	1636.5	7.73	2123.1	
30	71.99349	G3655.8	Stope_14	1	64794.14	200649.41	3.096721	0.980194	94%	30.20%	96.60%	2.75	0.1	51.90	33	9.2	45.6	9.50%	61	1.86	100	3.05	46.98	8.11	36.04	44.15	401.3	3863	1550.2	7.73	2196.6	
30	48.00575	G3685.8	Stope_15	1	43205.18	133517.82	3.09032	1.023897	94%	30.20%	96.60%	2.75	0.1	54.21	31	9.2	45.6	9.50%	61	1.94	100	3.19	49.08	8.11	36.04	44.15	267.0	3863	1031.6	7.73	1741.3	
30	36.04049	G3565.8	Stope_16	1	32436.72	100021.81	3.086712	0.780703	94%	30.20%	96.60%	2.75	0.1	41.33	41	9.2	45.6	9.50%	61	1.48	100	2.43	37.42	8.11	36.04	44.15	200.2	3863	773.5	7.73	138.7	
30	52.0367	G3595.8	Stope_17	1	46803.31	144869.73	3.095288	0.98284	94%	30.20%	96.60%	2.75	0.1	49.67	34	9.2	45.6	9.50%	61	1.78	100	2.92	44.97	8.11	36.04	44.15	289.7	3863	1119.3	7.73	1294.6	
30	80.00687	G3625.8	Stope_18	1	72006.18	223052.38	3.097696	0.982857	94%	30.20%	96.60%	2.75	0.1	52.04	33	9.2	45.6	9.50%	61	1.87	100	3.06	47.11	8.11	36.04	44.15	446.1	3863	1723.3	7.73	2470.3	
30	80.21977	G3655.8	Stope_19	1	72178.9	232628.8	3.097438	0.120506	94%	30.20%	96.60%	2.75	0.1	54.45	31	9.2	45.6	9.50%	61	1.95	100	3.20	49.30	8.11	36.04	44.15	447.3	3863	1727.8	7.73	2066.0	
30	59.99363	G3685.8	Stope_20	1	53994.27	167011.07	3.093126	0.698226	94%	30.20%	96.60%	2.75	0.1	56.61	30	9.2	45.6	9.50%	61	2.03	100	3.33	51.25	8.11	36.04	44.15	334.0	3863	1290.3	7.73	2541.0	
30	31.77203	G3715.8	Stope_21	1	28554.33	87374.487	3.059938	0.706545	94%	30.20%	96.60%	2.75	0.1	37.41	45	9.2	45.6	9.50%	61	1.34	100	2.20	33.87	8.11	36.04	44.15	174.7	3863	675.1	7.73	-186.6	
30	59.99032	G3535.8	Stope_22	1	53991.29	166727.67	3.068840	0.733011	94%	30.20%	96.60%	2.75	0.1	38.81	44	9.2	45.6	9.50%	61	1.39	100	2.28	35.14	8.11	36.04	44.15	333.5	3863	1288.1	7.73	-150.2	
30	79.99331	G3565.8	Stope_23	1	71993.98	222956.65	3.090559	0.798037	94%	30.20%	96.60%	2.75	0.1	42.25	40	9.2	45.6	9.50%	61	1.52	100	2.48	38.25	8.11	36.04	44.15	445.0	3863	1719.0	7.73	493.1	
30	68.00322	G3595.8	Stope_24	1	61202.09	189272.41	3.092581	0.93232	94%	30.20%	96.60%	2.75	0.1	49.36	34	9.2	45.6	9.50%	61	1.77	100	2.90	44.69	8.11	36.04	44.15	378.5	3863	1462.3	7.73	1637.7	
30	68.00411	G3625.8	Stope_25	1	61203.7	167527.45	3.096667	0.133355	94%	30.20%	96.60%	2.75	0.1	54.71	31	9.2	45.6	9.50%	61	1.96	100	3.22	49.53	8.11	36.04	44.15	379.1	3863	1464.3	7.73	2557.8	
30	63.99102	G3655.8	Stope_26	1	57591.97	178278.22	3.095539	0.651679	94%	30.20%	96.60%	2.75	0.1	56.09	30	9.2	45.6	9.50%	61	2.01	100	3.30	50.78	8.11	36.04	44.15	356.6	3863	1377.4	7.73	2629.1	
30	55.87188	G3685.8	Stope_27	1	50284.65	155415.89	3.090715	0.165412	94%	30.20%	96.60%	2.75	0.1	56.61	30	9.2	45.6	9.50%	61	2.02	100	3.32	51.07	8.11	36.04	44.15	310.8	3863	1200.7	7.73	2336.2	
30	31.35859	G3895.8	Stope_28	1	28427.03	87622.88	3.082358	0.621809	94%	30.20%	96.60%	2.75	0.1	32.92	52	9.2	45.6	9.50%	61	1.18	100	1.94	29.80	8.11	36.04	44.15	175.2	3863	677.0	7.73	-546.0	
30	31.398915	G3925.8	Stope_29	1	28790.23	89077.741	3.094026	0.651679	94%	30.20%	96.60%	2.75	0.1	34.50	49	9.2	45.6	9.50%	61	1.24	100	2.03	31.24	8.11	36.04	44.15	178.2	3863	688.2	7.73	-427.5	
30	32.00498	G3955.8	Stope_30	1	28804.03	89114.74	3.093788	0.662635	94%	30.20%	96.60%	2.75	0.1	35.08	48	9.2	45.6	9.50%	61	1.26	100	2.06	31.76	8.11	36.04	44.15	178.2	3863	688.5	7.73	-380.9	
30	35.99039	G3985.8	Stope_31	1	32391.34	100100.22	3.090339	0.697655	94%	30.20%	96.60%	2.75	0.1	36.94	46	9.2	45.6	9.50%	61	1.32	100	2.17	33.44	8.11	36.04	44.15	200.2	3863	773.4	7.73	-259.8	
30	31.99727	G4015.8	Stope_32	1	28797.54	88783.914	3.086163	0.735711	94%	30.20%	96.60%	2.75	0.1	38.95	44	9.2	45.6	9.50%	61	1.40	100	2.29	35.26	8.11	36.04	44.15	177.7	3863	686.6	7.73	-68.6	
30	35.9925	G4045.8	Stope_33	1	32393.25	99705.60	3.079794	0.70364	94%	30.20%	96.60%	2.75	0.1	37.08	46	9.2	45.6	9.50%	61	1.33	100	2.18	33.57	8.11	36.04	44.15	199.4	3863	770.3	7.73	-245.8	
30	31.72734	G4075.8	Stope_34	1	28553.17	87614.02	3.068455	0.711154	94%	30.20%	96.60%	2.75	0.1	37.65	45	9.2	45.6	9.50%	61	1.35	100	2.21	34.09	8.11	36.04	44.15	175.2	3863	676.9	7.73	-170.7	
30	31.99099	G3505.8	Stope_3																													

30	55.99151	G3835.8.Stope_91	50935.6	154918.835	3.072941	0.67008184	94%	30.20%	96.60%	2.750	0.1	51.38	33	9.2	45.6	9.50%	61	1.84	100	3.01	46.51	8.11	36.04	44.15	309.7	366	1195.3	7.73	1022.6
30	67.99054	G3835.8.Stope_93	61191.3	18803.7141	3.080895	0.564340816	94%	30.20%	96.60%	2.750	0.1	51.06	33	9.2	45.6	9.50%	61	1.83	100	3.00	46.22	8.11	36.04	44.15	378.1	366	1190.4	7.73	1925.7
30	87.9904	G3835.8.Stope_94	79191.36	348904.028	3.0793307	0.51538307	94%	30.20%	96.60%	2.750	0.1	48.46	35	9.2	45.6	9.50%	61	1.74	100	2.85	43.88	8.11	36.04	44.15	488.8	366	1182.1	7.73	1500.2
30	91.99895	G3835.8.Stope_95	82799.06	256502.893	3.079896	1.008459301	94%	30.20%	96.60%	2.750	0.1	53.39	32	9.2	45.6	9.50%	61	1.91	100	3.14	48.34	8.11	36.04	44.15	513.0	366	1181.7	7.73	3155.4
30	63.99474	G3835.8.Stope_96	57595.27	178442.183	3.05887388	94%	30.20%	96.60%	2.750	0.1	66.64	26	9.2	45.6	9.50%	61	2.39	100	3.92	60.33	8.11	36.04	44.15	356.9	366	1178.6	7.73	4335.5	
30	45.9916	G4015.8.Stope_97	41392.47	128316.6475	3.01	0.178702003	94%	30.20%	96.60%	2.750	0.1	38.05	45	9.2	45.6	9.50%	61	1.36	100	2.24	34.45	8.11	36.04	44.15	256.6	366	991.4	7.73	-203.6
30	65.88995	G4015.8.Stope_98	59390.96	18494.5694	3.009707	0.95206289	94%	30.20%	96.60%	2.750	0.1	52.52	32	9.2	45.6	9.50%	61	1.88	100	3.09	47.55	8.11	36.04	44.15	368.2	366	1142.3	7.73	2119.6
30	70.99054	G4015.8.Stope_99	79190.81	245458.758	3.009708	0.95206299	94%	30.20%	96.60%	2.750	0.1	48.40	35	9.2	45.6	9.50%	61	1.74	100	2.85	43.82	8.11	36.04	44.15	401.0	366	1185.3	7.73	1911.2
30	84.99062	G4015.8.Stope_100	70508.11	205421.895	3.00970847	0.95206309	94%	30.20%	96.60%	2.750	0.1	52.52	32	9.2	45.6	9.50%	61	1.80	100	3.11	47.91	8.11	36.04	44.15	491.1	366	1189.7	7.73	2025.6
30	100.1378	G4135.8.Stope_101	90124.03	157070.2963	3.07133557	94%	30.20%	96.60%	2.750	0.1	51.43	33	9.2	45.6	9.50%	61	1.84	100	3.03	46.56	8.11	36.04	44.15	558.7	366	2158.4	7.73	2939.7	
30	33.89956	G4135.8.Stope_102	30590.61	94893.1245	3.09926	0.633042211	94%	30.20%	96.60%	2.750	0.1	33.52	51	9.2	45.6	9.50%	61	1.20	100	1.97	30.34	8.11	36.04	44.15	188.6	366	732.5	7.73	-539.7
30	77.99015	G4135.8.Stope_103	70191.13	217236.4986	1.00625738	94%	30.20%	96.60%	2.750	0.1	53.27	32	9.2	45.6	9.50%	61	1.91	100	3.13	48.23	8.11	36.04	44.15	434.5	366	1678.4	7.73	2649.2	
30	91.9993	G4135.8.Stope_104	87799.41	256533.152	3.096706	0.78635861	94%	30.20%	96.60%	2.750	0.1	41.63	41	9.2	45.6	9.50%	61	1.49	100	2.45	37.69	8.11	36.04	44.15	1980.6	366	1180.6	7.73	424.6
30	32.00438	G4135.8.Stope_105	80863.349	32912.5	0.565543573	94%	30.20%	96.60%	2.750	0.1	34.71	49	9.2	45.6	9.50%	61	1.24	100	2.04	31.42	8.11	36.04	44.15	178.1	366	688.1	7.73	-411.0	
30	77.99015	G4135.8.Stope_106	32398.43	122105.463	3.0178179	0.625054805	94%	30.20%	96.60%	2.750	0.1	38.01	47	9.2	45.6	9.50%	61	1.50	100	2.12	32.62	8.11	36.04	44.15	200.2	366	773.3	7.73	-342.2
30	87.99017	G4135.8.Stope_107	50177.63	154705.811	3.0178179	0.625054805	94%	30.20%	96.60%	2.750	0.1	38.01	47	9.2	45.6	9.50%	61	1.75	100	2.07	44.77	8.11	36.04	44.15	305.3	366	1180.3	7.73	1035.2
30	55.73705	G4135.8.Stope_108	50177.75	151584.6945	3.032699	1.070018155	94%	30.20%	96.60%	2.750	0.1	56.66	30	9.2	45.6	9.50%	61	2.03	100	3.33	51.30	8.11	36.04	44.15	310.4	366	1199.0	7.73	238.5
30	40.0040	G4135.8.Stope_109	36003.68	110913.0001	3.077824	1.22448965	94%	30.20%	96.60%	2.750	0.1	64.72	26	9.2	45.6	9.50%	61	2.22	100	3.80	58.60	8.11	36.04	44.15	221.6	366	856.1	7.73	2499.8
30	31.50068	G3555.8.Stope_110	28406.41	98678.5159	3.0586	0.620419685	94%	30.20%	96.60%	2.750	0.1	32.85	52	9.2	45.6	9.50%	61	1.18	100	1.93	29.74	8.11	36.04	44.15	173.8	366	671.2	7.73	-547.1
30	39.96103	G3555.8.Stope_111	35964.94	111311.1173	3.094989	0.942258466	94%	30.20%	96.60%	2.750	0.1	49.89	34	9.2	45.6	9.50%	61	1.79	100	2.93	45.16	8.11	36.04	44.15	222.6	366	860.0	7.73	1016.1
30	31.99411	G3605.8.Stope_112	28795.74	81921.63875	3.098474	1.071585793	94%	30.20%	96.60%	2.750	0.1	37.89	45	9.2	45.6	9.50%	61	1.36	100	2.23	34.30	8.11	36.04	44.15	178.4	366	689.3	7.73	-154.9
30	31.99543	G3605.8.Stope_113	28795.89	81908.13847	3.094127	0.611180316	94%	30.20%	96.60%	2.750	0.1	32.36	53	9.2	45.6	9.50%	61	1.16	100	2.90	30.81	8.11	36.04	44.15	178.2	366	688.4	7.73	-60.6
30	31.9922	G3715.8.Stope_114	28792.89	89150.84646	3.09881479	94%	30.20%	96.60%	2.750	0.1	36.52	47	9.2	45.6	9.50%	61	1.31	100	2.15	33.06	8.11	36.04	44.15	178.3	366	688.5	7.73	-264.5	
30	31.9922	G3715.8.Stope_115	28792.89	89150.84646	3.09881479	0.68981479	94%	30.20%	96.60%	2.750	0.1	36.52	47	9.2	45.6	9.50%	61	1.31	100	2.15	33.06	8.11	36.04	44.15	178.3	366	688.5	7.73	-137.9
30	56.07399	G3835.8.Stope_116	50407.19	155073.82	3.076462	1.246536237	94%	30.20%	96.60%	2.750	0.1	66.00	26	9.2	45.6	9.50%	61	2.37	100	3.88	55.75	8.11	36.04	44.15	310.2	366	1198.1	7.73	3678.8
30	59.9983	G3835.8.Stope_117	53988.55	166993.749	3.012569836	94%	30.20%	96.60%	2.750	0.1	71.67	24	9.2	45.6	9.50%	61	2.57	100	4.21	64.89	8.11	36.04	44.15	334.0	366	1202.0	7.73	4817.8	
30	76.00232	G3835.8.Stope_118	68402.88	211727.569	3.059301	0.971598304	94%	30.20%	96.60%	2.750	0.1	51.44	33	9.2	45.6	9.50%	61	1.84	100	3.02	46.57	8.11	36.04	44.15	423.5	366	1635.8	7.73	2230.6
30	83.9905	G3835.8.Stope_119	75951.48	233914.3079	3.09824	0.963745545	94%	30.20%	96.60%	2.750	0.1	51.02	33	9.2	45.6	9.50%	61	1.83	100	3.00	46.19	8.11	36.04	44.15	467.8	366	1807.2	7.73	2376.3
30	76.00346	G3835.8.Stope_120	68403.12	21932.3079	3.09824	1.084793988	94%	30.20%	96.60%	2.750	0.1	57.43	30	9.2	45.6	9.50%	61	2.06	100	3.38	52.00	8.11	36.04	44.15	343.9	366	1637.4	7.73	3882.7
30	71.99371	G3835.8.Stope_121	64794.37	200691.7397	3.097363	1.116340306	94%	30.20%	96.60%	2.750	0.1	59.10	29	9.2	45.6	9.50%	61	2.12	100	3.47	53.51	8.11	36.04	44.15	401.4	366	1550.5	7.73	3506.7
30	72.00205	G4015.8.Stope_122	64810.83	200874.7017	3.098627	0.95491433	94%	30.20%	96.60%	2.750	0.1	50.52	34	9.2	45.6	9.50%	61	1.81	100	2.97	45.73	8.11	36.04	44.15	401.6	366	1551.5	7.73	1947.4
30	64.99107	G4015.8.Stope_123	64810.83	200874.7017	3.098627	0.95491433	94%	30.20%	96.60%	2.750	0.1	47.16	36	9.2	45.6	9.50%	61	1.89	100	2.77	42.91	8.11	36.04	44.15	357.7	366	1581.7	7.73	1190.6
30	31.99454	G4076.8.Stope_124	63935.94	212035.4708	3.0144	0.98985516	94%	30.20%	96.60%	2.750	0.1	49.85	36	9.2	45.6	9.50%	61	1.71	100	3.89	41.98	8.11	36.04	44.15	424.1	366	1583.8	7.73	1459.6
30	75.99939	G4105.8.Stope_125	68399.43	212038.2194	3.1	1.04537703	94%	30.20%	96.60%	2.750	0.1	55.83	30	9.2	45.6	9.50%	61	2.00	100	3.28	55.55	8.11	36.04	44.15	424.1	366	1638.2	7.73	3076.8
30	71.99082	G4105.8.Stope_126	68399.43	200738.8657	3.097396	1.047689846	94%	30.20%	96.60%	2.750	0.1	55.47	31	9.2	45.6	9.50%	61	1.99	100	3.26	52.22	8.11	36.04	44.15	401.5	366	1550.9	7.73	2847.0
30	72.00237	G4105.8.Stope_127	68403.33	201725.3669	3.097398	0.905103788	94%	30.20%	96.60%	2.750	0.1	47.73	36	9.2	45.6	9.50%	61	1.71	100	2.81	43.21	8.11	36.04	4					

Corrida N°10

SWIDTH	SAVGT	WALLID	STOPE	GUID	COLOR	Volume	Tonnes	Density	TCu	Recovery	Concentrate	Payable	Price	Refining Cost	Sales	K	Mill to Port	Port to Smelter	Moisture	Freight	Freight (\$/tonne)	TC	TC (\$/tonne)	NSR (\$/tonne)	Process Cost	Mining Cost	total Cost	Mts Dellos	Costos Dellos (\$/Mts)	K\$	\$/tonnes	Cash Flow (K\$)
30	92.1023	G3625.8	Stope_1	1	82892.11	255445.7	3.081651	0.833148	94%	30.20%	96.60%	2.75	0.1	44.11	39	9.2	45.6	9.50%	61	1.58	100	2.59	39.93	8.11	36.04	44.15	510.9	3863	1973.6	7.73	996.0	
30	87.9990	G3655.8	Stope_2	1	79199.18	243733.58	3.077476	0.926359	94%	30.20%	96.60%	2.75	0.1	49.05	35	9.2	45.6	9.50%	61	1.76	100	2.88	44.40	8.11	36.04	44.15	487.5	3863	1883.1	7.73	2039.3	
30	35.9943	G3595.8	Stope_3	1	32394.93	99850.263	3.082281	0.870345	94%	30.20%	96.60%	2.75	0.1	46.08	37	9.2	45.6	9.50%	61	1.65	100	2.71	41.72	8.11	36.04	44.15	199.7	3863	771.4	7.73	567.3	
30	43.9926	G3625.8	Stope_4	1	39593.39	121801.96	3.076321	1.000426	94%	30.20%	96.60%	2.75	0.1	52.97	32	9.2	45.6	9.50%	61	1.90	100	3.11	47.95	8.11	36.04	44.15	243.6	3863	941.0	7.73	1451.5	
30	35.9940	G3625.8	Stope_5	1	32394.68	99883.39	3.083327	0.775395	94%	30.20%	96.60%	2.75	0.1	41.05	41	9.2	45.6	9.50%	61	1.47	100	2.41	37.17	8.11	36.04	44.15	199.8	3863	771.7	7.73	112.9	
30	47.9962	G3655.8	Stope_6	1	43196.59	132594.6	3.069564	0.967865	94%	30.20%	96.60%	2.75	0.1	51.24	33	9.2	45.6	9.50%	61	1.84	100	3.01	46.39	8.11	36.04	44.15	265.2	3863	1024.4	7.73	1373.2	
30	40.1124	G3655.8	Stope_7	1	36111.89	111364.36	3.08387	0.860303	94%	30.20%	96.60%	2.75	0.1	45.55	37	9.2	45.6	9.50%	61	1.63	100	2.68	41.24	8.11	36.04	44.15	222.7	3863	860.4	7.73	579.2	
30	31.9882	G3595.8	Stope_8	1	28789.49	88435.24	3.07179	0.71978	94%	30.20%	96.60%	2.75	0.1	38.11	45	9.2	45.6	9.50%	61	1.37	100	2.24	34.50	8.11	36.04	44.15	176.9	3863	683.3	7.73	-135.8	
30	35.9932	G3625.8	Stope_9	1	53993.96	167120.3	3.095166	0.932881	94%	30.20%	96.60%	2.75	0.1	49.39	34	9.2	45.6	9.50%	61	1.77	100	2.90	44.72	8.11	36.04	44.15	334.2	3863	1291.2	7.73	1450.5	
30	59.9915	G3655.8	Stope_10	1	53993.84	167177.68	3.096236	0.973307	94%	30.20%	96.60%	2.75	0.1	51.53	33	9.2	45.6	9.50%	61	1.85	100	3.03	46.65	8.11	36.04	44.15	334.4	3863	1291.6	7.73	1775.0	
30	31.8825	G3685.8	Stope_11	1	28694.32	88123.207	3.071103	0.81133	94%	30.20%	96.60%	2.75	0.1	42.95	40	9.2	45.6	9.50%	61	1.54	100	2.53	38.89	8.11	36.04	44.15	176.2	3863	680.8	7.73	251.3	
30	39.9902	G3595.8	Stope_12	1	35991.23	112142.65	3.090826	0.913033	94%	30.20%	96.60%	2.75	0.1	48.34	35	9.2	45.6	9.50%	61	1.73	100	2.84	43.76	8.11	36.04	44.15	222.5	3863	859.5	7.73	859.7	
30	75.2543	G3625.8	Stope_13	1	68652.94	212484.07	3.096129	0.959567	94%	30.20%	96.60%	2.75	0.1	50.82	33	9.2	45.6	9.50%	61	1.82	100	2.99	46.01	8.11	36.04	44.15	425.0	3863	1641.7	7.73	2120.1	
30	71.9894	G3655.8	Stope_14	1	64790.94	206934.54	3.096772	0.980222	94%	30.20%	96.60%	2.75	0.1	51.90	33	9.2	45.6	9.50%	61	1.86	100	3.05	46.98	8.11	36.04	44.15	401.3	3863	1550.1	7.73	2196.7	
30	48.0044	G3685.8	Stope_15	1	43203.99	133514.25	3.090332	1.02392	94%	30.20%	96.60%	2.75	0.1	54.21	31	9.2	45.6	9.50%	61	1.94	100	3.19	49.08	8.11	36.04	44.15	267.0	3863	1031.5	7.73	1741.4	
30	36.0799	G3595.8	Stope_16	1	32488.19	100280.4	3.086673	0.780331	94%	30.20%	96.60%	2.75	0.1	41.31	41	9.2	45.6	9.50%	61	1.48	100	2.43	37.40	8.11	36.04	44.15	200.6	3863	774.8	7.73	137.1	
30	52.0033	G3595.8	Stope_17	1	46802.97	144686.7	3.095289	0.938243	94%	30.20%	96.60%	2.75	0.1	49.67	34	9.2	45.6	9.50%	61	1.78	100	2.92	44.97	8.11	36.04	44.15	289.7	3863	1119.3	7.73	1294.6	
30	80.0048	G3625.8	Stope_18	1	72090.67	223084.54	3.097697	0.982864	94%	30.20%	96.60%	2.75	0.1	52.04	33	9.2	45.6	9.50%	61	1.87	100	3.06	47.11	8.11	36.04	44.15	446.1	3863	1723.2	7.73	2470.3	
30	80.1024	G3655.8	Stope_19	1	72090.21	223288.07	3.097484	0.128928	94%	30.20%	96.60%	2.75	0.1	54.48	31	9.2	45.6	9.50%	61	1.95	100	3.20	49.32	8.11	36.04	44.15	446.6	3863	1752.3	7.73	2066.1	
30	59.9927	G3685.8	Stope_20	1	53993.95	167010.02	3.093126	1.050329	94%	30.20%	96.60%	2.75	0.1	56.61	30	9.2	45.6	9.50%	61	2.03	100	3.33	51.25	8.11	36.04	44.15	334.0	3863	1290.3	7.73	2541.0	
30	31.8577	G3715.8	Stope_21	1	28671.94	87728.425	3.059731	0.704141	94%	30.20%	96.60%	2.75	0.1	37.28	46	9.2	45.6	9.50%	61	1.34	100	2.19	33.75	8.11	36.04	44.15	175.5	3863	677.8	7.73	-204.0	
30	55.9940	G3535.8	Stope_22	1	50391.36	155585.48	3.087543	0.746361	94%	30.20%	96.60%	2.75	0.1	39.37	43	9.2	45.6	9.50%	61	1.41	100	2.31	35.64	8.11	36.04	44.15	311.2	3863	1202.1	7.73	-61.0	
30	79.9927	G3565.8	Stope_23	1	71993.51	225002.21	3.060559	0.798036	94%	30.20%	96.60%	2.75	0.1	42.25	40	9.2	45.6	9.50%	61	1.52	100	2.48	38.25	8.11	36.04	44.15	445.0	3863	1719.0	7.73	493.1	
30	64.2062	G3595.8	Stope_24	1	57785.51	178799.05	3.094185	0.954661	94%	30.20%	96.60%	2.75	0.1	50.54	34	9.2	45.6	9.50%	61	1.81	100	2.97	45.75	8.11	36.04	44.15	357.6	3863	1381.4	7.73	1737.7	
30	64.0150	G3625.8	Stope_25	1	57613.55	178492.92	3.098106	0.160699	94%	30.20%	96.60%	2.75	0.1	56.17	30	9.2	45.6	9.50%	61	2.01	100	3.30	50.85	8.11	36.04	44.15	357.0	3863	1379.0	7.73	2645.1	
30	63.9917	G3655.8	Stope_26	1	57593.85	178283.98	3.095538	0.159548	94%	30.20%	96.60%	2.75	0.1	56.09	30	9.2	45.6	9.50%	61	2.01	100	3.30	50.78	8.11	36.04	44.15	356.6	3863	1377.4	7.73	2629.0	
30	55.8693	G3685.8	Stope_27	1	50282.41	15546.8	3.090716	0.160534	94%	30.20%	96.60%	2.75	0.1	56.41	30	9.2	45.6	9.50%	61	2.02	100	3.32	51.07	8.11	36.04	44.15	310.8	3863	1200.7	7.73	2336.3	
30	31.8539	G3925.8	Stope_28	1	26730.03	82446.86	3.088429	0.636777	94%	30.20%	96.60%	2.75	0.1	33.71	50	9.2	45.6	9.50%	61	1.21	100	1.98	30.52	8.11	36.04	44.15	164.9	3863	637.0	7.73	-454.6	
30	31.3126	G3925.8	Stope_29	1	28665.87	88700.825	3.039401	0.652116	94%	30.20%	96.60%	2.75	0.1	34.53	49	9.2	45.6	9.50%	61	1.24	100	2.03	31.26	8.11	36.04	44.15	177.4	3863	685.3	7.73	-423.8	
30	31.9932	G3958.8	Stope_30	1	28793.93	89081.39	3.039754	0.662334	94%	30.20%	96.60%	2.75	0.1	35.07	49	9.2	45.6	9.50%	61	1.26	100	2.06	31.75	8.11	36.04	44.15	178.2	3863	688.2	7.73	-382.0	
30	31.9940	G3985.8	Stope_31	1	28794.68	89064.83	3.031.0931	0.715105	94%	30.20%	96.60%	2.75	0.1	37.86	45	9.2	45.6	9.50%	61	1.36	100	2.23	34.28	8.11	36.04	44.15	178.1	3863	688.1	7.73	-156.7	
30	31.9937	G4015.8	Stope_32	1	28794.74	88864.23	3.086164	0.735724	94%	30.20%	96.60%	2.75	0.1	38.95	44	9.2	45.6	9.50%	61	1.40	100	2.29	35.27	8.11	36.04	44.15	177.7	3863	686.6	7.73	-68.5	
30	32.0168	G4045.8	Stope_33	1	28810.51	88716.429	3.079308	0.714809	94%	30.20%	96.60%	2.75	0.1	37.84	45	9.2	45.6	9.50%	61	1.36	100	2.22	34.26	8.11	36.04	44.15	177.4	3863	685.4	7.73	-157.3	
30	31.7235	G4075.8	Stope_34	1	28551.22	87608.204	3.086457	0.711188	94%	30.20%	96.60%	2.75	0.1	37.65	45	9.2	45.6	9.50%	61	1.35	100	2.21	34.09	8.11	36.04	44.15	175.2	3863	676.9	7.73	-170.6	
30	30.7598	G3535.8	Stope_35	1	68398.81</																											

30	35.96341	G3625.8.Stope_61	1	32367.07	100214.89	3.096199	0.892908	94%	30.20%	96.60%	2.75	0.1	47.27	36	9.2	45.6	9.50%	61	1.70	100	2.78	42.80	8.11	36.04	44.15	200.4	3863	774.3	7.73	677.8
30	52.0841	G3655.8.Stope_62	1	46875.69	144910.36	3.091375	0.878612	94%	30.20%	96.60%	2.75	0.1	46.52	37	9.2	45.6	9.50%	61	1.67	100	2.73	42.11	8.11	36.04	44.15	289.8	3863	1119.6	7.73	880.8
30	31.99267	G3685.8.Stope_63	1	28793.41	88685.327	3.090507	0.71716	94%	30.20%	96.60%	2.75	0.1	38.00	45	9.2	45.6	9.50%	61	1.36	100	2.23	34.40	8.11	36.04	44.15	177.4	3863	685.2	7.73	144.9
30	31.98999	G3715.8.Stope_64	1	28790.99	88464.432	3.072643	0.812133	94%	30.20%	96.60%	2.75	0.1	43.00	40	9.2	45.6	9.50%	61	1.54	100	2.53	38.93	8.11	36.04	44.15	176.9	3863	683.5	7.73	255.8
30	31.99036	G3745.8.Stope_65	1	28791.32	88141.723	3.061399	0.898281	94%	30.20%	96.60%	2.75	0.1	47.59	36	9.2	45.6	9.50%	61	1.71	100	2.80	43.08	8.11	36.04	44.15	176.3	3863	681.0	7.73	621.1
30	31.99041	G3775.8.Stope_66	1	28791.73	88240.034	3.065121	0.992389	94%	30.20%	96.60%	2.75	0.1	52.54	32	9.2	45.6	9.50%	61	1.88	100	3.09	47.57	8.11	36.04	44.15	176.5	3863	681.8	7.73	1017.7
30	35.99009	G3805.8.Stope_67	1	32391.07	99526.827	3.072663	0.994852	94%	30.20%	96.60%	2.75	0.1	52.67	32	9.2	45.6	9.50%	61	1.89	100	3.10	47.69	8.11	36.04	44.15	199.1	3863	768.9	7.73	1159.5
30	32.00044	G3835.8.Stope_68	1	28800.43	88592.427	3.07608	0.983659	94%	30.20%	96.60%	2.75	0.1	52.08	33	9.2	45.6	9.50%	61	1.87	100	3.06	47.15	8.11	36.04	44.15	177.2	3863	684.5	7.73	984.6
30	31.99582	G3865.8.Stope_69	1	28796.29	88626.370	3.077701	0.764688	94%	30.20%	96.60%	2.75	0.1	40.49	42	9.2	45.6	9.50%	61	1.45	100	2.38	36.65	8.11	36.04	44.15	177.3	3863	684.7	7.73	54.7
30	31.99012	G3895.8.Stope_70	1	28791.11	88621.548	3.078087	0.68462	94%	30.20%	96.60%	2.75	0.1	36.45	47	9.2	45.6	9.50%	61	1.31	100	2.14	33.00	8.11	36.04	44.15	177.2	3863	684.7	7.73	269.1
30	67.99665	G3925.8.Stope_71	1	61196.98	188885.64	3.086519	0.832269	94%	30.20%	96.60%	2.75	0.1	44.06	39	9.2	45.6	9.50%	61	1.58	100	2.59	39.89	8.11	36.04	44.15	377.8	3863	1459.3	7.73	728.5
30	91.99012	G3955.8.Stope_72	1	82791.11	256079.93	3.093985	0.895758	94%	30.20%	96.60%	2.75	0.1	47.42	36	9.2	45.6	9.50%	61	1.70	100	2.79	42.94	8.11	36.04	44.15	512.2	3863	1978.5	7.73	1767.0
30	41.99152	G3985.8.Stope_73	1	37792.36	117156.33	3.1	0.791779	94%	30.20%	96.60%	2.75	0.1	41.92	41	9.2	45.6	9.50%	61	1.50	100	2.46	37.95	8.11	36.04	44.15	234.3	3863	905.1	7.73	224.5
30	61.99854	G4015.8.Stope_74	1	55789.69	172161.47	3.085902	0.945893	94%	30.20%	96.60%	2.75	0.1	50.08	34	9.2	45.6	9.50%	61	1.80	100	2.94	45.34	8.11	36.04	44.15	344.3	3863	1330.1	7.73	1601.6
30	95.99301	G4015.8.Stope_75	1	86393.71	267688.9	3.098477	0.945692	94%	30.20%	96.60%	2.75	0.1	50.07	34	9.2	45.6	9.50%	61	1.80	100	2.94	45.33	8.11	36.04	44.15	353.4	3863	2068.2	7.73	2487.8
30	92.00457	G4045.8.Stope_76	1	82804.12	256606.15	3.098954	1.088279	94%	30.20%	96.60%	2.75	0.1	57.62	30	9.2	45.6	9.50%	61	2.07	100	3.39	52.16	8.11	36.04	44.15	513.2	3863	1982.5	7.73	4138.6
30	95.99799	G4075.8.Stope_77	1	86398.15	267486.52	3.095975	0.510452	94%	30.20%	96.60%	2.75	0.1	55.85	30	9.2	45.6	9.50%	61	2.00	100	3.28	50.56	8.11	36.04	44.15	353.0	3863	2066.6	7.73	3885.4
30	100.0074	G4105.8.Stope_78	1	90078.64	278182.22	3.088215	0.914052	94%	30.20%	96.60%	2.75	0.1	48.39	35	9.2	45.6	9.50%	61	1.74	100	2.85	43.81	8.11	36.04	44.15	556.4	3863	2149.2	7.73	2163.4
30	79.99335	G4135.8.Stope_79	1	71994.02	221998.53	3.083444	0.765078	94%	30.20%	96.60%	2.75	0.1	40.51	42	9.2	45.6	9.50%	61	1.45	100	2.38	36.67	8.11	36.04	44.15	444.0	3863	1715.1	7.73	141.2
30	31.44526	G4225.8.Stope_80	1	28300.73	87214.262	3.081696	0.965313	94%	30.20%	96.60%	2.75	0.1	51.11	33	9.2	45.6	9.50%	61	1.83	100	3.00	46.27	8.11	36.04	44.15	174.4	3863	673.8	7.73	892.5
30	31.73055	G4255.8.Stope_81	1	28557.49	87804.223	3.074647	1.213194	94%	30.20%	96.60%	2.75	0.1	64.23	26	9.2	45.6	9.50%	61	2.30	100	3.78	58.15	8.11	36.04	44.15	175.6	3863	678.4	7.73	1941.8
30	30	G4285.8.Stope_82	1	26730.05	81906.682	3.064217	0.105068	94%	30.20%	96.60%	2.75	0.1	55.59	31	9.2	45.6	9.50%	61	1.99	100	3.27	50.33	8.11	36.04	44.15	163.8	3863	632.8	7.73	1171.0
30	48.01656	G4355.8.Stope_83	1	43215	133633.4	3.09292	0.97582	94%	30.20%	96.60%	2.75	0.1	51.49	33	9.2	45.6	9.50%	61	1.85	100	3.03	46.62	8.11	36.04	44.15	267.3	3863	1032.5	7.73	1414.2
30	79.99871	G4365.8.Stope_84	1	71988.03	222990.02	3.079599	0.985942	94%	30.20%	96.60%	2.75	0.1	52.20	33	9.2	45.6	9.50%	61	1.87	100	3.07	47.26	8.11	36.04	44.15	446.0	3863	1722.8	7.73	2502.6
30	67.99285	G4395.8.Stope_85	1	61193.56	188303.15	3.077173	0.782564	94%	30.20%	96.60%	2.75	0.1	41.43	41	9.2	45.6	9.50%	61	1.49	100	2.44	37.51	8.11	36.04	44.15	376.6	3863	1454.8	7.73	277.6
30	31.72574	G4368.8.Stope_86	1	28553.17	87957.78	3.080491	0.607126	94%	30.20%	96.60%	2.75	0.1	32.14	53	9.2	45.6	9.50%	61	1.15	100	1.89	29.10	8.11	36.04	44.15	175.9	3863	679.6	7.73	610.0
30	31.99943	G43715.8.Stope_87	1	28799.49	89075.513	3.092955	0.809908	94%	30.20%	96.60%	2.75	0.1	42.88	40	9.2	45.6	9.50%	61	1.54	100	2.52	38.82	8.11	36.04	44.15	178.2	3863	688.2	7.73	248.1
30	30.48002	G4385.8.Stope_88	1	43200.21	213293.74	3.064632	0.913964	94%	30.20%	96.60%	2.75	0.1	48.39	35	9.2	45.6	9.50%	61	1.74	100	2.84	43.81	8.11	36.04	44.15	264.8	3863	1022.9	7.73	1029.0
30	55.99033	G4385.8.Stope_89	1	50391.29	154849.6	3.072941	0.970403	94%	30.20%	96.60%	2.75	0.1	51.38	33	9.2	45.6	9.50%	61	1.84	100	3.02	46.51	8.11	36.04	44.15	309.7	3863	1196.4	7.73	1622.5
30	67.99055	G4385.8.Stope_90	1	61191.48	189025.71	3.089085	0.964341	94%	30.20%	96.60%	2.75	0.1	51.06	33	9.2	45.6	9.50%	61	1.83	100	3.00	46.22	8.11	36.04	44.15	378.1	3863	1460.4	7.73	1925.7
30	76.001	G3925.8.Stope_91	1	68404.9	211675.52	3.094514	0.965666	94%	30.20%	96.60%	2.75	0.1	51.13	33	9.2	45.6	9.50%	61	1.83	100	3.01	46.29	8.11	36.04	44.15	423.3	3863	1635.3	7.73	2169.8
30	67.99735	G3955.8.Stope_92	1	61197.62	189538.52	3.097155	1.163362	94%	30.20%	96.60%	2.75	0.1	61.59	28	9.2	45.6	9.50%	61	2.21	100	3.62	55.76	8.11	36.04	44.15	379.1	3863	1464.4	7.73	3739.0
30	60.00167	G3985.8.Stope_93	1	54001.55	167301.48	3.098089	1.303405	94%	30.20%	96.60%	2.75	0.1	69.01	25	9.2	45.6	9.50%	61	2.47	100	4.06	62.48	8.11	36.04	44.15	334.6	3863	1292.6	7.73	4423.4
30	31.49893	G4015.8.Stope_94	1	37790.41	117150.29	3.1	0.717157	94%	30.20%	96.60%	2.75	0.1	38.73	44	9.2	45.6	9.50%	61	1.39	100	2.28	35.07	8.11	36.04	44.15	234.3	3863	905.1	7.73	113.6
30	65.98997	G4015.8.Stope_95	1	55990.71	184094.5	3.099706	0.992005	94%	30.20%	96.60%	2.75	0.1	52.52	32	9.2	45.6	9.50%	61	1.88	100	3.09	47.55	8.11	36.04	44.15	368.2	3863	1422.3	7.73	2119.6
30	80.00334	G4045.8.Stope_96	1	72003.19	223209.87	3.1	0.94881	94%	30.20%	96.60%	2.75	0.1	50.23	3																

30	63.7317	64075.8 Stope_121	1	57358.05	177809.96	3.1	0.961886	94%	30.20%	96.60%	2.75	0.1	50.93	33	9.2	45.6	9.50%	61	1.83	100	2.99	46.11	8.11	36.04	44.15	355.6	3863	1373.8	7.73	1790.5
30	71.9993	64105.8 Stope_122	1	64799.4	200878.13	3.1	0.1082481	94%	30.20%	96.60%	2.75	0.1	57.31	30	9.2	45.6	9.50%	61	2.06	100	3.37	51.89	8.11	36.04	44.15	401.8	3863	1552.0	7.73	3183.9
30	71.9936	64135.8 Stope_123	1	64794.11	200726.01	3.097905	0.104703	94%	30.20%	96.60%	2.75	0.1	55.47	31	9.2	45.6	9.50%	61	1.99	100	3.26	50.22	8.11	36.04	44.15	401.5	3863	1550.8	7.73	2846.9
30	70.0024	64165.8 Stope_124	1	63001.93	195187.25	3.098116	0.911054	94%	30.20%	96.60%	2.75	0.1	48.23	35	9.2	45.6	9.50%	61	1.73	100	2.84	43.67	8.11	36.04	44.15	390.4	3863	1508.0	7.73	1489.9
30	51.97512	64195.8 Stope_125	1	46777.61	144817.29	3.095868	0.191546	94%	30.20%	96.60%	2.75	0.1	39.26	43	9.2	45.6	9.50%	61	1.41	100	2.31	35.54	8.11	36.04	44.15	289.6	3863	1118.9	7.73	-71.1
30	43.99303	64225.8 Stope_126	1	39593.75	124297.69	3.093864	0.947017	94%	30.20%	96.60%	2.75	0.1	50.14	34	9.2	45.6	9.50%	61	1.80	100	2.95	45.39	8.11	36.04	44.15	245.0	3863	946.4	7.73	1146.2
30	30	64225.8 Stope_127	1	26730.05	82608.03	3.090455	0.651084	94%	30.20%	96.60%	2.75	0.1	34.47	49	9.2	45.6	9.50%	61	1.24	100	2.03	31.21	8.11	36.04	44.15	165.2	3863	638.2	7.73	-398.8
30	39.73063	64255.8 Stope_128	1	35757.58	110514.54	3.09066	1.240001	94%	30.20%	96.60%	2.75	0.1	65.65	26	9.2	45.6	9.50%	61	2.35	100	3.86	59.44	8.11	36.04	44.15	221.0	3863	853.8	7.73	2586.1
30	44.00139	64285.8 Stope_129	1	39601.25	122436.53	3.091734	1.405662	94%	30.20%	96.60%	2.75	0.1	74.42	23	9.2	45.6	9.50%	61	2.67	100	4.38	67.38	8.11	36.04	44.15	244.9	3863	945.9	7.73	3837.3
30	43.99947	63685.8 Stope_130	1	39599.52	122683.54	3.098107	0.72126	94%	30.20%	96.60%	2.75	0.1	38.19	45	9.2	45.6	9.50%	61	1.37	100	2.24	34.57	8.11	36.04	44.15	245.4	3863	947.9	7.73	-179.6
30	35.99428	63715.8 Stope_131	1	32394.86	100276.17	3.095435	0.683142	94%	30.20%	96.60%	2.75	0.1	36.17	47	9.2	45.6	9.50%	61	1.30	100	2.13	32.74	8.11	36.04	44.15	200.6	3863	774.7	7.73	-330.0
30	31.98455	63835.8 Stope_132	1	28786.09	88546.59	3.07602	1.330688	94%	30.20%	96.60%	2.75	0.1	70.45	24	9.2	45.6	9.50%	61	2.53	100	4.14	63.78	8.11	36.04	44.15	177.1	3863	684.1	7.73	2456.9
30	51.7590	63865.8 Stope_133	1	46583.17	143780.12	3.086525	1.305668	94%	30.20%	96.60%	2.75	0.1	69.34	25	9.2	45.6	9.50%	61	2.49	100	4.08	62.78	8.11	36.04	44.15	287.6	3863	1110.8	7.73	3844.7
30	35.9969	63895.8 Stope_134	1	32397.28	100167.06	3.091835	1.280540	94%	30.20%	96.60%	2.75	0.1	67.80	25	9.2	45.6	9.50%	61	2.43	100	3.99	61.38	8.11	36.04	44.15	200.3	3863	773.9	7.73	2538.6
30	67.99065	63925.8 Stope_135	1	61191.58	188882.55	3.086741	0.82533	94%	30.20%	96.60%	2.75	0.1	43.70	39	9.2	45.6	9.50%	61	1.57	100	2.57	39.56	8.11	36.04	44.15	377.8	3863	1459.3	7.73	665.7
30	75.99238	63955.8 Stope_136	1	68893.14	211411.58	3.091129	0.881657	94%	30.20%	96.60%	2.75	0.1	46.68	36	9.2	45.6	9.50%	61	1.67	100	2.74	42.26	8.11	36.04	44.15	422.8	3863	1633.4	7.73	1315.9
30	68.00073	63985.8 Stope_137	1	61200.66	189553.88	3.097252	0.982681	94%	30.20%	96.60%	2.75	0.1	52.03	33	9.2	45.6	9.50%	61	1.87	100	3.06	47.10	8.11	36.04	44.15	379.1	3863	1464.5	7.73	2097.7
30	60.00977	64015.8 Stope_138	1	54008.79	167362.26	3.098797	0.955464	94%	30.20%	96.60%	2.75	0.1	50.59	34	9.2	45.6	9.50%	61	1.81	100	2.97	45.80	8.11	36.04	44.15	334.7	3863	1293.0	7.73	1613.8
30	55.82456	64045.8 Stope_139	1	50242.11	155667.35	3.098344	0.914517	94%	30.20%	96.60%	2.75	0.1	48.42	35	9.2	45.6	9.50%	61	1.74	100	2.85	43.84	8.11	36.04	44.15	311.3	3863	1202.7	7.73	1214.1
30	63.736	64075.8 Stope_140	1	57362.4	177803.17	3.099647	0.986918	94%	30.20%	96.60%	2.75	0.1	52.25	33	9.2	45.6	9.50%	61	1.87	100	3.07	47.31	8.11	36.04	44.15	355.6	3863	1373.7	7.73	2003.8
30	71.99711	64105.8 Stope_141	1	64797.4	200863.73	3.099673	1.073947	94%	30.20%	96.60%	2.75	0.1	56.86	30	9.2	45.6	9.50%	61	2.04	100	3.34	51.48	8.11	36.04	44.15	401.7	3863	1551.9	7.73	3101.6
30	60.00695	64135.8 Stope_142	1	54006.25	167343.83	3.098601	1.06708	94%	30.20%	96.60%	2.75	0.1	56.50	30	9.2	45.6	9.50%	61	2.03	100	3.32	51.15	8.11	36.04	44.15	334.7	3863	1292.9	7.73	2528.9
30	71.9941	64165.8 Stope_143	1	64794.69	200647.23	3.096661	0.854832	94%	30.20%	96.60%	2.75	0.1	45.26	38	9.2	45.6	9.50%	61	1.62	100	2.66	40.97	8.11	36.04	44.15	401.3	3863	1550.2	7.73	990.9
30	51.96771	64195.8 Stope_144	1	64788.94	144825.88	3.095302	0.684472	94%	30.20%	96.60%	2.75	0.1	36.24	47	9.2	45.6	9.50%	61	1.30	100	2.13	32.81	8.11	36.04	44.15	289.7	3863	1118.9	7.73	-467.4
30	31.99333	64225.8 Stope_145	1	28793.98	89199.66	3.097841	0.716024	94%	30.20%	96.60%	2.75	0.1	37.91	45	9.2	45.6	9.50%	61	1.36	100	2.23	34.32	8.11	36.04	44.15	178.4	3863	689.2	7.73	-153.0
30	31.99535	64255.8 Stope_146	1	28795.81	88671.682	3.079326	1.022697	94%	30.20%	96.60%	2.75	0.1	54.15	31	9.2	45.6	9.50%	61	1.94	100	3.18	49.02	8.11	36.04	44.15	177.3	3863	685.1	7.73	1151.4
30	35.9966	64285.8 Stope_147	1	32396.85	99676.342	3.076729	1.158139	94%	30.20%	96.60%	2.75	0.1	61.32	28	9.2	45.6	9.50%	61	2.20	100	3.60	55.51	8.11	36.04	44.15	199.4	3863	770.1	7.73	1941.4
30	30	63958.8 Stope_148	1	26913.44	82723.512	3.073688	0.606349	94%	30.20%	96.60%	2.75	0.1	32.10	53	9.2	45.6	9.50%	61	1.15	100	1.89	29.06	8.11	36.04	44.15	165.4	3863	639.1	7.73	-576.8
30	31.99313	63985.8 Stope_149	1	28793.82	88693.56	3.080299	0.677918	94%	30.20%	96.60%	2.75	0.1	35.89	47	9.2	45.6	9.50%	61	1.29	100	2.11	32.49	8.11	36.04	44.15	177.4	3863	685.2	7.73	-314.1
30	31.994	64015.8 Stope_150	1	28794.6	88777.31	3.083124	0.663628	94%	30.20%	96.60%	2.75	0.1	35.14	48	9.2	45.6	9.50%	61	1.26	100	2.07	31.81	8.11	36.04	44.15	177.6	3863	685.9	7.73	-375.2
30	39.9953	64045.8 Stope_151	1	35994.19	110966.42	3.082898	0.832235	94%	30.20%	96.60%	2.75	0.1	44.06	39	9.2	45.6	9.50%	61	1.58	100	2.59	39.89	8.11	36.04	44.15	221.9	3863	857.3	7.73	427.8
30	51.9933	64075.8 Stope_152	1	46794.01	144334.3	3.084461	0.882177	94%	30.20%	96.60%	2.75	0.1	46.71	36	9.2	45.6	9.50%	61	1.67	100	2.75	42.29	8.11	36.04	44.15	288.7	3863	1115.1	7.73	902.0
30	60.00035	64105.8 Stope_153	1	54000.32	166838.22	3.089579	1.022592	94%	30.20%	96.60%	2.75	0.1	54.14	31	9.2	45.6	9.50%	61	1.94	100	3.18	49.01	8.11	36.04	44.15	333.7	3863	1289.0	7.73	2164.9
30	52.00233	64135.8 Stope_154	1	46802.1	144816.74	3.094236	1.056354	94%	30.20%	96.60%	2.75	0.1	55.93	30	9.2	45.6	9.50%	61	2.01	100	3.29	50.63	8.11	36.04	44.15	289.6	3863	1118.9	7.73	2114.0
30	35.98183	64165.8 Stope_155	1	32383.65	100202.34	3.094227	0.964299	94%	30.20%	96.60%	2.75	0.1	51.05	33	9.2	45.6	9.50%	61	1.83	100	3.00	46.22	8.11	36.04	44.15	200.4	3863	774.2	7.73	1020.6
30	37.99923	64195.8 Stope_156	1	43199.31	133743.88	3.095973	0.644621																							